

อิทธิพลของอุณหภูมิระหว่างเที่ยวเชื่อมต่อสมบัติโลหะเชื่อมพอกแข็งเหล็กกล้า

JIS S50C

THE INFLUENCE OF INTER-PASS TEMPERATURE ON  
HARDFACING WELD METAL PROPERTIES ON JIS-S50C STEEL  
SURFACE



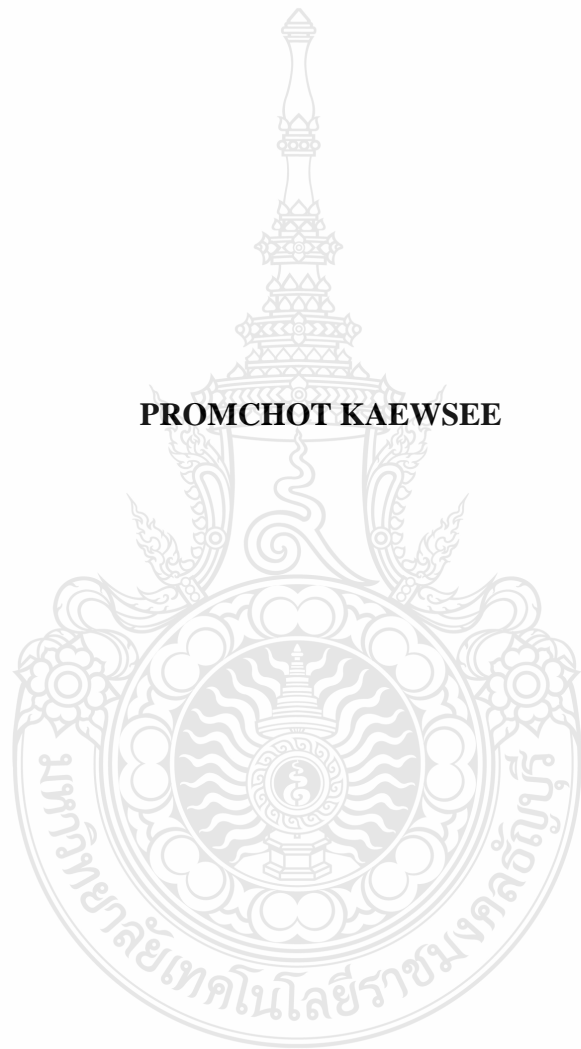
วิทยานิพนธ์นี้เป็นส่วนหนึ่งของการศึกษาตามหลักสูตร  
ปริญญาวิศวกรรมศาสตร์เมืองไทย สาขาวิศวกรรมการผลิต  
คณะวิศวกรรมศาสตร์  
มหาวิทยาลัยเทคโนโลยีราชมงคลชั้นนำ  
ปีการศึกษา 2558  
ลิขสิทธิ์ของมหาวิทยาลัยเทคโนโลยีราชมงคลชั้นนำ

อิทธิพลของอุณหภูมิระหว่างเที่ยวเชื่อมต่อสมบัติโลหะเชื่อมพอกแข็ง  
เหล็กกล้า JIS S50C



วิทยานิพนธ์นี้เป็นส่วนหนึ่งของการศึกษาตามหลักสูตร  
ปริญญาวิศวกรรมศาสตร์มหาบัณฑิต สาขาวิชาการผลิต  
คณะวิศวกรรมศาสตร์  
มหาวิทยาลัยเทคโนโลยีราชมงคลธัญบุรี  
ปีการศึกษา 2558  
ลิขสิทธิ์ของมหาวิทยาลัยเทคโนโลยีราชมงคลธัญบุรี

**THE INFLUENCE OF INTER-PASS TEMPERATURE ON HARDFACING  
WELD METAL PROPERTIES ON JIS-S50C STEEL SURFACE**



**A THESIS SUBMITTED IN PARTIAL FULFILLMENT OF THE  
REQUIREMENTS FOR THE DEGREE OF MASTER OF ENGINEERING  
PROGRAM IN MANUFACTURING ENGINEERING  
FACULTY OF ENGINEERING  
RAJAMANGALA UNIVERSITY OF TECHNOLOGY THANYABURI  
ACADEMIC YEAR 2015  
COPYRIGHT OF RAJAMANGALA UNIVERSITY  
OF TECHNOLOGY THANYABURI**

หัวข้อวิทยานิพนธ์

อิทธิพลของอุณหภูมิระหว่างเที่ยวน้ำต่อสมบัติโลหะเชื่อมพอก  
แข็งเหล็กกล้า JIS S50C

The Influence of Inter-Pass Temperature on Hardfacing Weld Metal  
Properties on JIS-S50C Steel Surface

ชื่อ - นามสกุล

นายพรหม ใจดี แก้วสี

สาขาวิชา

วิศวกรรมการผลิต

อาจารย์ที่ปรึกษา

ผู้ช่วยศาสตราจารย์กิตติพงษ์ กินะพงษ์, Ph.D.

ปีการศึกษา

2558

คณะกรรมการสอบวิทยานิพนธ์

ประธานกรรมการ

(ผู้ช่วยศาสตราจารย์ศรีรัช ต่อสกุล, D.Eng.)

กรรมการ

(ผู้ช่วยศาสตราจารย์ประชุม สุรินทร์, วศ.ค.)

กรรมการ

(ผู้ช่วยศาสตราจารย์ชัยยะ ปราโมทย์พลกรัง, D.Eng.)

กรรมการ

(ผู้ช่วยศาสตราจารย์กิตติพงษ์ กินะพงษ์, Ph.D.)

คณะวิศวกรรมศาสตร์ มหาวิทยาลัยเทคโนโลยีราชมงคลธัญบุรี อนุมัติวิทยานิพนธ์ฉบับนี้  
เป็นส่วนหนึ่งของการศึกษาตามหลักสูตรปริญญามหาบัณฑิต

..... คณบดีคณะวิศวกรรมศาสตร์

(ผู้ช่วยศาสตราจารย์ศิวกร อ่างทอง, Ph.D.)

วันที่ 12 เดือน กรกฎาคม พ.ศ. 2559

**หัวข้อวิทยานิพนธ์** อิทธิพลของอุณหภูมิระหัสทางเที่ยวเชื่อมต่อสมบัติโลหะเชื่อมพอกแข็ง  
**เหล็กกล้า JIS S50C**

**ชื่อ - นามสกุล** นายพรหม โชค แก้วสี  
**สาขาวิชา** วิศวกรรมการผลิต  
**อาจารย์ที่ปรึกษา** ผู้ช่วยศาสตราจารย์กิตติพงษ์ กิมมะพงศ์, Ph.D.  
**ปีการศึกษา** 2558

## บทคัดย่อ

เหล็กกล้าคาร์บอนปานกลางเป็นเหล็กกล้าที่มีเป็นวัตถุดินหลักที่ได้รับความนิยมในการใช้ผลิตชิ้นส่วนเครื่องจักรทางการเกษตรเนื่องจากมีสมบัติทางกลดีเยี่ยมและมีราคาไม่สูง แต่เมื่อมีการใช้งานชิ้นส่วนต่างๆจะได้รับความเสียหายจากการใช้งาน หากการเสียหายที่เกิดขึ้นนั้นมีความรุนแรงค้ำชิ้นส่วนมักถูกน้ำมาทำการเชื่อมซ่อมเพื่อให้สามารถกลับมาใช้ใหม่ส่งผลทำให้ต้นทุนการผลิตลดลงได้ ด้วยเหตุนี้งานวิจัยนี้จึงมีจุดประสงค์ในการศึกษาอิทธิพลของอุณหภูมิระหัสทางเที่ยวเชื่อมที่มีผลต่อสมบัติโลหะเชื่อมพอกแข็งเหล็กกล้าคาร์บอน JIS-S50C ที่เชื่อมด้วยการเชื่อมอาร์กแลดหุ้มฟลักซ์

วัสดุที่ในการทดลองคือ เหล็กกล้าคาร์บอนปานกลางตามมาตรฐาน JIS-S50C รูปร่างสี่เหลี่ยมผืนผ้าความกว้าง 100 มิลลิเมตร ความยาว 150 มิลลิเมตร และความหนา 20 มิลลิเมตร เชื่อมด้วยการเชื่อมอาร์กแลดหุ้มฟลักซ์ ตัวแปรการเชื่อมในการทดลองนี้ประกอบด้วยอุณหภูมิระหัสทางเที่ยวเชื่อม 50-450 °C กระแสเชื่อม 90-110A การเชื่อมแบบบรรจุพื้นและไม่บรรจุพื้นจำนวนชั้นพอกแข็ง 3 ชั้น และทำการศึกษาเพื่อหาค่าความสึกหรอค่าความแข็งและโครงสร้างจุลภาคและโครงสร้างมหาภาคของโลหะ

ผลการทดลองสรุปได้ดังนี้ ตัวแปรการเชื่อมที่ดีที่สุด คือ อุณหภูมิระหัสทางเที่ยวเชื่อม 150 °C กระแสเชื่อม 100 A การเชื่อมไม่บรรจุพื้น และจำนวนชั้นพอกแข็ง 3 ชั้น ที่ให้ค่าความแข็งเฉลี่ยสูงสุด 790 HV การสึกกร่อนของโลหะมีปริมาณต่ำที่ 0.89 % พบว่าอัตราการสึกกร่อนที่ลดลงและความแข็งมีค่าเพิ่มขึ้นเกิดขึ้นเนื่องจากปริมาณโครงเมียมในชั้นพอกแข็งเพิ่มขึ้น

**คำสำคัญ:** การเชื่อมอาร์กแลดหุ้มฟลักซ์ เหล็กกล้าคาร์บอน ผิวพอกแข็ง การให้ความร้อนขณะเชื่อม อุณหภูมิระหัสทางเที่ยวเชื่อม

<b>Thesis Title</b>	The Influence of Inter-Pass Temperature on Hardfacing Weld Metal Properties on JIS-S50C Steel Surface
<b>Name – Surname</b>	Mr. Promchot Kaewsee
<b>Program</b>	Manufacturing Engineering
<b>Thesis Advisor</b>	Assistant Professor Kittipong Kimapong, Ph.D.
<b>Academic Year</b>	2015

## ABSTRACT

Medium carbon steel is the main popular raw material in the agricultural machinery manufacture due to its mechanically excellent properties. When the parts are damaged by the work, the damage is often in the low intensity. Parts are repaired to reduce production costs. For this reason, this research aimed to study the influence of inter-pass temperature on JIS-S50C carbon steel welding by flux-coated arc welding wire.

The materials used in this experiments were of JIS-S50C carbon steel plate with rectangular sized of 100 mm. width, 150 mm. length, and of 20 mm. thickness. The samples were shielded metal are welded using welding parameters. included 50-450 °C inter-pass temperature, the welding current was 90-110A ,buffer and non-buffer layer welding and 3 hard surfacing layers. This experiment was proceeded to determine the hardness, wear resistance, micro and macro-structure of the metal.

The results were as follows: the optimum welding parameter was 150 °C inter-pass temperature, current 100 A, buffer and non-buffer layer welding and 3 hard surfacing layers. The wear maximum hardness was 790 HV. The wear of metals was as low as 0.89%. The wear rate was reduced and the hardness was increased due to the increase of chromium in hard - facing weld metal

**Keywords:** flux-coated arc welding, carbon steel, hard surfacing layer, inter-pass temperature

## สารบัญ

	หน้า
บทคัดย่อภาษาไทย.....	(3)
บทคัดย่อภาษาอังกฤษ.....	(4)
กิตติกรรมประกาศ.....	(5)
สารบัญ.....	(6)
สารบัญตาราง.....	(8)
สารบัญรูป.....	(9)
คำอธิบายสัญลักษณ์และคำย่อ.....	(12)
บทที่ 1 บทนำ.....	13
1.1 ความเป็นมาและความสำคัญของปัจจุบัน.....	13
1.2 จุดประสงค์ของงานวิจัย.....	14
1.3 ขอบเขตของงานวิจัย.....	15
1.4 ประโยชน์ที่คาดว่าจะได้รับจากการวิจัย.....	15
บทที่ 2 ทฤษฎีและงานวิจัยที่เกี่ยวข้อง.....	16
2.1 เหล็กกล้าคาร์บอน.....	16
2.2 การเชื่อมอาร์กโอลด์หุ้มฟลักซ์ (Shielded Metal Arc Welding:SMAW).....	19
2.3 การทำงานของวัสดุแกนลวดเชื่อมไฟฟ้า.....	21
2.4 มาตรฐานลวดเติมสำหรับพอกผิวของประเทศเยอรมัน (DIN 8555 Part1 November1983).....	22
2.5 ความเส้นตกลงในรอยต่อเชื่อม.....	26
2.6 การทดสอบความแข็ง.....	27
2.7 การสักคร่อง.....	29
2.8 อุณหภูมิระหว่างเที่ยวเชื่อม (Interpass Temperature).....	32
2.9 การตรวจสอบโครงสร้างจุลภาค.....	33
2.10 งานวิจัยที่เกี่ยวข้อง.....	36
บทที่ 3 วิธีการดำเนินงานทดลอง.....	41
3.1 การเตรียมวัสดุและอุปกรณ์ในงานวิจัย.....	42
3.2 ขั้นตอนการดำเนินการทดลอง.....	44

## สารบัญ (ต่อ)

	หน้า
บทที่ 4 ผลการทดลองและการอภิปรายผลการวิจัย.....	54
4.1 อิทธิพลของจำนวนชั้นพอกผิวแข็งต่อผิวน้ำหน้าแนวเชื่อม.....	54
4.2 ผลการทดสอบอัตราการสึกกร่อนกับอุณหภูมิระหัสห่วงเที่ยวเชื่อม.....	54
4.3 เปรียบเทียบการทดสอบอัตราการสึกกร่อนกับกระแสเชื่อม.....	65
4.4 ผลการทดสอบอัตราการสึกกร่อนของการเชื่อมพอกผิวแข็งแบบมีชั้นรองพื้น..	68
4.5 เปรียบเทียบกระแสเชื่อมต่ออัตราการสึกกร่อนของการเชื่อมพอกผิวแข็งแบบ มีชั้นรองพื้น.....	71
บทที่ 5 สรุปผลการวิจัยและข้อเสนอแนะ.....	74
5.1 สรุปผลการวิจัย.....	74
5.2 ข้อเสนอแนะ.....	74
บรรณานุกรม.....	75
ภาคผนวก.....	79
ภาคผนวก ก ลักษณะโครงสร้างมหาภาคและโครงสร้างชุดลากาคของแนวเชื่อม.....	80
ภาคผนวก ข มาตรฐานลวดเชื่อม.....	83
ภาคผนวก ค ผลงานตีพิมพ์เผยแพร่.....	85
ประวัติผู้เขียน.....	97

## สารบัญตาราง

	หน้า
ตารางที่ 2.1 ส่วนผสมทางเคมีของเหล็กกล้าตาม AISI และ ASME.....	17
ตารางที่ 2.2 องค์ประกอบของเหล็กกล้าคาร์บอน.....	18
ตารางที่ 2.3 น้ำยากัดซิ้นทดสอบตามมาตรฐาน ASTM E304.....	34
ตารางที่ 3.1 ส่วนผสมทางเคมีเหล็กกล้าคาร์บอนและลวดเชื่อม (ร้อยละ โดยน้ำหนัก%).....	42



## สารบัญ

	หน้า
รูปที่ 2.1 การเชื่อมอาร์กเคลือบหุ้มฟลักซ์.....	19
รูปที่ 2.2 การเชื่อมกระแทกตรงข้าม.....	20
รูปที่ 2.3 การเชื่อมกระแทกสลับข้าม.....	20
รูปที่ 2.4 ท่าเชื่อมสำหรับเคลือบหุ้มฟลักซ์.....	21
รูปที่ 2.5 การกระจายตัวความเค้นตกค้างตามทิศทาง x ของโลหะเชื่อม: (A) ตำแหน่งการวัดการติดเกจ โรเชต และ (B) ผลการวัดค่าความเค้น.....	26
รูปที่ 2.6 รอยกดของการทดสอบ.....	28
รูปที่ 2.7 รอยบุ๋มและแรงกดทดสอบ.....	28
รูปที่ 2.8 ภาพแสดงความสัมพันธ์ระหว่างความหนาและแรงกดทดสอบ.....	28
รูปที่ 2.9 การสึกกร่อนแบบเยดติด (Adhesive wear).....	30
รูปที่ 2.10 การสึกกร่อนแบบขัดถู (Abrasive Wear).....	30
รูปที่ 2.11 การสึกกร่อนแบบการล้า (Fatigue ware).....	31
รูปที่ 2.12 การสึกหรอแบบสึกกร่อน (Corrosive of oxidation wears).....	31
รูปที่ 2.13 ผลของอุณหภูมิระหว่างเที่ยวเชื่อมต่อสมบัติทางกลของเหล็กกล้าความแข็งแรง 490 MPa ลาดเชื่อม GMAW โดยเคลือบเชื่อม JIS YGW11 5 ชนิด (อัตราการให้ความร้อนเข้า 40 kJ/cm).....	32
รูปที่ 2.14 ทิศทางการขัดกระดาษทราย.....	34
รูปที่ 2.15 หลักการทำงานของกล้องจุลทรรศน์แบบใช้แสง.....	35
รูปที่ 2.16 หลักการทำงานของกล้องจุลทรรศน์อิเล็กตรอนแบบส่อง粒ด.....	36
รูปที่ 3.1 แผนการไฟล์ขั้นตอนการดำเนินโครงการวิจัย).....	41
รูปที่ 3.2 ขนาดชิ้นงานทดลอง (หน่วย: mm).....	42
รูปที่ 3.3 เครื่องเชื่อมที่ใช้ในการทดลอง.....	43
รูปที่ 3.4 กระบวนการเคลือบหุ้มฟลักซ์.....	44
รูปที่ 3.5 ขั้นตอนการเชื่อมชิ้นพอกผิวแข็งที่อุณหภูมิระหว่างเที่ยวต่างกัน.....	45
รูปที่ 3.6 ขั้นตอนการเชื่อมชิ้นพอกผิวแข็ง ก)แบบไม่มีชั้นรองพื้น ข) แบบมีชั้นรองพื้น.....	45
รูปที่ 3.7 การเจียร์ไนผิวน้ำเพื่อกำจัดผิวด้วยการรีดร้อน.....	46

## สารบัญรูป (ต่อ)

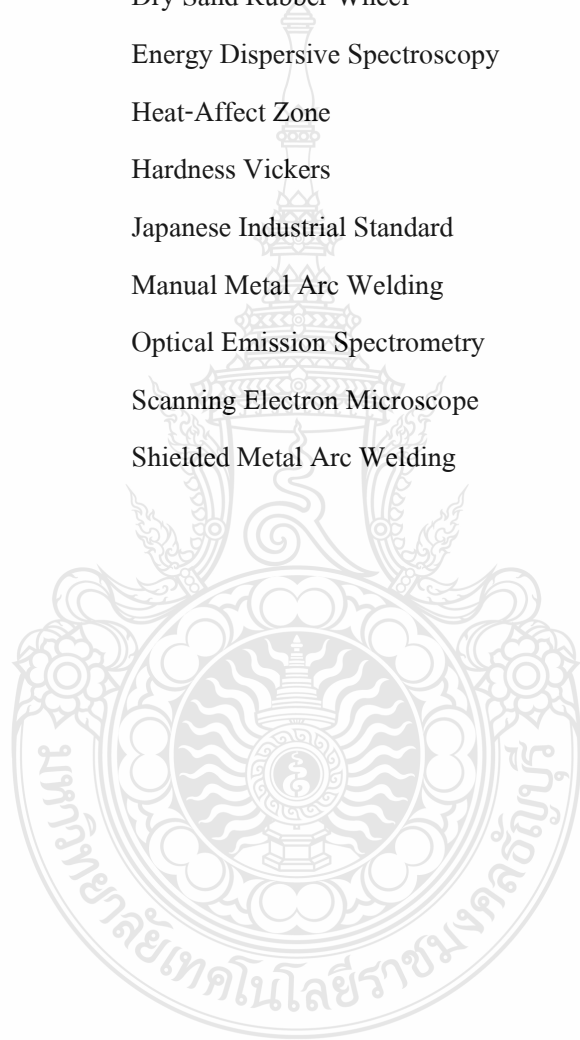
	หน้า
รูปที่ 3.8 การวัดอุณหภูมิหลังจากการอุ่นชิ้นงานด้วยเครื่องวัดอุณหภูมิดิจิตอล.....	47
รูปที่ 3.9 ขั้นตอนการเชื่อมพอกผิวแข็ง.....	47
รูปที่ 3.10 ขั้นตอนการออกแบบการตัดชิ้นทดสอบ.....	48
รูปที่ 3.11 ขั้นตอนการตัดชิ้นงานทดสอบ.....	49
รูปที่ 3.12 ขั้นตอนการขัดด้วยกระดาษทราย.....	50
รูปที่ 3.13 ตำแหน่งการตรวจสอบโครงสร้างทางโลหะวิทยา.....	50
รูปที่ 3.14 ขั้นตอนการทดสอบความแข็ง.....	51
รูปที่ 3.15 การทดสอบการสีกกร่อน (Dry Sand Rubber Wheel: DSRW) ตามมาตรฐานการทดสอบ ASTM G65.....	52
รูปที่ 3.16 กล้องจุลทรรศน์อิเล็กตรอนไมโครสโคปแบบส่อง粒.....	53
รูปที่ 4.1 ผิวน้ำของชิ้นงานที่เชื่อม.....	54
รูปที่ 4.2 ความสัมพันธ์ระหว่างอัตราการสีกกร่อนกับอุณหภูมิระหว่างเที่ยวเชื่อมแบบไม่มีชั้นรองพื้น.....	56
รูปที่ 4.3 ผลการตรวจสอบภาพถ่ายด้วยกล้องจุลทรรศน์อิเล็กตรอนแบบส่อง粒 (Scanning Electron Microscope: SEM).....	56
รูปที่ 4.4 ผลการวิเคราะห์ชาตุแข็งพลังงาน (Energy Dispersive Spectroscopy: EDS).....	58
รูปที่ 4.5 การตรวจสอบโครงมหาภาคแนวเชื่อมพอกผิวแข็งที่กระแสเชื่อม 100 A อุณหภูมิระหว่างเที่ยวเชื่อม 150°C.....	59
รูปที่ 4.6 ผลการทดสอบความแข็งของอุณหภูมิระหว่างเที่ยวเชื่อม 50-450°C การเชื่อมแบบไม่มีชั้นรองพื้น.....	61
รูปที่ 4.7 การวัดขนาดรูปร่างของเม็ดเกรน (ก) ขนาดเม็ดเกรน (ข) บริเวณโลหะเชื่อมพอกผิวแข็งชั้นที่ 3 อุณหภูมิระหว่างเที่ยวเชื่อม 150°C และ (ค) บริเวณโลหะเชื่อมพอกผิวแข็งชั้นที่ 3 อุณหภูมิระหว่างเที่ยวเชื่อม 450°C.....	62
รูปที่ 4.8 การตรวจสอบโครงสร้างจุลภาคพอกผิวแข็ง 3 ชั้น อุณหภูมิระหว่างเที่ยวเชื่อม 150°C ที่ใช้กระแสในการเชื่อม 100A.....	63

## สารบัญ (ต่อ)

	หน้า
รูปที่ 4.9 รอยกดทดสอบความแข็ง โครงสร้างพอกผิวแข็ง 3 ชั้น อุณหภูมิระหว่างเที่ยวเชื่อม $150^{\circ}\text{C}$ ที่ใช้กระแสในการเชื่อม 100A.....	64
รูปที่ 4.10 ผลการวิเคราะห์ชาตุเชิงพลังงาน โลหะเชื่อมพอกผิวแข็ง 3 ชั้น อุณหภูมิระหว่างเที่ยวเชื่อม $150^{\circ}\text{C}$ ที่ใช้กระแสในการเชื่อม 100A.....	65
รูปที่ 4.11 ความสัมพันธ์ระหว่างอัตราการสึกกร่อนกับกระแสเชื่อม 90-110A กำหนดอุณหภูมิระหว่างเที่ยวเชื่อม $150^{\circ}\text{C}$ .....	66
รูปที่ 4.12 ผลการตรวจสอบภาพถ่ายผิวสึกกร่อนกระแสเชื่อม 90A อุณหภูมิระหว่างเที่ยวเชื่อม $150^{\circ}\text{C}$ ด้วยกล้องจลูทรรศน์อิเล็กตรอนแบบส่องวงจร.....	66
รูปที่ 4.13 โครงสร้างมหาภาคที่อุณหภูมิระหว่างเที่ยวเชื่อม $150^{\circ}\text{C}$ (ก) กระแสเชื่อม 90 A (ข) กระแสเชื่อม 110A.....	67
รูปที่ 4.14 ความสัมพันธ์ระหว่างกระแสเชื่อมกับค่าความแข็งที่อุณหภูมิระหว่างเที่ยวเชื่อม $150^{\circ}\text{C}$ การเชื่อมแบบไม่มีชั้นรองพื้น.....	68
รูปที่ 4.15 ความสัมพันธ์ระหว่างอุณหภูมิระหว่างเที่ยวเชื่อมกับอัตราการสึกกร่อนการเชื่อมแบบมีชั้นรองพื้น.....	69
รูปที่ 4.16 ความสัมพันธ์ระหว่างอุณหภูมิเที่ยวเชื่อมกับค่าการแอ่นตัวโค้งงอ (Bending).....	69
รูปที่ 4.17 ความสัมพันธ์ค่าความแข็งระหว่างอุณหภูมิระหว่างเที่ยวเชื่อม $50-450^{\circ}\text{C}$ กับการเชื่อมแบบมีชั้นรองพื้นกระแสเชื่อม 100A.....	70
รูปที่ 4.18 โครงสร้างมหาภาคที่อุณหภูมิระหว่างเที่ยวเชื่อม $150^{\circ}\text{C}$ (ก) กระแสเชื่อม 90 A (ข) กระแสเชื่อม 110A และ (ค) กระแสเชื่อม 110A.....	71
รูปที่ 4.19 ความสัมพันธ์ระหว่างการเชื่อมกับอัตราการสึกกร่อนการเชื่อมแบบมีชั้นรองพื้น.....	72
รูปที่ 4.20 ความสัมพันธ์ค่าความแข็งระหว่างกระแสเชื่อม 90-100A กับการเชื่อมแบบมีชั้นรองพื้นที่อุณหภูมิระหว่างเที่ยวเชื่อม $150^{\circ}\text{C}$ .....	72
รูปที่ 4.21 ผลการตรวจสอบภาพถ่ายผิวสึกกร่อนและผลการวิเคราะห์ชาตุเชิงพลังงานกระแสเชื่อม 100A อุณหภูมิระหว่างเที่ยวเชื่อม $150^{\circ}\text{C}$ การเชื่อมแบบมีชั้นรองพื้น.....	73

## ការអនិបាយស័ព្ទតាមណីនៃការរំលែក

AISI	American Iron and Steel Institute
ASME	American Society of Mechanical Engineering
BM	Base Metal
DSRW	Dry Sand Rubber Wheel
EDS	Energy Dispersive Spectroscopy
HAZ	Heat-Affect Zone
HV	Hardness Vickers
JIS	Japanese Industrial Standard
MMAW	Manual Metal Arc Welding
OES	Optical Emission Spectrometry
SEM	Scanning Electron Microscope
SMAW	Shielded Metal Arc Welding



## บทที่ 1

### บทนำ

#### 1.1 ความเป็นมาและความสำคัญของปัญหา

เหล็กกล้าคาร์บอนปานกลางเป็นเหล็กกล้าที่มีความนิยมในการใช้เป็นวัสดุใน การผลิตชิ้นส่วนเครื่องจักรทางการเกษตร เช่น ลูกโรลเลอร์รถเกียร์ข้าว เป็นต้น เนื่องจากมีสมบัติทางกลด้านความแข็ง ความหนึบ และความแข็งแกร่งคิดiyem อย่างไรก็ตามเมื่อนำชิ้นส่วนลูกไช้งานและสัมผัสเสียดสีกับสิ่งแวดล้อม เช่น การสัมผัสกับหินหรือรวดทราย การสัมผัสกับผิวชิ้นส่วนโลหะอื่นๆ ในเครื่องจักร นักส่งผลทำให้เกิดการเสียหายและพังทลายของชิ้นส่วนขึ้น หากการเสียหายของพื้นผิวชิ้นส่วนที่เกิดขึ้นมีความรุนแรงต่า ชิ้นส่วนดังกล่าวมักถูกนำมาราบบุคคลเพิ่มปริมาณ โลหะที่บริเวณการพังทลาย กรรมวิธีการเชื่อมซ่อมด้วยวิธีการเชื่อมพอกแข็งนับเป็นหนึ่งในวิธีการสำคัญที่สามารถเพิ่มเนื้อโลหะบริเวณที่เกิดการพังทลาย สามารถเพิ่มสมบัติทางกลแก่ผิวชิ้นส่วนให้สามารถนำกลับมาใช้ใหม่ได้และส่งผลทำให้ต้นทุนการผลิตลดลงได้ [1] การพิจารณาตัวแปรการเชื่อมพอกแข็ง เช่น วิธีการเชื่อม ส่วนผสมทางเคมีของลวดเชื่อม กระแสเชื่อม อุณหภูมิระหว่างเที่ยวเชื่อม หรืออัตราการเย็บตัว เป็นต้น เป็นข้อมูลพื้นฐานสำคัญที่ส่งผลถึงการทำให้เกิดแนวเชื่อมพอกแข็งที่มีสมบัติดังต่อไปนี้ คือ ต้องมีความแข็งแรง ทนทานต่อการสึกหรอ ไม่หลุดหลง ไม่แตกหักง่าย ไม่หักง่าย และต้องมีความคงทนต่อการเปลี่ยนแปลงของอุณหภูมิ [2] ด้วยเหตุนี้การศึกษาอิทธิพลตัวแปรการเชื่อมที่ส่งผลต่อสมบัติของโลหะเชื่อมจึงมีการศึกษาและพัฒนาเพื่อให้มีความเหมาะสมต่อลักษณะงานตลอดเวลา

ที่ผ่านมา มีงานวิจัยที่ทำการศึกษาการเชื่อมพอกผิวแข็งบนโลหะเหล็กที่มีรูปแบบการให้ความร้อนก่อนการเชื่อม และอุณหภูมิระหว่างเชื่อมที่น่าสนใจและคาดว่าสามารถประยุกต์ใช้ในการพัฒนาสมบัติโลหะเชื่อมพอกแข็งเหล็กกล้าคาร์บอนปานกลางให้มีค่าที่เหมาะสมในการใช้งานต่างๆ และปราศจากการเกิดการแตกร้าว หรือความบpare ในโครงสร้างจุลภาค ตัวอย่างการศึกษาและพัฒนา

สมบัติโลหะเชื่อมพอกแข็ง เช่น การเชื่อมพอกแข็งจำนวน 3 ชั้นด้วยคลาดหุ่มฟลักซ์ 3 ชนิดบนพื้นผิวเหล็กกล้า ASTM A36 ที่พบว่าโลหะเชื่อมพอกแข็งมีความต้านทานการสึกกร่อนเพิ่มขึ้นเมื่อมีปริมาณทังสละเดนในโลหะเชื่อมเพิ่มขึ้นและมีการอุ่นชิ้นงานก่อนการเชื่อมเสมอ [3] ในการเชื่อมเหล็กหล่อเทา มีการอุ่นงานและอุณหภูมิระหว่างเที่ยงเชื่อมของการเชื่อมพอกแข็งให้มีอุณหภูมิไม่ต่ำกว่า  $200^{\circ}\text{C}$  ด้วยคลาดเชื่อม 2 ชนิดที่มีส่วนผสมของเหล็กล้าผสม Fe-Cr-C และทำให้เกิดโครงสร้างจุลภาคแบบไฮโปและไฮเปอยูเตคติกในโลหะพอกแข็ง ลดเชื่อมไฮเปอยูเตคติกให้ความต้านทานการสึกกร่อนได้ดีกว่าคลาดเชื่อมไฮปอยูเตคติก ค่าความแข็งที่เหมาะสมที่สุดพบได้กับการเชื่อมในชั้นเชื่อมชั้นแรก พฤติกรรมการสึกกร่อนนั้นไม่มีความแตกต่างกันในทุกๆ สภาวะ และไม่เกิดการแตกร้าวในชิ้นงานอย่างไรก็ตามเมื่อทำการทดสอบการสึกกร่อนพบว่ากลไกการเกิดการสึกกร่อนเกิดจากหลุมออกมาเป็นชิ้นๆ ของโครงสร้างและการแตกร้าวของผิวงาน เนื่องจากความประ�ของโลหะเชื่อมพอกแข็ง [4] นอกจากนั้นในการเชื่อมพอกแข็งบนพื้นผิวเหล็กหล่อสีเทาที่มีปริมาณคาร์บอนสูง เช่น เหล็กหล่อสีเทา (ASTM2500) ต้องมีการรักษาอุณหภูมิระหว่างเที่ยงเชื่อมมีค่าไม่ต่ำกว่า  $400^{\circ}\text{C}$  เพื่อทำให้อัตราการเกิดการสึกกร่อนลดลง พบว่าอัตราการสึกกร่อนขึ้นกับสัดส่วนของคาร์บอนด้วยตัวในผิวพอกแข็งและความแข็งไม่ได้เป็นปัจจัยหลักในการเพิ่มอัตราการสึกกร่อนของผิวพอกแข็งแต่ขึ้นกับอัตราการกระจายตัวของเฟสคาร์บอน [5]

ด้วยเหตุผลในการหลีกเลี่ยงการเกิดการแตกร้าวในโครงสร้างจุลภาคของโลหะเชื่อมพอกแข็ง โลหะที่มีปริมาณคาร์บอนสูง และเพิ่มสมบัติทางกลของโลหะเชื่อมพอกแข็ง งานวิจัยนี้จึงมีจุดประสงค์ในการศึกษาอิทธิพลอุณหภูมิระหว่างเที่ยงเชื่อมที่มีผลต่อสมบัติทางกลของชั้นพอกผิวแข็ง การเชื่อมอาร์กแลดหุ่มฟลักซ์ ผลการทดลองที่ได้สามารถใช้เป็นข้อมูลพื้นฐาน เพื่อเป็นประโยชน์ในการพัฒนาการเชื่อมผิวพอกแข็งชั้นล่างเครื่องจักรกลและการซ่อมบำรุงในงานอุตสาหกรรมเกย์ตอร์ต่อไป

## 1.2 วัตถุประสงค์ของงานวิจัย

1.2.1 ศึกษาอิทธิพลการให้ความร้อนระหว่างเชื่อมที่มีผลต่อสมบัติทางกลของชั้นพอกผิวแข็ง การเชื่อมอาร์กแลดหุ่มฟลักซ์เหล็กกล้าคาร์บอน S50C

1.2.2 ศึกษาและเปรียบเทียบความล้มพันธ์ระหว่างโครงสร้างโลหะวิทยาและสมบัติทางกลของชั้นพอกผิวแข็ง การเชื่อมอาร์กแลดหุ่มฟลักซ์เหล็กกล้าคาร์บอน S50C

### **1.3 ขอบเขตของงานวิจัย**

1.3.1 การทดลองเป็นการประยุกต์การเชื่อมอาร์กแลดหุ้มฟลักซ์ (Shielded Metal Arc Welding: SMAW) ในการเชื่อมชิ้นงาน เหล็กกล้า JIS S50C

1.3.2 ลวดเชื่อมพอกผิวแข็งตามมาตรฐาน ลวดเชื่อมหุ้มฟลักซ์ MG 710

1.3.3 ขนาดชิ้นงานมีความกว้าง 100 ความยาว 150 และความหนา 20 กระบวนการเชื่อมตามมาตรฐานชิ้นงานเชื่อม JIS Z3114

1.3.4 ศึกษาตัวแปรการเชื่อม

1) อุณหภูมิระหว่างเที่ยวเชื่อม 5 ระดับ คือ  $50^{\circ}\text{C}$ ,  $150^{\circ}\text{C}$ ,  $250^{\circ}\text{C}$ ,  $350^{\circ}\text{C}$  และ  $450^{\circ}\text{C}$

2) กระแสในการเชื่อม 3 ระดับ คือ 90 A, 100A และ 110 A

3) ชั้นพอกผิว 3 ชั้น เชื่อมแบบไม่ร่องพื้นและเชื่อมแบบร่องพื้น

1.3.5 ศึกษาสมบัติทางกลของรอยเชื่อม ด้วยวิธีการทดสอบความต้านทานการสึกกร่อน ความแข็งไมโครวิกเกอร์ส์ บริเวณรอยเชื่อม

1.3.6 ศึกษาโครงสร้างมหภาคและจุลภาค บริเวณรอยเชื่อม

### **1.4 ประโยชน์ที่คาดว่าจะได้รับจากการวิจัย**

1.4.1 ทราบเกี่ยวกับการกำหนดอุณหภูมิการอุ่นงานและอุณหภูมิระหว่างเที่ยวเชื่อมในการเชื่อมพอกผิวแข็งในการเชื่อมช้อนทับแนวhatayชั้นด้วยการเชื่อมอาร์กแลดหุ้มฟลักซ์เหล็กกล้าคาร์บอน S50 C

1.4.2 ทราบถึงผลผลกระทบของความร้อนที่มีผลต่อโครงสร้างจุลภาคโครงสร้างทางโลหะวิทยาและสมบัติทางกล สมบัติการต้านทานการสึกกร่อน สมบัติด้านความแข็งของเหล็กกล้าคาร์บอน JIS S50C ด้วยการเชื่อมอาร์กแลดหุ้มฟลักซ์

## บทที่ 2

### ทฤษฎีและงานวิจัยที่เกี่ยวข้อง

#### 2.1 เหล็กกล้าคาร์บอน

มนัส สุรินดา [23] ได้อธิบายเหล็กกล้าคาร์บอน หรือ Carbon Steel เป็นวัสดุช่างประเเกทเดียวที่มีสมบัติทางความแข็งแรง (Strength) และความอ่อนตัว (Ductility) ที่เปลี่ยนแปลงได้กว้างมากตามปริมาณของการบอนที่มีอยู่ในเหล็กกล้าคาร์บอน ทำให้เหมาะสมที่จะเลือกใช้ได้ตามความเหมาะสมของลักษณะงาน ดังต่อไปนี้ ในเหล็กคาร์บอน ถ้ามีปริมาณของการบอนต่ำ กันเพียงเล็กน้อยจะทำการซุบแข็งด้วยวิธีแตกต่างกันหรือทำการขึ้นรูป (Mechanical Forming) แตกต่างกันอีก อาจจะทำให้เหล็กมีความแข็งแรงแตกต่างกัน ได้อย่างมาก many คืออาจจะแตกต่างกันได้ตั้งแต่ 50% ถึง 0.1% กิโลกรัมต่ำตาราง mm อัตราการยืดตัว (Elongation) คืออาจจะแตกต่างกันได้ตั้งแต่ 50% ถึง 0.1% เหล็กกล้าคาร์บอน คือโลหะสมรรถห่วงเหล็กและคาร์บอน ปริมาณของการบอนที่มีการบอนเข้าไปในเหล็กกล้าคาร์บอนส่งผลโดยตรงต่อการเพิ่มความแข็งแรงดึงและความแข็งของเหล็กกล้าคาร์บอน กาแบ่งแยกชนิดของเหล็กกล้าคาร์บอนอาจสามารถแบ่งแยกได้โดยการใช้แผนภาพสมดุล

เหล็ก-เหล็กคาร์ไบด์ ที่แบ่งแยกเหล็กกล้าคาร์บอนออกเป็น 3 ชนิด คือ เหล็กกล้าคาร์บอน ต่ำ มีปริมาณการบอนต่ำกว่าร้อยละ 0.77 โครงสร้างจุลภาคที่อุณหภูมิห้องประกอบด้วยเฟอร์ไรท์ และเพิ่มไฮท์เหล็กกล้าคาร์บอนปานกลาง มีปริมาณการบอนร้อยละ 0.77 โครงสร้างจุลภาคที่ อุณหภูมิห้องประกอบด้วยเพลิไฮท์ (เฟอร์ไรท์และซีเมนタイトท์) และเหล็กกล้าคาร์บอนต่ำ มีปริมาณการบอนสูงกว่าร้อยละ 0.77 แต่ไม่เกินร้อยละ 2.00 โครงสร้างจุลภาคที่อุณหภูมิห้องประกอบด้วยเพลิไฮท์ และซีเมนタイトท์ การแบ่งแยกชนิดของเหล็กโดยใช้แผนภาพสมดุลเหล็ก-เหล็กคาร์ไบด์นั้น เป็นการแบ่งแยกโดยการยึดเอาโครงสร้างจุลภาคเป็นหลัก ซึ่งเป็นวิธีการที่ค่อนข้างลำบากสำหรับวิศวกรในการนำไปใช้งานจริง ด้วยเหตุนี้สมาคมเหล็ก และเหล็กกล้าแห่งอเมริกา (American Iron and Steel Institute: AISI) และสมาคมวิศวกรเครื่องกลแห่งอเมริกา (American Society of Mechanical Engineering: ASME) จึงได้คิดค้นระบบในการแบ่งกลุ่มเหล็กกล้าในการนำไปใช้งานโดยการกำหนดตัวเลขชื่นมาใช้ในการเรียก 4 ตัว ให้ตัวเลขสองตัวแรกหมายถึงชาติผู้ผลิตในเหล็กกล้านั้น ขณะที่ตัวเลขสองตัวสุดท้ายหมายถึงปริมาณการบอนในเหล็ก เช่น ตัวอย่าง เหล็กกล้า AISI 1040 คือ เหล็กกล้าคาร์บอน

(ตัวเลข 10) ที่มีปริมาณคาร์บอนเท่ากับ 0.4% (ตัวเลข 40) เหล็กกล้า SAE 10120 คือ เหล็กกล้าคาร์บอน (ตัวเลข 10) ที่มีปริมาณคาร์บอนเท่ากับ 1.2% (ตัวเลข 120) เป็นต้น ตัวอย่างของเหล็กกล้าชนิดต่างๆ แสดงในตารางที่ 2.1

ตารางที่ 2.1 ส่วนผสมทางเคมีของเหล็กกล้าตาม AISI และ ASME [26]

AISI-SAE Number	% C	% Mn	% Si	% Ni	% Cr	Others
1020	0.18–0.23	0.30–0.60				
1040	0.37–0.44	0.60–0.90				
1060	0.55–0.65	0.60–0.90				
1080	0.75–0.88	0.60–0.90				
1095	0.90–1.03	0.30–0.50				
1140	0.37–0.44	0.70–1.00				0.08–0.13% S
4140	0.38–0.43	0.75–1.00	0.15–0.30		0.80–1.10	0.15–0.25% Mo
4340	0.38–0.43	0.60–0.80	0.15–0.30	1.65–2.00	0.70–0.90	0.20–0.300% Mo
4620	0.17–0.22	0.45–0.65	0.15–0.30	1.65–2.00		0.20–0.30% Mo
52100	0.98–1.10	0.25–0.45	0.15–0.30		1.30–1.60	
8620	0.18–0.23	0.70–0.90	0.15–0.30	0.40–0.70	0.40–0.60	0.15–0.25% Y
9260	0.56–0.64	0.75–1.00	1.80–2.20			

เหล็ก S50C จัดเป็นกลุ่มเหล็กกล้าคาร์บอนปานกลางที่นิยมใช้ในงานพื้นฐาน ทั้งงานโครงสร้าง งานอุปกรณ์การเกษตร งานเครื่องจักรกล งานแม่พิมพ์และส่วนประกอบแม่พิมพ์ รวมทั้งชิ้นส่วนในเครื่องยนต์ เป็นต้น เนื่องจากเป็นเหล็กที่มีสมบัติที่ดีในหลายด้าน ทั้งด้านความแข็งแรง ความเหนียว แกร่ง และมีราคาถูก นอกจากนี้ยังสามารถทำการอบชุบท่อเพื่อเพิ่มความแข็งและความแข็งแรงได้ โดยสามารถชุบท่อให้มีความแข็งอย่างน้อย 58 HRC ก่อนอบคืนตัว (As Quenched Hardness) และยังสามารถอบอันดักชั่นได้อีกด้วย

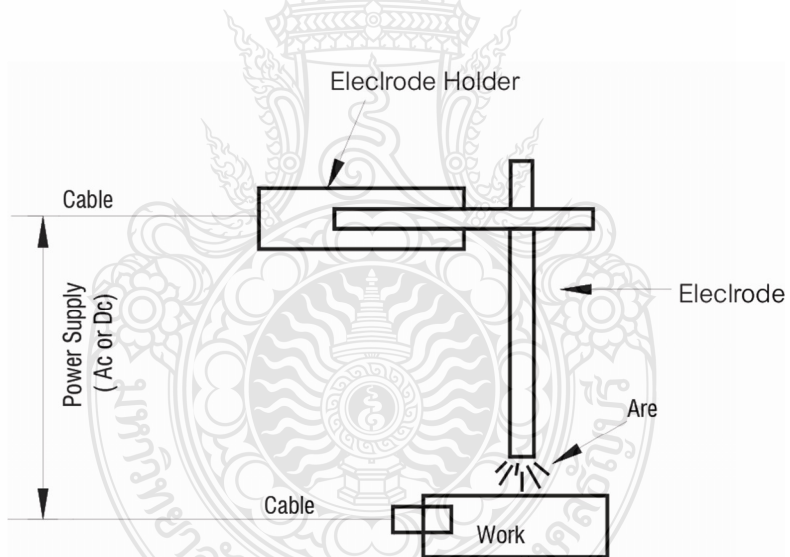
เหล็กกลุ่มนี้เป็นเหล็กพื้นฐานที่ใช้กันอยู่ทั่วไปตามมาตรฐานอุตสาหกรรมญี่ปุ่น (JIS) เหล็กกล้าคาร์บอน (Carbon Steel For Machine Structural Use) จะอยู่ในมาตรฐานหมายเลข JIS G4051 โดย Code ที่ใช้จะเป็นดังในตารางที่ 2.2

ตารางที่ 2.2 องค์ประกอบของเหล็กกล้าคาร์บอน [22]

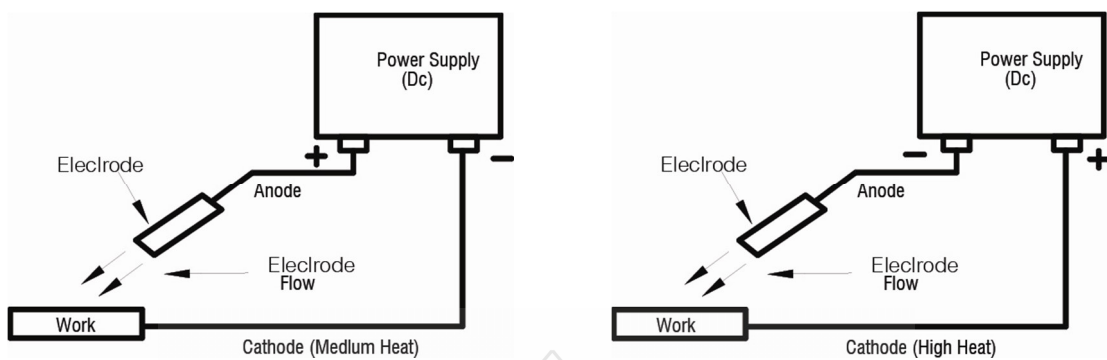
Designation of grade	C	Si	Mn	P	S
S10C	0.08 to 0.13	0.15 to 0.35	0.30 to 0.60	0.030 max.	0.030 max.
S12C	0.10 to 0.15	0.15 to 0.35	0.30 to 0.60	0.030 max.	0.030 max.
S15C	0.13 to 0.18	0.15 to 0.35	0.30 to 0.60	0.030 max.	0.030 max.
S17C	0.15 to 0.20	0.15 to 0.35	0.30 to 0.60	0.030 max.	0.030 max.
S20C	0.18 to 0.23	0.15 to 0.35	0.30 to 0.60	0.030 max.	0.030 max.
S22C	0.20 to 0.25	0.15 to 0.35	0.30 to 0.60	0.030 max.	0.030 max.
S25C	0.22 to 0.28	0.15 to 0.35	0.30 to 0.60	0.030 max.	0.030 max.
S28C	0.25 to 0.31	0.15 to 0.35	0.60 to 0.90	0.030 max.	0.030 max.
S30C	0.27 to 0.33	0.15 to 0.35	0.60 to 0.90	0.030 max.	0.030 max.
S33C	0.30 to 0.36	0.15 to 0.35	0.60 to 0.90	0.030 max.	0.030 max.
S35C	0.32 to 0.38	0.15 to 0.35	0.60 to 0.90	0.030 max.	0.030 max.
S38C	0.35 to 0.41	0.15 to 0.35	0.60 to 0.90	0.030 max.	0.030 max.
S40C	0.37 to 0.43	0.15 to 0.35	0.60 to 0.90	0.030 max.	0.030 max.
S43C	0.40 to 0.46	0.15 to 0.35	0.60 to 0.90	0.030 max.	0.030 max.
S45C	0.42 to 0.48	0.15 to 0.35	0.60 to 0.90	0.030 max.	0.030 max.
S48C	0.45 to 0.51	0.15 to 0.35	0.60 to 0.90	0.030 max.	0.030 max.
S50C	0.47 to 0.53	0.15 to 0.35	0.60 to 0.90	0.030 max.	0.030 max.
S53C	0.50 to 0.56	0.15 to 0.35	0.60 to 0.90	0.030 max.	0.030 max.
S55C	0.52 to 0.58	0.15 to 0.35	0.60 to 0.90	0.030 max.	0.030 max.
S58C	0.55 to 0.61	0.15 to 0.35	0.60 to 0.90	0.030 max.	0.030 max.
S09C K	0.07 to 0.12	0.10 to 0.35	0.30 to 0.60	0.025 max	0.025 max
S15C K	0.13 to 0.18	0.15 to 0.35	0.30 to 0.60	0.025 max	0.025 max
S20C K	0.18 to 0.23	0.15 to 0.35	0.30 to 0.60	0.025 max	0.025 max

## 2.2 การเชื่อมอาร์กเคลือบหุ้มฟลักซ์ (Shielded Metal Arc Welding: SMAW)

ราชบัณฑิตยสถาน [14] นิยามความหมายของคำว่า การเชื่อมอาร์กเคลือบหุ้ม ฟลักซ์ คือ “การ เชื่อมด้วยไฟฟ้าในลักษณะที่ทำให้เกิดอาร์กและได้รับความร้อนจากการอาร์กระหว่างลวด เชื่อมชนิดมี สารพอกหุ้มกับชิ้นงาน สารพอกหุ้มนวนลวด เชื่อมเมื่อละลายจะพาหน้าที่เป็นเกราะป้องกัน บรรยายกาศ ลวดเชื่อมพาหน้าที่เป็นโลหะเติมด้วย สาหรับการเชื่อมนี้ไม่ต้องใช้แรงกด Singh and Dwivedi ได้ เผยแพร่รูปที่ 2.1 ที่แสดงวงจรการเชื่อมอาร์กเคลือบหุ้มฟลักซ์ที่กระแสสูกส่งผ่านจากแหล่งจ่ายพลังงาน (Power Supply) ผ่านสายไฟ (Cable) เข้าสู่ชิ้นงาน (Work) ผ่านอุปกรณ์การจับยึด (Clamp) และลวด เชื่อม (Electrode) ผ่านมือจับลวดเชื่อม (Electrode Holder) เมื่อปลายลวดเชื่อมถูกวางไว้บนผิวของ ชิ้นงานที่ระยะที่เหมาะสมส่งผลทำให้กระแสสูงไหลผ่านช่องว่างเข้าสู่ชิ้นงานตลอดวงจรการเชื่อมทำ ให้เกิดการอาร์ก (Arc) ที่บริเวณที่ต้องการเชื่อมอุณหภูมิของการอาร์กที่มีค่าประมาณ  $3000-4000^{\circ}\text{C}$  ทำให้เกิดความร้อนที่ทำให้โลหะเกิดการหลอมละลายเกิดเป็นน้ำหลอมละลาย และเมื่อโลหะหลอม ละลายเกิดการหลอมละลายจะทำให้เกิดโลหะเชื่อมขึ้น



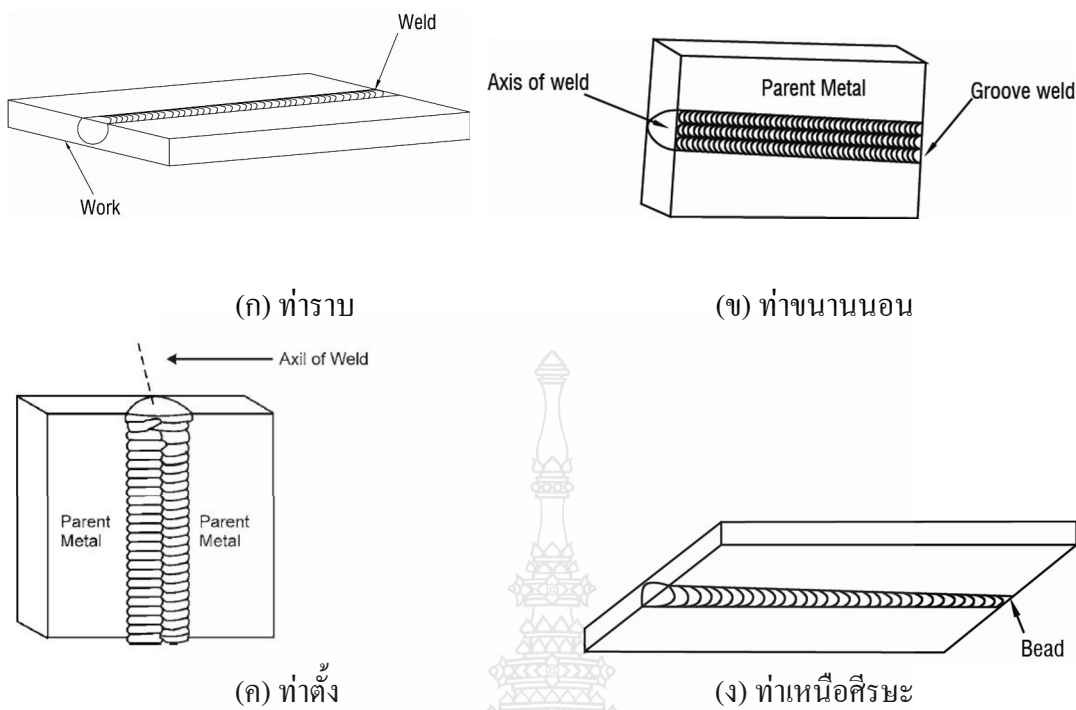
รูปที่ 2.1 การเชื่อมอาร์กเคลือบหุ้มฟลักซ์



รูปที่ 2.2 การเชื่อมกระแสตระหง่านข้าวตรง

รูปที่ 2.3 การเชื่อมกระแสตระหง่านสลับข้าว

ในการเชื่อมอาร์กเคลือบหุ้มฟลักซ์สามารถใช้กระแสในการเชื่อมทั้งสองแบบ คือ กระแสสลับ (Alternative Current: AC) และกระแสตรง (Direct Current: DC) ใน การเชื่อมกระแสตระหง่าน เครื่องกำเนิดกระแสสามารถผลิตกระแสตระหง่านที่มีกระแสสูงถึง 600 แอมเปอร์ แรงดันไฟเชื่อมของวงจร เปิดมีค่าประมาณ 45-95 โวลท์ และวงจรปิดมีค่าประมาณ 17-25 โวลท์ เครื่องเชื่อมกระแสตระหงันแบ่งออกได้เป็นสองประเภทดังแสดงในรูปที่ 2.2 และ 2.3 คือ การเชื่อมกระแสตระหงันที่คลอดเชื่อม กำหนดให้เป็นขั้นบวก (Anode) และชิ้นงานถูกกำหนดให้เป็นขั้นลบ (Cathode) อิเล็กตรอนเคลื่อนที่จากขั้นลบไปขั้นบวกความร้อนส่วนใหญ่เกิดที่ชิ้นงาน และการเชื่อมกระแสตระหงันสลับข้าวที่คลอดเชื่อม กำหนดให้เป็นขั้นลบ (Cathode) และชิ้นงานถูกกำหนดให้เป็นขั้นบวก (Anode) อิเล็กตรอนเคลื่อนที่จากขั้นลบไปขั้นบวกความร้อนส่วนใหญ่เกิดที่คลอดเชื่อม ขณะที่การเชื่อมด้วยไฟฟ้ากระแสสลับมีข้อดีที่มีต้นทุนในการเชื่อมต่ำอุปกรณ์ในการเชื่อมไม่ สลับซับซ้อนเหมือนการเชื่อมด้วยกระแสตระหงันกระแสไฟเชื่อมสามารถเปลี่ยนแปลงได้สูงจาก 150-1000 แอมเปอร์ ความยาวการอาร์ก (Arc Length) คือ ระยะจากปลายคลอดเชื่อมถึงด้านล่างของการอาร์ก ความมีการเปลี่ยนแปลงความยาวประมาณ 3-4 mm การเชื่อมที่มีระยะการอาร์กสั้นเกินไป เวลาที่ทำให้เกิดการสัมผัส (Time of Contact) จะสั้นกว่า และทำให้แนวเชื่อมมีความกว้างและตื้น และการซึมลึกน้อยเมื่อ เปรียบเทียบกับช่วงระยะเวลาการอาร์ก ยาว



รูปที่ 2.4 ท่าเชื่อมสำหรับลวดเชื่อมหุ้มฟลัก

รูปที่ 2.4 แสดงที่ เชื่อมพื้นฐานของการเชื่อมพื้นฐานประกอบไปด้วยท่าราบ (Flat Position) รอยต่อ อุกราชนพื้นราบ ตำแหน่งการเชื่อมอยู่ด้านบนแนวเชื่อมดังแสดงในรูปที่ 2.4 (ก) ท่านาน (Horizontal Position) รอยต่ออุกราชนพื้นราบ ตำแหน่งการเชื่อมนานกับแนวราบดังแสดงในรูปที่ 2.4 (ข) ท่าตั้ง (Vertical Position) รอยต่ออุกราชนตั้งขึ้นด้านบน ตำแหน่งการเชื่อมตั้งจากกับแนวราบดัง แสดงในรูปที่ 2.4 (ค) และท่าหนีอศิรยะ (Vertical Position) รอยต่ออุกราชนหนีอศิรยะผู้ปฏิบัติการ เชื่อม ตำแหน่งการเชื่อมนานกับแนวราบและอยู่ด้านล่างของแนวเชื่อมดังแสดงในรูปที่ 2.4 (ง)

### 2.3 การทำงานของวัสดุแกนลวดเชื่อมไฟฟ้า [24]

แกนลวดเชื่อมไฟฟ้านอกจากจะเป็นตัวหลอมละลายเติมเนื้อโลหะแก่บ่อหลอมแก้ว ยังทำหน้าที่เป็นตัวนำไฟฟ้าจากลวดเชื่อมไปยังชิ้นงานและเป็นตัวเขียวให้เกิดประการอาร์ก ลวดเชื่อมต้องมีสมบัติที่สำคัญคือเป็นตัวนำกระแสไฟฟ้าที่ทำให้จุดประกายอาร์กได้ง่าย สะดวก และหลอมละลายได้ดีวัสดุแกนลวดเชื่อมหลอมละลายกับวัสดุชิ้นงานในบ่อหลอม อัตราส่วนผสมของวัสดุแนวเชื่อมจะมีเนื้อวัสดุชิ้นงาน 1 ส่วน วัสดุลวดเชื่อม 2 ส่วน สมบัติของวัสดุแนวเชื่อมต้องมีสมบัติเหมือนวัสดุแกน

ลวดเชื่อมและวัสดุชิ้นงานมากที่สุดนั่นก็คือ ชาตุที่เป็นโลหะและอโลหะที่ผสมอยู่ในลวดเชื่อมรวมทั้ง วัสดุชิ้นงานจะต้องไม่ถูกเผาไหม้ในบ่อหลอมจนทำให้เลื่อนคุณภาพ สูญเสียสมบัติ ในกรณีที่จะมีการ สูญเสียเกิดขึ้น บ้างก็จะเป็นเพียงส่วนน้อยสารพอกหุ้มที่แกนลวดจะทำหน้าที่เพิ่มชาตุหรือ สารประกอบของ การถูกเผาไหม้ ขณะเชื่อมทำให้สมบัติของแนวเชื่อมและวัสดุชิ้นงานมีสมบัติ เหมือนวัสดุก่อนการเชื่อมมากที่สุด

วัสดุชิ้นงาน คือ วัสดุที่ใช้เดิมลงไปในบ่อหลอมละลายขณะทำการเชื่อมพร้อมกับลวด เชื่อม เพื่อทำให้สมบัติของโลหะภายหลังจากการเชื่อมดีขึ้น และรักษาสมบัติของโลหะเดิมไว้ วัสดุ ชิ้นงานอาจมีสถานะเป็นของแข็ง ของเหลว หรือแก๊สก็ได้ วัสดุชิ้นงานบางชนิดทำให้สามารถเชื่อม ได้สะดวกรวดเร็วได้แนวเชื่อมมีคุณภาพดี สวยงาม และแข็งแรงยิ่งขึ้น เช่น ผงเคมีเชื่อม (Flux) ใช้เป็น สารพอกหุ้มหรือปั๊มฟลักซ์ หรือซื้อประสาน (Flux) และแก๊สเคลือบคุณภาพสูงใช้เป็นแก๊สป้องกันแนวเชื่อม ไม่ให้ทำปฏิกิริยากับอากาศ วัสดุชิ้นงานใช้ป้อนให้แก่บ่อหลอมละลายพร้อมกับวัสดุลวดเชื่อมใน สภาพของสารพอกหุ้มลวดเชื่อมหรือสภาพของผงเคมีหรือแก๊สพ่นเข้าไปคลุมแนวเชื่อมขณะทำการ เชื่อม

## 2.4 มาตรฐานลวดเติมสำหรับพอกผิวของประเทศไทยเยอรมัน (DIN 8555 Part1)

November 1983) [25]

มาตรฐานลวดเชื่อมเติมประกอบด้วยลวดม้วนเติม (Filler Wire) ลวดแท่งเติม (Filler Rode) ลวดม้วนไฟฟ้า (Wire Electrodes) และลวดเชื่อมไฟฟ้าหุ้มฟลักซ์ (Cover Electrode) ซึ่งลวดเติม ทำด้วยเหล็กกล้าไม่ผสม , เหล็กกล้าผสม , โลหะผสมแข็ง , โลหะแข็งและ โลหะผสมนอกกลุ่มเหล็ก ที่ใช้สำหรับพอกผิวโลหะเหล็ก แบ่งประเภทส่วนผสมทางเคมีของลวดเชื่อมหุ้มฟลักซ์ และไส้ฟลักซ์ จะแบ่งประเภทตามสมบัติเคมีของเนื้อเชื่อม

### 2.4.1 การแบ่งประเภทลวดเติม

Rod และ Wire แบ่งประเภทส่วนผสมทางเคมีของลวดเชื่อมหุ้มฟลักซ์และไส้ฟลักซ์ จะแบ่งประเภทตามสมบัติเคมีของเนื้อเชื่อม

#### 1) โลหะเติมประเภทที่มีปริมาณเหล็กสูง

Alloy Group 1 โลหะเติมกลุ่มนี้ใช้สำหรับเชื่อมพอกผิวเหล็กกล้าไม่ผสมหรือ เหล็กกล้าผสมตัวหารือบริเวณที่ไม่ต้องการความแข็งของเนื้อเชื่อมเป็นพิเศษ ในกรณีนี้เนื้อเชื่อมจะไม่ สามารถด้านทานการสึกกร่อนและเนื้อเชื่อมยังสามารถตอบแทนด้วยเครื่องจักร ได้อีกด้วย การนำไปใช้ งาน : การเชื่อมเติมนี้และการเชื่อมรองพื้น

Alloy Group 2 โลหะเติมกลุ่มนี้มีความต้านทานการสึกกร่อนดีกว่าโลหะผสมกลุ่ม 1 เพราะว่าโลหะเติมกลุ่มนี้มีโครงสร้างพื้นฐานแข็งกว่าและประกอบด้วยคาร์บอนค์ในเนื้อเชื่อมโดยปกติแล้วไม่สามารถแตกแต่งเนื้อเชื่อมด้วยเครื่องจักรได้ การนำไปใช้งาน : ใช้เชื่อมพอกล้อวิ่ง

Alloy Group 3 โลหะเติมกลุ่มนี้โดยทั่วไปต้องการเนื้อเชื่อมที่มีความแข็งสูงที่อุณหภูมิสูง โดยปกติเนื้อเชื่อมจะมีชาตุ W , Cr และในบางครั้งจะผสม Mo , Ni , V และ Co อีกด้วย โดยทั่วไปเนื้อเชื่อมมีโครงสร้างมาเป็นเทนไซค์เนื้อเชื่อมที่ผ่านการอบอ่อนมาแล้วสามารถตอบแต่งด้วยเครื่องจักรได้มีความแข็งขนะร้อน (Red Hardness) จนถึงอุณหภูมิ 500 องศาเซลเซียส การเชื่อมต้องให้ความร้อนก่อนเชื่อมและให้เย็นตัวช้าๆ เพื่อป้องกันการแตกร้าว การนำไปใช้งาน : เครื่องมือใช้งานที่อุณหภูมิ (Hot Working)

Alloy Group 4 โลหะเติมกลุ่มนี้มีส่วนผสมของชาตุคล้ายกับเหล็กกล้าไฮสปีด (High Speed Steel) เนื้อเชื่อมมีส่วนผสมของชาตุ W , Mo , Cr และ V และในหลายกรณีจะเติมชาตุ Co ลงไปด้วย การตอบแต่งด้วยเครื่องจักรจะทำได้เฉพาะเนื้อเชื่อมที่ผ่านการอบอ่อนแล้วเท่านั้น ยกเว้นแต่เนื้อเชื่อม 1 หรือ 2 ครั้ง การให้ความร้อนก่อนและหลังเชื่อมจะต้องทำการคุ้มครองผู้ผลิต การนำไปใช้งาน : เครื่องมือตัด , Mandrels , ใบมีดตัด , คมดอกเจาะ เป็นต้น

Alloy Group 5 โลหะเติมกลุ่มนี้มีส่วนผสม โครเมียมสูง 5-30% และมีคาร์บอนไม่เกิน 0.2% เนื้อเชื่อมมีความแข็งเพิ่มขึ้นด้วยการมีโครงสร้างมาร์เกนไซท์ การเชื่อมกระทำได้บนโลหะที่มีส่วนผสมคล้ายกันและบนเหล็กกล้าโครงสร้างที่มีความแข็งแรงต่ออีกด้วย โลหะเติมกลุ่มนี้ไม่อาจจะตอบแต่งด้วยเครื่องจักรได้เสมอไป การให้ความร้อนก่อนและหลังเชื่อมกระทำการคุ้มครองจากผู้ผลิต การนำไปใช้งาน : ใช้เชื่อมพอกผิวงานต่อต้านการเกิดกิเลส (บรรยายกาศแก๊สที่มีกำมะถัน) และเมื่อมีโครเมียมผสม 12 % หรือมากกว่าและยังจะป้องกันการเกิดสนิมอีกด้วย ได้แก่ งานชิ้นส่วน瓦ล์ว , ชิ้นส่วนของเตา

Alloy Group 6 โลหะเติมกลุ่มนี้มีเนื้อคอลายกับกลุ่มที่ 5 แต่มีปริมาณคาร์บอนผสมอยู่สูงมีความแข็งสูงกว่า 500 HB และมีความต้านทานต่อการเกิดสนิมต่ำ เนื้อเชื่อมจะมีความแข็งในอากาศ (Air Hardening) และการทำงานจะทำให้เนื้อสารเจียระไนเท่านั้น การเชื่อมควรหีดความร้อนก่อนเชื่อม 200-300 องศาเซลเซียส การนำไปใช้งาน : เครื่องมือตัด , ใบตัด และลูกรีดสำหรับการรีดเย็น

Alloy Group 7 โลหะเติมกลุ่มนี้มีเนื้อเชื่อมคล้ายเหล็กกล้าแมงกานีสและยังมีชาตุอื่นๆ เนื้อเชื่อมชนิดนี้เหมาะสมกับงานประเภท Work Hardening กือ จะต้องมีแรงมากกระทำจึงจะเกิดความแข็งหรือความแข็งจากการใช้งานความแข็งเริ่มจาก 180 จนถึง 550 HB แต่ไม่เหมาะสมกับงานที่

ต้องการความด้านทานต่อการสึกกร่อนจากการเสียดสีเนื่องจากมีความแข็งแรงอย่างมาก ไม่ตอบแต่ด้วยเครื่องจักร ถ้าจะทำต้องใช้เครื่องมือที่เป็นโลหะแข็งขึ้นงานที่นำมาเชื่อมจะต้องรักษาให้เย็นเท่าที่จะเป็นไปได้ เพื่อให้ได้ผลของความหนึ่งหยุ่น (Toughness) เป็นที่พอกใช้การร้าบไปใช้งาน : เชื่อมเสริมผิวในกรณีพื้นที่ใหญ่ ได้แก่ แผ่นกันสึก เป็นต้น

Alloy Group 8 โลหะเติมกลุ่มนี้ให้เนื้อเชื่อมมีความหนึ่งหยุ่นกว่ากลุ่ม 7 ทำให้แข็งโดย Work Hardening ได้ด้วยความด้านทานต่อการเกิดสนิม ไม่ต้องทำการอบชุบ, ตอบแต่ด้วยเครื่องจักรได้ , ไม่เป็นแม่เหล็ก การนำไปใช้งาน : ส่วนประกอบของพื้นบดหินที่รับภาระไม่รุนแรง , รถบรรทุกไฟ

Alloy Group 9 โลหะเติมกลุ่มนี้มีส่วนผสมเทียบเท่าลวดเชื่อม Ni-Cr օอสเทน ในต์ สามารถใช้เชื่อมกับเหล็กกล้าชนิดเดียวกัน , เหล็กโครเมียมและเหล็กกล้าโครงสร้างหัวใจเนื้อเชื่อมมีความสามารถด้านทานการกัดกร่อนดีเนื่องจากสามารถทำการขึ้นรูปเย็นและมีความหนึ่งหยุ่นยังสามารถตอบแต่ด้วยเครื่องจักรได้ การนำไปใช้งาน : ใช้เชื่อมพอกงานที่ทนต่อการกัดกร่อนหรือทนความร้อน

Alloy Group 10 เนื้อเชื่อมที่ได้จากลวดเชื่อมกลุ่มนี้คือลักษณะเหล็กกล้าโครเมียมที่เพิ่มคาร์บอนและเกิดหรือไม่เกิดจากการก่อตัวของคาร์ไบด์ได้ ปริมาณคาร์บอนผสมอยู่ 2-7 % ส่วนโครเมียมไม่เกิน 40% เนื้อเชื่อมจะมีการไบค์แทรกอยู่ในโครงสร้างอ่อนเหน็บในต์ความแข็งของเนื้อเชื่อมจะเพิ่มขึ้นเมื่อเพิ่มปริมาณคาร์บอน แต่จะไม่เพิ่มด้วยช่วยลดความไวต่อการแตกร้าว เนื้อเชื่อมทนต่อการสึกหรือ การนำไปใช้งาน : ใช้สำหรับการเชื่อมงานในเหมืองแร่และโรงงานเหล็ก เชื่อมพอกชิ้นส่วนเครื่องจักรก่อสร้าง และเครื่องจักรกลเกษตร

## 2) โลหะเติมที่มีปริมาณเหล็กต่ำ

Alloy Goup 20 โลหะเติม Co-Cr มีความสามารถด้านทานต่อการสึกกร่อน , การกัดกร่อน และการเกิดออกซิเดชั่นที่อุณหภูมิสูงดี คุณสมบัติเด่นอีกประดิษฐ์คือการทนต่อความแข็งแรงที่อุณหภูมิสูง ซึ่งสามารถใช้งานที่อุณหภูมิสูงไม่เกิน 600 องศาเซลเซียส การเชื่อมจะต้องใช้ความร้อนก่อนเชื่อม 400-600 องศาเซลเซียส และหลังจากนั้นให้เย็นตัวช้าๆ และไม่จำเป็นต้องทำการอบชุบด้วยความร้อน การนำไปใช้งาน : งานประกอบทุกชนิด , บ่าล์วิโอลีสิยของเครื่องยนต์สันดาปภายใน , บ่าล์วิโอลีสิยของเครื่องจักรไอน้ำ , เพลาปั๊มและชิ้นส่วนที่มีการกัดกร่อนและการเข้ากันรุนแรง (Erosion)

Alloy Goup 21 สมบัติของเนื้อเชื่อมที่ได้จากโลหะเติมกลุ่มนี้ จีนอยู่กับส่วนผสมของโครเมียมคาร์ไบด์และหังสเดนคาร์ไบด์ โดยปกติจะนำผงโลหะโครเมียมคาร์ไบด์และหังสเดนคาร์ไบด์อัดขึ้นรูปเป็น Rod หรือ Core Eire เพื่อนำมาเชื่อม เนื้อเชื่อมมีความสามารถด้านทานการสึก

กร่อนดี ส่วนความหนาขึ้นอยู่กับเบอร์เซ็นต์ของคาร์ไบด์ที่ผสมอยู่ในวัสดุพื้นที่ทำหน้าที่ขัดเกา การเชื่อมจะต้องให้ความร้อนก่อนเชื่อม 400-600 องศาเซลเซียส และไม่ต้องทำการอบชุบด้วยความร้อน การนำไปใช้งาน : เครื่องมือและชิ้นส่วนเครื่องจักรที่นำไปใช้กับงานบุคคล , ดอกเจาะ และสกรูอัด , สำหรับอุตสาหกรรมเคมีิก

Alloy Group 22 เนื้อเชื่อมที่ได้จากโลหะเติม Ni-Cr-B มีความต้านทานต่อการสึกกร่อนที่เกิดจากการขัดสีของโลหะและมีความแข็งที่อุณหภูมิสูง ความแข็งแรงที่อุณหภูมิห้องเพิ่มขึ้น เมื่อเพิ่มปริมาณ C ,Cr และ B ก็อความแข็งตั้งแต่ 30-60 HRC เนื้อเชื่อมสามารถงานกับอุณหภูมิสูง จนถึง 500 องศาเซลเซียส การเชื่อมจะต้องให้ความร้อนก่อนเชื่อม : วาล์ว , สกรูเกลียวหนอน , เพลา ปั๊มคอนกรีตเหลวและปั๊มน้ำมันอื่นๆ

Alloy Group 23 โลหะเติมชนิด Ni-Cr-Mo มีสมบัติในการใช้งานที่อุณหภูมิสูงๆ ได้ดี การเพิ่มความแข็งกระทำได้โดยการอบชุบความร้อนที่ถูกต้อง การนำไปใช้งาน : เครื่องมือ สำหรับงานขึ้นรูปร้อน , หน้าสัมผัสของบ่า瓦ล์วในอุตสาหกรรมเคมี , และใช้เครื่องซื้อเสริมใบมีดตัดงานที่อุณหภูมิสูง

### 3) โลหะเติมนอกกลุ่มเหล็ก (Non-Ferrous Filler Metals)

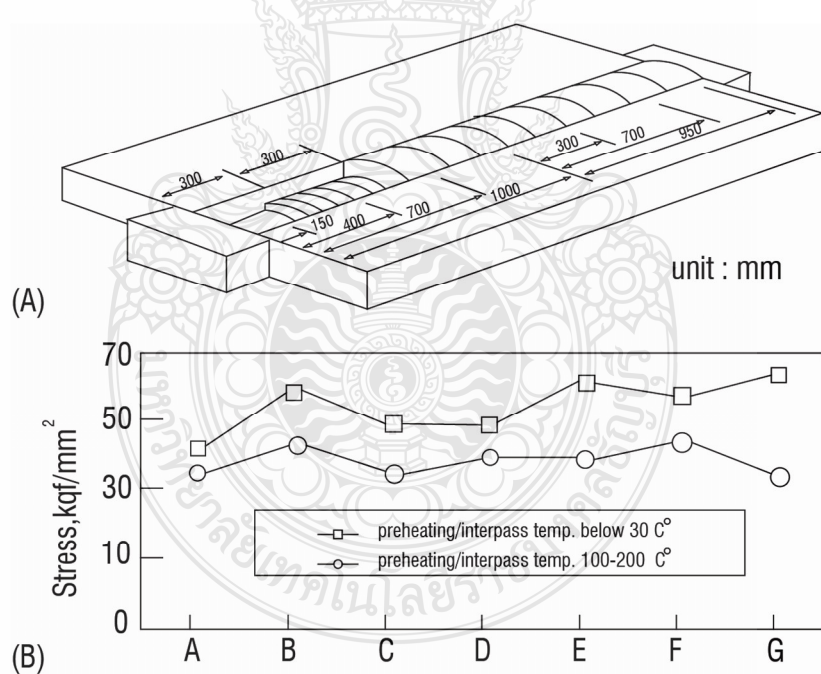
Alloy Group 30 โลหะเติมชนิดกลุ่มนี้เป็นโลหะผสมทองแดง-ดีบุก ประกอบด้วย 6-12 % Sn และฟอสฟอรัส 0.5% ความแข็งแรงของเนื้อเชื่อมพอกอยู่ระหว่าง 60-130 HB และขึ้นอยู่กับปริมาณผสมของ Sn โลหะผสมกลุ่มนี้มีความต้านทานต่อ Sliding Wear สูง, มีความต้านทานต่อสารละลายเกลือและกรด การนำไปใช้งานอาทิ : เปล็อกแบริง , เพลา เกจวาล์ว , เสื้อหุ้ม , เพืองหนอน และเพ่องเฉียง

Alloy Group 31 โลหะเติมกลุ่มนี้มีอัลูมิเนียมผสมหลัก 2-15% สำหรับเนื้อโลหะผสม 2ชาตุ จะมีความแข็ง 100-200 HB และมีความต้านทานต่อสารเคมี สมบัติทางกล, ความต้านทานต่อการกัดกร่อนและสมบัติต่อการนำไปทำงาน ขึ้นอยู่กับปริมาณของชาตุผสมเติมลงไปได้แก่ Fe , Ni และ Mn

Alloy Group 32 โลหะเติมกลุ่มนี้เป็นโลหะผสมทองแดง-นิกเกิล ที่ประกอบด้วยนิกเกิล 5-45 % , เหล็กผสมจนถึง 1.5% และแมงกานีสผสมจนถึง 3.5% ความแข็งแรงสูงสุด ไปจนถึง 160 HB เนื้อเชื่อมมีความต้านทาน Stress Corrosion Creacking โดยเฉพาะต้านทานต่อน้ำทะเล การนำไปใช้: เครื่องกลั่นน้ำ, ท่อน้ำ, กอนเดนเซอร์, เครื่องเคมีและตัวระบายน้ำความร้อน

## 2.5 ความเค้นตอกค้างในรอยต่อเชื่อม

การเชื่อมเป็นวิธีการที่ก่อให้เกิดความเค้นตอกค้างในปริมาณที่สูงในพื้นที่การเชื่อม ความเค้นตอกค้างเกิดขึ้นเนื่องจากการดึงตัวของเนื้อโลหะอย่างไรทิศทางขณะเกิดการเปลี่ยนเฟสจากของเหลวเป็นของแข็งที่โลหะเชื่อมเกิดการเย็บตัว นอกจานนี้จุดวิกฤติต่างๆ เช่น ร่องบากในรอยต่อที่เป็นตำแหน่งที่ทำให้เกิดความเค้นตอกค้างได้เนื่องจากบริเวณนั้นมีความเค้นเข้มข้นสูง โดยทั่วไปการแตกร้าวที่เกิดในแนวเชื่อมจะเกิดจากไฮโดรเจนเข้าไปช่วยทำให้เกิดความเค้นที่ตำแหน่งเป็นร่องหรือจุดบกพร่องแตกร้าวออกมากได้ ในการศึกษาอิทธิพลของไฮโดรเจนที่ทำให้เกิดการแตกร้าวในโลหะเชื่อมเหล็กกล้าที่มีความหนาพบว่า ความเค้นตอกค้างตามยาวของแนวเชื่อมมีค่าดังแสดงในรูปที่ 2.5 ค่าความเค้นตอกค้างบนรอยต่อที่มีการใช้อุณหภูมิระหว่างเที่ยวเชื่อมต่ำกว่าอุณหภูมิระหว่างเที่ยวเชื่อมปกติของเหล็กกล้าคาร์บอน ( $100-120^{\circ}\text{C}$ )  $120^{\circ}\text{C}$  มีค่าความเค้นตอกค้างสูงกว่ารอยต่อที่ใช้อุณหภูมิระหว่างเที่ยวเชื่อมปกติ ผลการทดลองตรวจพบรอยแตกร้าวตามยาวแนวเชื่อมซึ่งเกิดจากการแพร่ของไฮโดรเจนเข้าสู่แนวเชื่อม



รูปที่ 2.5 การกระจายตัวความเค้นตอกค้างตามทิศทาง x ของโลหะเชื่อม: (A) ตำแหน่งการวัดการติดเกจโรเชต และ (B) ผลการวัดค่าความเค้น

## 2.6 การทดสอบความแข็ง

ความแข็งเป็นการแสดงคุณสมบัติของวัสดุที่บ่งบอกถึงความต้านทานต่อแรงกด การขัดสี และการกลึงของวัสดุ ใน การทดสอบความแข็งไม่มีวิธีใดวิธีหนึ่งที่จะสามารถทำการทดสอบได้กับ ทุกวัสดุ ดังนั้น การทดสอบความแข็งจึงสามารถทำได้หลายวิธี แต่ในเชิง โลหะวิทยา การวัดความแข็ง จะเป็นการทดสอบความสามารถของโลหะในการต้านทานต่อการแปรรูปถาวร เมื่อถูกแรงกด จากหัว กดกระทำลงบนชิ้นงานทดสอบ โดยมีวิธีที่นิยมใช้งานดังนี้

1. Brinell Hardness Test เป็นการวัดความแข็งโดยอาศัยแรงกดคงที่กระทำกับลูกบอล เหล็กกล้าชุบแข็งลงบนผิวชิ้นงานทดสอบ ค่าความแข็งจะคำนวณจากแรงกดที่กระทำ ต่อหนึ่งหน่วย พื้นที่ผิว โดยพื้นที่ผิวมีลักษณะเป็นผิวโค้ง

2. Vickers Hardness Test เป็นการทดสอบความแข็งโดยใช้หัวกดเพชรรูป平行四边形 สี่เหลี่ยมจัตุรัสขนาดเล็ก ค่าความแข็งจะคำนวณจากแรงกดที่กระทำต่อหนึ่งหน่วย พื้นที่ที่ใช้ในการทดสอบแบบ Brinell

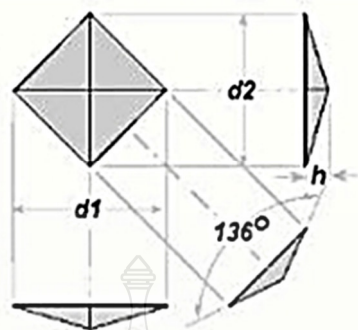
3. Rockwell Hardness Test เป็นวิธีวัดความแข็งของโลหะที่นิยมใช้มากที่สุด โดยจะวัด ความแข็งจากความลึกระยะกดที่ถูกหัวกดกดด้วยแรงคงที่ มีวิธีการวัดหลายสเกล เพื่อให้สามารถ เลือกใช้วัดความแข็งที่เหมาะสมมากที่สุด

สำหรับโครงงานนี้มีการทดสอบความแข็งด้วยวิธี Vickers Hardness Test เพียงวิธีเดียว เท่านั้น จึงขอกล่าวถึงข้อมูลพื้นฐานของการทดสอบเพื่อให้เกิดความเข้าใจในหลักการทดสอบ ดังนี้

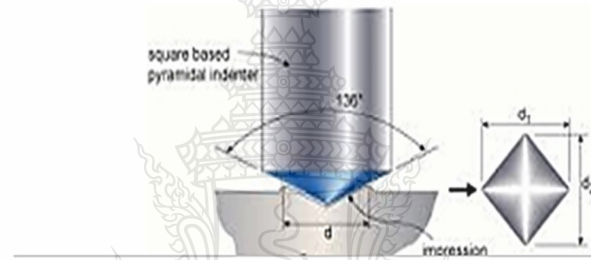
### 2.6.1 การทดสอบความแข็งแบบ Vickers Hardness Test [30]

ชูชาติ ด้วงสังค์ [31] ได้เขียนบรรยายอธิบายหลักการ คำว่า ความแข็งจุลภาค (Micro-Hardness) เป็นขนาดของรอยกดที่เกิดขึ้นจากการทดสอบขนาดเล็กมากในการทดสอบความแข็งจุลภาค ทั่วไปใช้แรงกดที่ 1 กรัมแรง (gfm) ถึง 2 กิโลกรัมแรง หรือไม่เกิน 1 กิโลกรัมแรง โดยทำการขนาด รอยกดด้วยกล้องจุลทรรศ์กำลังขยาย ตั้งแต่ 100 เท่า ถึง 500 เท่า เป็นต้น การทดสอบความแข็งแบบไม่ โครงวิกเกอร์ส คือ หัวกดทดสอบเป็นรูปทรงพีระมิดฐานสี่เหลี่ยมมีมุมแหลม  $136^\circ$  โดยทดสอบคลอง บนผิวของวัสดุใช้แรงกดทดสอบตั้งแต่ 1 กรัม ถึง 2 กิโลกรัม (kgf) และทำการวัดขนาดของรอยกดโดย ใช้กล้องจุลทรรศน์แบบใช้แสงที่มีกำลังขยายตั้งแต่ 100 เท่า ถึง 500 เท่า กระบวนการทดสอบความ แข็งแบบ Vickers เป็นการทดสอบโดยการกดด้วยหัวกดที่ทำจากเพชร (Diamond Indenter) ที่มีรูปทรง เหมือนปีรามิดฐานสี่เหลี่ยม ทำมุมกับด้านตรงข้าม  $136^\circ$  องศา กดลง ไปบริเวณผิวชิ้นงานด้วยแรงคงที่ ปกติจะใช้เวลาในการกดโหลดค้างไว้ 10-15 วินาที รูปที่ 2.6 เส้นทแยงมุม ทั้งสองของหัวกดเพชรจะ ทำให้เกิดรอยที่ผิวของวัสดุหลังจากที่เอาโหลดออก และใช้กล้องจุลทรรศน์วัดขนาดของรอยเพื่อ

นำไปคำนวณค่าความแข็ง ภาพแสดงร้อยละของการทดสอบ สามารถแสดงได้ดังรูปที่ 2.7

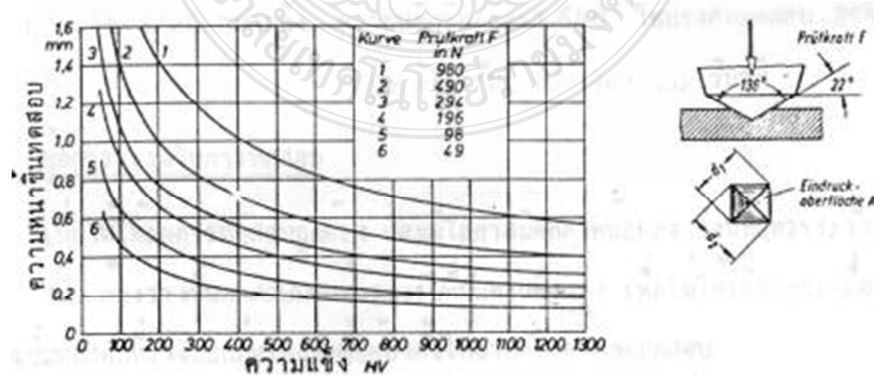


รูปที่ 2.6 ร้อยละของการทดสอบ [30]



รูปที่ 2.7 ภาพแสดงร้อยบุ่มและแรงกดทดสอบ [30]

หลังจากทดสอบแล้ว ไม่ควรมีการเปลี่ยนแปลงรูปใดๆ ให้เห็นทางด้านหลังของชิ้นทดสอบด้วย หรือพิจารณาความหนาของชิ้นทดสอบอย่างน้อยที่สุดที่ทดสอบความแข็งวิกเกอร์ส ได้ เมื่อเลือกใช้แรงกดทดสอบขนาดต่าง โดยคุณภาพดังรูปที่ 2.8



รูปที่ 2.8 กราฟแสดงความสัมพันธ์ระหว่างความหนาและแรงกดทดสอบ [30]

## 2.7 การสึกกร่อน [12]

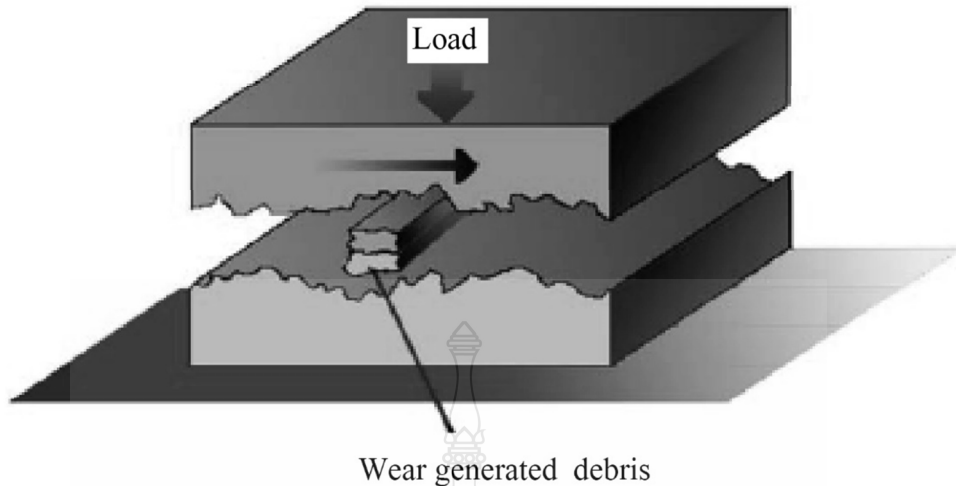
นิติกร นรภัยพิพากษา [23] ได้อธิบายหลักการของทฤษฎีการสึกกร่อนในวิทยานิพนธ์ การสึกกร่อน (Wear) คือ ความเสียหายที่เกิดขึ้นบริเวณผิวนี้่องจากการเคลื่อนที่ระหว่างผิวสัมผัสของมวล และสิ่งแวดล้อม โดยความเสียหายอาจอยู่ในรูปการสูญเสียมวล การเปลี่ยนแปลงรูปร่าง และการเกิดรอยร้าว เกิดขึ้นเมื่อพื้นผิวเคลื่อนที่มาสัมผัสน กратทั้งพื้นผิวเกิดความเสียหาย การพิจารณาการสึกกร่อนจากมวลที่สูญเสียเกิดการหลุดออกของวัสดุคล้ายเป็นเศษการสึกกร่อน (Wear Debris) และขนาดของรูปร่างที่เปลี่ยนแปลงไปในระยะเวลาหนึ่ง ซึ่งหากไม่ได้รับการแก้ไขอาจส่งผลให้เกิดความเสียหายของชิ้นส่วนนั้นในระหว่างการใช้งาน หรืออาจทำให้สูญเสียหน้าที่การทำงานของทั้งระบบ อย่างฉับพลัน

### 2.7.1 กลไกการสึกกร่อน

การแบ่งกลไกของการสึกกร่อนสามารถใช้เปรียบเทียบการสึกกร่อนประเภทต่างๆ ได้

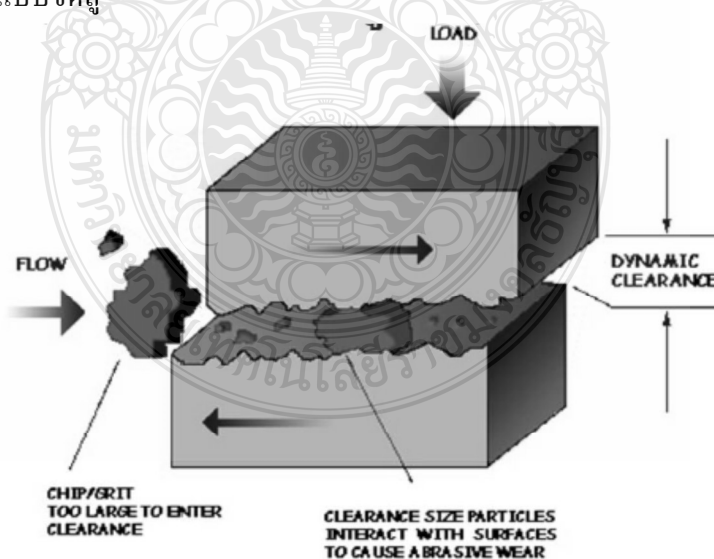
เพื่ออธิบายกลไกการสึกกร่อนและเข้าใจการเปลี่ยนรูปแบบการสึกกร่อนจากประเภทหนึ่งไปเป็นอีกประเภทหนึ่ง ซึ่งความรู้นี้สามารถใช้ในการออกแบบช่วงลดการสึกกร่อนและทำงานอายุการใช้งาน ได้ โดยทั่วไปนิยมแบ่งการสึกกร่อนตามประเภทของกลไกการสึกกร่อน 4 ประเภท ดังนี้

1) การสึกกร่อนแบบยึดติด (Adhesive Wear) แสดงดังรูปที่ 2.9 เกิดขึ้นจากการที่แรงยึดเหนี่ยวระหว่างผิวสัมผัสทำให้เกิดการดึงระหว่างผิวสัมผัสเมื่อมีการเคลื่อนที่และส่งผลให้เกิดการสูญเสียมวลหรืออาจเรียกอีกอย่างว่า การสึกกร่อนจากการไถ (Sliding Wear) เกิดขึ้นเมื่อมีการเคลื่อนที่ไถที่รอยต่อระหว่างหน้าสัมผัส และเกิดแรงดึงดันที่ติดแน่นและอ่อนแอกว่าแยกจากกัน เกิดฟิล์มถ่ายโอน (Transfer Film) ไปสู่อีกพื้นผิวหนึ่ง ทำให้การสึกกร่อนรูปแบบนี้มีรูปแบบที่รุนแรงเนื่องจากความไม่เสถียรของแรงเสียดทานระหว่างคู่ผิวสัมผัสมีค่าสูง ส่งผลให้อัตราการสึกกร่อนสูง การสึกกร่อนแบบแนวติดเป็นพื้นฐานของความเสียหายในโลหะทุกชนิดที่มีการไถ



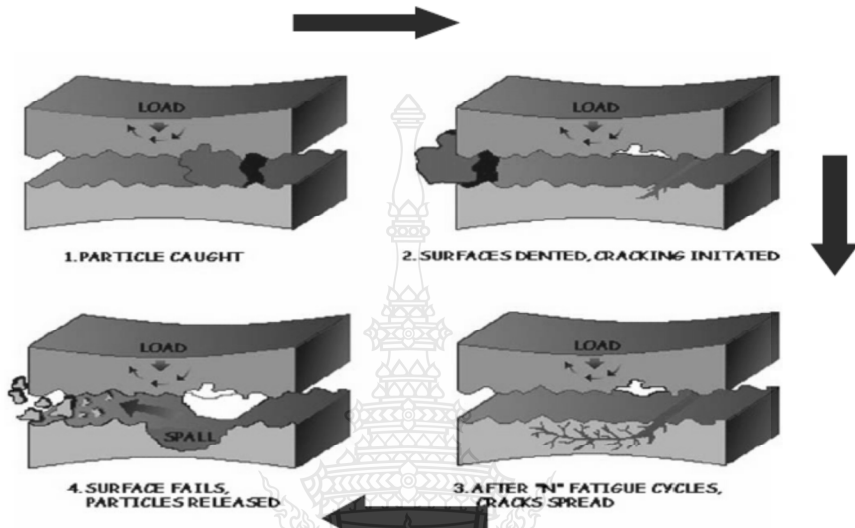
รูปที่ 2.9 การสึกกร่อนแบบยึดติด (Adhesive Wear) [24]

2) การสึกกร่อนแบบขัดถู (Abrasive Wear) และดังรูปที่ 2.10 เป็นการสึกกร่อนโดยไม่มีการเชื่อมกันของผิวสัมผัส เกิดได้ 2 ลักษณะ คือ การขัดถูชนิดสองเนื้อ (Two-Body Abrasive) เกิดจากการที่ผิวแข็ง ไม่เรียบ gland บนผิวอ่อน และการขัดถูชนิดสามเนื้อ (Three-Body Abrasive) เกิดจากเศษวัสดุแข็งที่อยู่ระหว่างผิวสัมผัสที่บดผิวสัมผัสระห่ำ หรือการเคลื่อนที่ลักษณะความเสียหาย pragu เป็นร่อง (Groove) รอยขีดข่วน (Scratch) รอยกด (Indentation) ที่ผิว ส่งผลให้เกิดการสูญเสียมวลกลไกการสึกกร่อนแบบขัดถู



รูปที่ 2.10 การสึกกร่อนแบบขัดถู (Abrasive Wear) [24]

3) การสึกกร่อนแบบการล้า (Fatigue Wear) แสดงดังรูปที่ 2.11 เกิดจากการรับภาระช้ำไป-มาบริเวณผิวสัมผัสส่างผลให้เกิดรอยร้าว การขยายตัวของรอยร้าว การเชื่อมต่อของรอยร้าว การหลุดล่อนของผิว จนเกิดการสูญเสียมวล การสึกกร่อนลักษณะนี้ขึ้นอยู่กับช่วงเวลาภาระ และจำนวนครั้งของการเคลื่อนที่กลไกการสึกกร่อนแบบการล้าที่ผิวสัมผัสส่างผลให้สภาวะการเคลื่อนที่ไม่คง



รูปที่ 2.11 การสึกกร่อนแบบการล้า (Fatigue Wear) [24]

4) การสึกกร่อนแบบสึกกร่อน (Corrosive or Oxidation Wears) แสดงดังรูปที่ 2.12 เกิดจากกระบวนการทางเคมีส่างผลให้เกิดวัสดุใหม่ปักคุณที่ผิว เช่น สนิม หรือชั้นออกซิเดชันต่าง ๆ เมื่อมีการเคลื่อนที่ชั้นออกไซด์จะแตกออกจากสารเกี่ยวตึงกันของยอดสูงระหว่างผิวสัมผัสส่างผลให้เกิดการสึกกร่อนอย่างไรก็ตาม ชั้นออกไซด์จะถูกสร้างขึ้นใหม่ในเวลาต่อมา โดยกระบวนการทางเคมีเป็นตัวกำหนดอัตราการสึกกร่อน กลไกการสึกกร่อนแบบสึกกร่อน

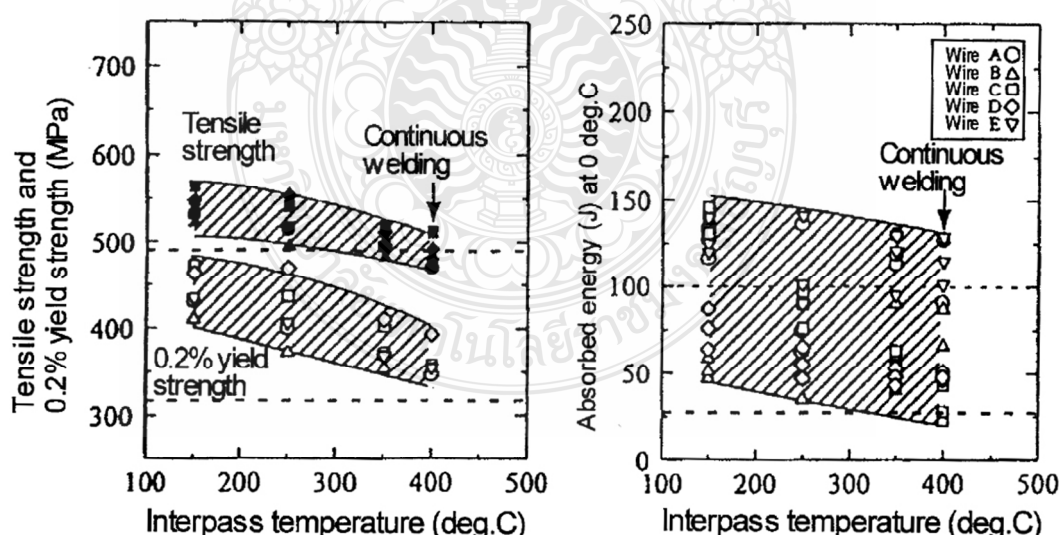


รูปที่ 2.12 การสึกกร่อนแบบสึกกร่อน (Corrosive or Oxidation Wears) [24]

## 2.8 อุณหภูมิระหว่างเที่ยวเชื่อม (Interpass Temperature)

นิยามความหมายของคำว่า อุณหภูมิระหว่างเที่ยวเชื่อม คือ “ในการเชื่อมแบบเชื่อมทับ หลายเที่ยว อุณหภูมิของแนวเชื่อมและ โลหะชิ้นงานส่วนที่อยู่ติดกันก่อนที่จะเริ่มการเชื่อมเที่ยวต่อไป” Kobelco Welding [6] ได้รายงานจุดประสงค์ของการควบคุมอุณหภูมิระหว่างเที่ยวเชื่อมดังนี้

- เพื่อลดความเสี่ยงในการเกิดการแตกร้าวนเนื่องจากแก๊สไฮโดรเจนในเหล็กกล้าคาร์บอน เหล็กกล้าคาร์บอน-แมงกานีส เหล็กกล้าฟลูออโรติก ที่ซึ่งการควบคุมอุณหภูมิระหว่างเที่ยวเชื่อมต้อง มีค่าต่ำสุดหรือใกล้เคียงอุณหภูมิการอุ่นชิ้นงานก่อนเชื่อม (Preheating Temperature)
- เพื่อป้องกันการเสียรูปทางกลของชิ้นงานเหล็กกล้าคาร์บอน เหล็กกล้าคาร์บอน- แมงกานีส เหล็กกล้าฟลูออโรติก ที่ซึ่งอุณหภูมิระหว่างเที่ยวเชื่อมสูงสุดกำหนดไว้
- เพื่อลดความเสี่ยงในการเกิดการแตกร้าวนขณะแข็งตัวหรือขณะเป็นของเหลวในเหล็กกล้า ไรส์นิมอสเทเนติก นิกเกิลและนิกเกิลฟลู อัลูมิเนียมและอัลูมิเนียมฟลู ที่ซึ่งอุณหภูมิระหว่างเที่ยว เชื่อมสูงสุดกำหนดไว้
- เพื่อรักษาการเปียกผิวที่ดีของบ่อหลอมละลายในโลหะหลักของทองแดงและทองแดง พลัม ที่ซึ่งการควบคุมอุณหภูมิระหว่างเที่ยวเชื่อมต้องมีค่าต่ำสุดหรือใกล้เคียงอุณหภูมิการอุ่นชิ้นงาน ก่อนเชื่อม



รูปที่ 2.13 ผลของอุณหภูมิระหว่างเที่ยวเชื่อมต่อสมบัติทางกลของเหล็กกล้าความแข็งแรง 490 MPa ลวดเชื่อม GMAW โดยลวดเชื่อม JIS YGW11 5 ชนิด (อัตราการให้ความร้อนเข้า 40 kJ/cm) [6]

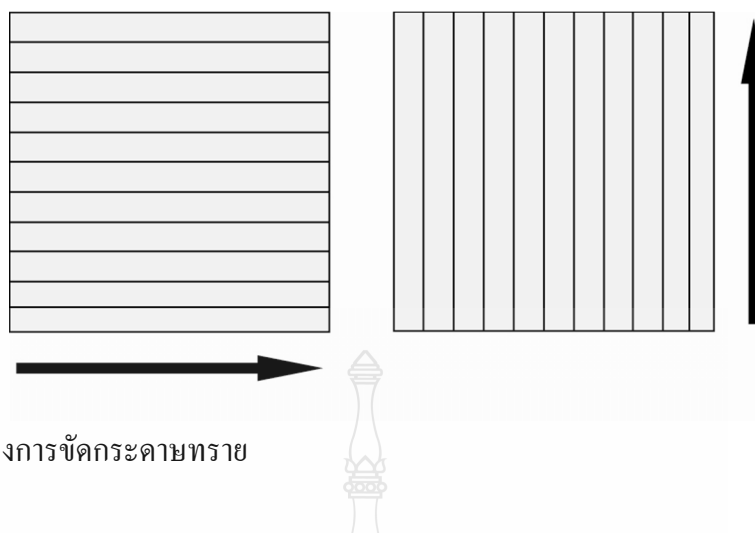
ในการใช้อุณหภูมิการอุ่นชิ้นงานที่สูงทำให้ต้นทุนการเชื่อมสูงเนื่องจากค่าใช้จ่ายด้านพลังงาน ดังนั้น ทางเชื่อมต้องทำให้อุณหภูมิการอุ่นชิ้นงานมีค่าต่ำสุด โดยการใช้วัสดุเชื่อมที่ให้ความสามารถในการเชื่อมสูงสุด ขณะเดียวกันในการศึกษาเรื่อง “อุณหภูมิระหว่างเที่ยวเชื่อม” คือการเชื่อมทับแนวต่อไปโดยความร้อนที่สุดเท่าที่เป็นไปได้เพื่อลดต้นทุนการเชื่อม ขณะเดียวกันสมบัติทางกล (ในกรณีการเชื่อมเหล็กกล้าเฟอร์蕊ติก) และความต้านทานการเกิดการแตกร้าว (ในกรณีการเชื่อมเหล็กกล้าօอสเตเนติก) จะมีค่าลดลงเมื่ออุณหภูมิระหว่างเที่ยวเชื่อมมีค่าสูงและอัตราการเย็นตัวต่ำ

รูปที่ 2.13 แสดงผลของอุณหภูมิระหว่างเที่ยวเชื่อมต่อสมบัติทางกลของเหล็กกล้าความแข็งแรง 490 MPa ลวดเชื่อม GMAW โดยลวดเชื่อม JIS YGW11 5 ชนิด (อัตราการให้ความร้อนเข้า 40 kJ/cm) พบว่าค่าความแข็งแรงคงค่า 0.2% ความแข็งแรงคราก และพลังงานกระแทกของโลหะ เชื่อมมีค่าลดลงเมื่ออุณหภูมิระหว่างเที่ยวเชื่อมสูง ด้วยเหตุนี้ อุณหภูมิระหว่างเที่ยวเชื่อมต้องกำหนด แน่นอนเพื่อให้ได้สมบัติทางกล และผลการทดสอบพบว่า อุณหภูมิระหว่างเที่ยวเชื่อมสูงสุดต้องมีค่าไม่เกิน 250°C สำหรับเหล็กกล้าความแข็งแรงคง 490 MPa อุณหภูมิระหว่างเที่ยวเชื่อมสูงสุดต้องมีค่าไม่เกิน 150°C สำหรับเหล็กกล้าօอสเตเนติก อุณหภูมิระหว่างเที่ยวเชื่อมสูงสุดต้องมีค่าไม่เกิน 70°C สำหรับอลูมิเนียมเพื่อป้องกันการเกิดการแตกร้าวร้อน

## 2.9 การตรวจสอบโครงสร้างจุลภาค [14]

### 2.9.1 ขั้นตอนการตรวจสอบโครงสร้างมหภาคและโครงสร้างจุลภาค

การเตรียมชิ้นงานตรวจสอบโครงสร้างมหภาคเป็นการตรวจสอบโครงสร้างทางโลหะวิทยาที่สามารถถูกได้ตามเปล่าหรืออาจใช้กำลังขยายไม่เกิน 10 เท่า และการตรวจสอบโครงสร้างจุลภาค ชิ้นงานนั้นนำชิ้นงานที่ต้องการตรวจสอบนั้นควรตัดให้เกิดพื้นที่หน้าตัด และการตัดดังกล่าวต้องหลีกเลี่ยงให้เกิดความร้อนน้อยที่สุดเท่าที่จะทำได้ ทั้งนี้กีเพราระความร้อนดังกล่าวจะทำให้โครงสร้างที่ผิวน้ำตัดนั้นเกิดการเปลี่ยนแปลง ทำให้การตรวจสอบนั้นเกิดการผิดพลาดเกิดขึ้น ได้ ขนาดของชิ้นงานตรวจสอบความมีขนาดเส้นผ่านศูนย์กลางไม่น้อยกว่า 25 หรือ 1 นิ้ว และความสูงไม่น้อยกว่า 15 ทำการกลึงปิดหน้าผิวน้ำให้มีความสม่ำเสมอและเป็นระนาบเดียวกัน แสดงทิศทางและวิธีการขัดกระดาษโดยทำการขัดกระดาษไปในทิศทางแนวเดียวกันจากนั้นทำการขัดวงตั้งจากกับรอยขัดกระดาษทรายละเอียด แสดงดังในรูปที่ 2.14 ขัดผิวน้ำตัดด้วยกระดาษทรายที่ทำจากซิลิกอนคาร์บไบด์ ตั้งแต่เบอร์ 220, 320, 400 และ 600 ตามลำดับในขณะขัดผิวควรเปิดน้ำเพื่อไม่ผงขัดและเศษโลหะออก



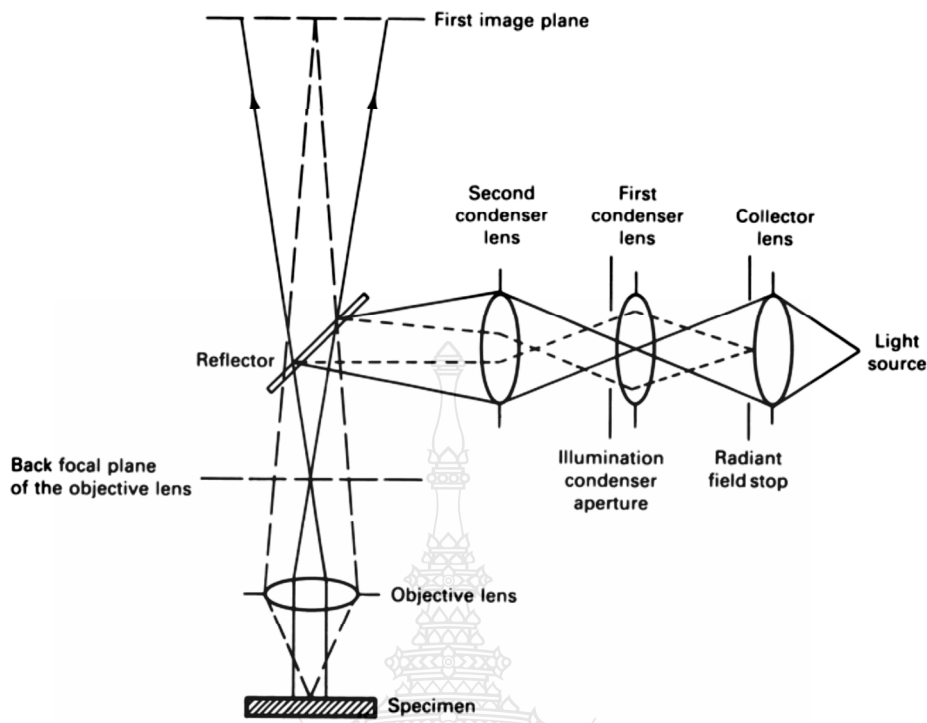
รูปที่ 2.14 ทิศทางการขัดกระดาษทราย

ขัดผิวด้วยผงขัดที่ทำมาจากผงอะลูมีนา (Alumina Oxide) และแมกนีเซียม (Magnesium Oxide) ที่มีขนาดตั้งแต่ 0.05-0.3 ไมครอน นำชิ้นงานตรวจสอบที่ถูกขัดผิวนเป็นมันแล้ว ไปล้างด้วยแอลกอฮอล์ทำการกัดผิวที่ต้องการตรวจสอบด้วยน้ำยา กัดชิ้นงานดังตารางที่ 2.3 ซึ่งจะเข้าอยู่กับชนิดของโลหะที่นำมาการตรวจสอบนำชิ้นงานไปล้างด้วยแอลกอฮอล์ แล้วเป่าให้แห้งทำการตรวจสอบโครงสร้างด้วยกล้องจุลทรรศน์เพื่อทำการวิเคราะห์

ตารางที่ 2.3 น้ำยา กัดชิ้นงานทดสอบตามมาตรฐาน ASTM E304 [26]

น้ำยา กัดผิวชิ้นงานทดสอบ	ส่วนผสม	โลหะที่ตรวจสอบ	การใช้งาน
กรด ไนตริกและไฮโดรคลอริก (Nitric acid and Hydrochloric)	กรด ไนตริก ( $\text{HNO}_3$ ) 3 มิลลิลิตร, ไฮโดรคลอริก ( $\text{HCl}$ ) 10 มิลลิลิตร และ เมทิลแอลกอฮอล์ 100 มิลลิลิตร	เหล็กกล้าคาร์บอน	จุ่มชิ้น ตรวจสอบนาน 10-30 วินาที

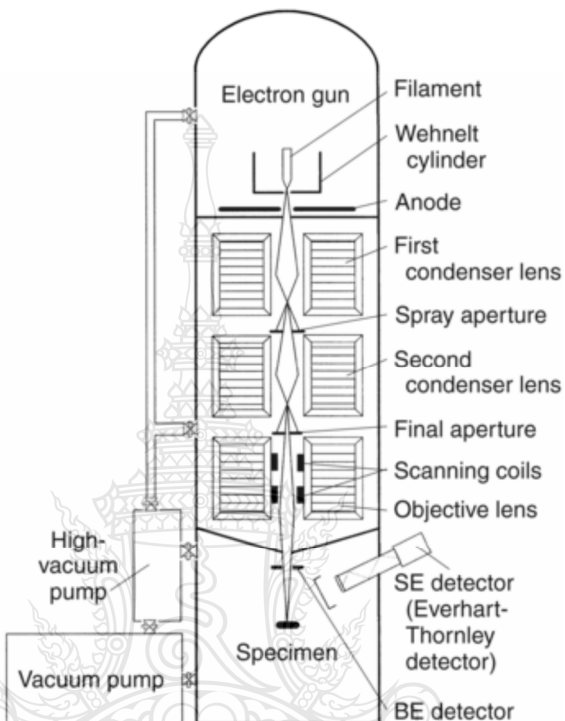
2.9.2 กล้องจุลทรรศน์สำหรับงานทางโลหะวิทยา (Metallurgical Microscope) หรือกล้องจุลทรรศน์แบบใช้แสง (Optical Microscope) โดยจะมีกำลังขยายอยู่ระหว่าง 10-1,000 เท่า ที่กำลังขยายสูงช่วยทำให้การจำแนกชนิดของเฟส (Phase) โครงสร้าง (Structure) ที่ปรากฏอยู่รวมถึงลักษณะปร่อง และขนาดของเฟส หรือโครงสร้างนั้นๆ การตรวจสอบโครงสร้างทางโลหะวิทยาด้วยกล้องจุลทรรศน์แบบใช้แสง แสดงส่วนประกอบด้วยดังในรูปที่ 2.15



รูปที่ 2.15 หลักการทำงานของกล้องจุลทรรศน์แบบใช้แสง [30]

2.9.3 กล้องจุลทรรศน์อิเล็กตรอน Scanning Electron Microscope (SEM) เป็นกล้องจุลทรรศน์อิเล็กตรอนที่มีกำลังขยายไม่สูงเท่ากับเครื่อง TEM มีกำลังขยายสูงสุดประมาณ 10 นาโนเมตร การตรวจตัวอย่างเพื่อที่จะดูด้วยเครื่อง SEM นี้ไม่จำเป็นต้องที่ตัวอย่างจะต้องมีขนาดบางเท่ากับเมื่อคูด้วยเครื่อง TEM ก็ได้ เพราะไม่ได้ตรวจจาก การที่อิเล็กตรอนเคลื่อนที่ทางลุ่มผ่านตัวอย่าง การสร้างภาพทำได้โดยการตรวจด้วยอิเล็กตรอนที่สะท้อนจากพื้นผิวหน้าของตัวอย่างที่ทำการตรวจสอบซึ่งภาพที่ได้จากเครื่องกล้องจุลทรรศน์อิเล็กตรอนนี้จะเป็นภาพลักษณะของ 3 มิติ ดังนั้นเครื่องกล้องจุลทรรศน์อิเล็กตรอนจึงถูกนำมาใช้ในการศึกษาสัณฐานและรายละเอียดของลักษณะพื้นผิวของตัวอย่าง เช่น ลักษณะพื้นผิวด้านนอกของเนื้อเยื่อและเซลล์ หน้าตัดของโลหะและวัสดุ หลักการทำงาน ประกอบด้วยแหล่งกำเนิด อิเล็กตรอนซึ่งทำหน้าที่ผลิตอิเล็กตรอนเพื่อป้อนให้กับระบบ โดยกลุ่มอิเล็กตรอนที่ได้จากแหล่งกำเนิดจะถูกเร่งด้วยสนามไฟฟ้า จากนั้นกลุ่มอิเล็กตรอนจะผ่านเลนส์รวมรังสี (Condenser Lens) เพื่อทำให้กลุ่มอิเล็กตรอนกล้ายเป็นลำอิเล็กตรอนซึ่งสามารถปรับให้ขนาดของลำอิเล็กตรอนใหญ่หรือเล็กได้ตามต้องการ หากต้องการภาพที่มีความคมชัดจะปรับให้ลำอิเล็กตรอนมีขนาดเล็ก หลังจากนั้นลำอิเล็กตรอนจะถูกปรับระยะไฟฟ้าโดยเลนส์ไอลิวติก (Objective Lens) ลงไปบนผิวชิ้นงานที่ต้องการศึกษาหลังจากลำอิเล็กตรอนถูกกราดลงบนชิ้นงานจะทำให้เกิด

อิเล็กตรอนทุติยภูมิ (Secondary Electron) ขึ้นซึ่งสัญญาณจากอิเล็กตรอนทุติยภูมนี้จะถูกบันทึก และแปลงไปเป็นสัญญาณทางอิเล็กทรอนิกส์ และถูกนำไปสร้างเป็นภาพบนจอโทรทัศน์ต่อไป และสามารถบันทึกภาพจากหน้าจอโทรทัศน์ได้เลย แสดงส่วนประกอบด้วยดังในรูปที่ 2.16



รูปที่ 2.16 หลักการทำงานของกล้องจุลทรรศน์อิเล็กตรอนแบบส่อง粒ด

## 2.10 งานวิจัยที่เกี่ยวข้อง

Lee, H. W [7] ทำการศึกษาการเกิดการแตกร้าวในโลหะเชื่อมเนื้องจากแก๊สไฮโดรเจนในแนวเชื่อมเหล็กกล้าความแข็งแรงสูง EH32 TMCP โดยใช้ลวดเชื่อมที่มีตัวประสานภายใน โดยมีอุณหภูมิการอุ่นงานและอุณหภูมิระหัวงเที่ยงเชื่อม  $100\text{--}120^{\circ}\text{C}$  ผลการทดลองมีการรายงานว่า อุณหภูมิการอุ่นงานและอุณหภูมิระหัวงเที่ยงเชื่อมที่อุณหภูมิต่ำกว่าที่กำหนด  $100\text{--}120^{\circ}\text{C}$  เท่ากับ  $30^{\circ}\text{C}$  แสดงค่าความแข็งที่สูงกว่า และแสดงค่าความเค้นตกต้านที่สูงกว่า ขณะที่ค่าความแข็งแรง กระแทกมีค่าที่ต่ำกว่าค่าอุณหภูมิการอุ่นงานและอุณหภูมิระหัวงเที่ยงเชื่อมที่อุณหภูมิต่ำกว่าที่กำหนด  $100\text{--}120^{\circ}\text{C}$

Onoro [8] ศึกษาวิเคราะห์โครงสร้างจุลภาคของโลหะเชื่อมของเหล็กกล้าพสม โครงเมียม 9–12% โดยการเชื่อมอาร์กโกลด์ฟลักซ์ 4 กลุ่มที่ประกอบด้วยลวดเชื่อม Fe-Cr-Mo ลวดเชื่อม Fe-Cr-

Mo-Co ลวดเชื่อม Fe-Cr-Mo-Cu ลวดเชื่อม Fe-Cr-W-Co การเชื่อมเป็นการเชื่อมช้อนแนว 8 ชั้น ในแนวเชื่อมแต่ละแนวมีอุณหภูมิระหว่างเที่ยวเชื่อม 200-250°C ผลการทดลองพบว่า วิธีการที่ดีที่สุดในการได้โครงสร้างมาเทน ใช้ทั้ง การลดชาตุที่เป็นตัวก่อเฟอไรท์ให้น้อยที่สุดเท่าที่เป็นไปได้ การแทนที่ระหว่าง Mo สำหรับ W สามารถลดความเสี่ยงในการทำให้เกิดเคลต้านเฟอไรท์และทำให้เกิดการปรับปรุงสมบัติที่อุณหภูมิสูง ชาตุ Co ที่เติมลงไปในเนื้อโลหะเชื่อมทำให้เกิดเฟสօลสเทนท์และเพิ่มความแข็งแรงครึ่ง ความเหนียว และไม่ทำให้เกิดการลดอุณหภูมิมาเทน ใช้ที่อย่างไรก็ตามในรายงานผลการทดลองนี้ไม่ได้กล่าวถึงผลกระทบจากการเปลี่ยนอุณหภูมิระหว่างเที่ยวเชื่อม

Yang *et al.* [9] ได้ทำการศึกษาการเชื่อมพอกผิวแข็งเหล็กกล้าคาร์บอนต่ำด้วยการเชื่อมอาร์กлюдหุ่มฟลักซ์โดยลวดเชื่อมที่มีส่วนผสมของตัวประสานภายใน แผ่นเหล็กกล้าถูกนำมาทำการเชื่อมเดินแนวและช้อนทับเป็นชั้น ชิ้นงานถูกแบ่งออกเป็น 2 กลุ่ม กลุ่มที่ 1 คือกลุ่มในสภาพเชื่อม และกลุ่มที่ 2 ถูกนำไปทำการอบชุบตามสภาพที่กำหนด ชิ้นทดสอบทั้ง 2 กลุ่มถูกนำไปทำการตรวจสอบหาค่าคาร์บอนในไตรค์ และตรวจสอบความด้านทานการสึกกร่อน ผลการทดลองพบว่า คาร์บอนในไตรค์ซึ่งเป็นโลหะผสมระหว่างโกรเมียม ไททาเนียม และนิโอเบียมในผิวพอกแข็ง มีขนาด รูปร่างและการกระจายตัวอย่างแตกต่างในชิ้นงานทั้งสองแบบ ในชิ้นงานสภาพเชื่อมเฟสคาดาร์บอนในไตรค์มีการตกผลึกมีขนาดประมาณ 1-3 ไมโครเมตร ขณะที่ในชิ้นงานที่ผ่านการอบชุบมีขนาดผลึกที่ละเอียดกว่าในระดับนาโนและมีการกระจายที่เป็นเนื้อเดียวมากกว่า ตำแหน่งที่มีปริมาตรของการคาร์บอนในไตรค์สูงแสดงค่าอัตราการสึกกร่อนที่ต่ำกว่า

Zhang *et al.* [10] ทำการศึกษาอิทธิพลของโครงสร้างจุลภาคที่มีผลต่อสมบัติทางกลในรอยเชื่อมอาร์กлюдหุ่มฟลักซ์และรอยเชื่อมอาร์ก luderด้วยการเชื่อมตัวประสานอยู่ภายใต้เหล็กกล้าพลาสติก โดยชิ้นงานเชื่อมช่องประกอบด้วยการเชื่อมสร้างชั้นผิวและไม่มีชั้นผิว ชิ้นงานที่ได้ทำการตรวจสอบโครงสร้างจุลภาค ความแข็ง และความล้ำตัวของรอยเชื่อม ผลการทดลองพบว่ารอยเชื่อมช่องที่ไม่มีการเชื่อมสร้างชั้นผิวก่อนการเชื่อมจะริงทำให้ความแข็งบริเวณพื้นหลุมคล้ายมีค่าลดต่ำลง โดยมีสาเหตุมาจากการเฟอไรท์ถูกกักขังไว้ในโครงสร้าง ขณะที่รอยเชื่อมที่มีการเชื่อมสร้างชั้นผิวก่อนการเชื่อมนั้นแสดงการเพิ่มน้ำหนักของค่าความด้านทานการล้ำตัว ความหนาของชั้นผิวที่เพิ่มน้ำหนักให้ทำให้เฟอไรท์มีลักษณะเป็นแผ่นและทำให้โครงสร้างเพลลิไอล์และเบนไนท์มีความละเอียดขึ้น เมื่อความหนาของชั้นผิวมีค่าเท่ากับ 10 mm ค่าความแข็งและความด้านทานการล้ำมีค่าลดลงเนื่องจากการเจือจางของโลหะเชื่อมเข้าสู่พื้นที่การหลอมคลาย

Buchanan *et al.* [4] ได้ทำการศึกษาโครงสร้างจุลภาคและพฤติกรรมการสึกกร่อน (Wear) ของรอยเชื่อมอาร์กเคลดเชื่อมหุ้มฟลักซ์พอกผิวแข็งที่ใช้อุตสาหกรรมการผลิตอ้อย โดยทำการเชื่อมพอกด้วยคลอดเชื่อมที่มีส่วนผสมของเหล็กกล้าผสม Fe-Cr-C ที่มีโครงสร้างไฮโปและไฮเปอญเตค ติก และทำการเชื่อมพอกผิวลงบนเหล็กหล่อสีเทาด้วยคลอดเชื่อม 2 เกรด และทำการตรวจสอบพฤติกรรมการสึกกร่อนของผิวพอกแข็งโดยการออกแบบเป็นลักษณะล้อหมุนซึ่งเป็นลักษณะที่เกิดขึ้นในอุตสาหกรรมการหินอ้อย ผลการทดลองพบว่าลวดเชื่อมไฮเปอญเตคติกให้ความต้านทานการสึกกร่อนได้ดีกว่าลวดเชื่อมไฮปอยเตคติก ค่าความแข็งที่เหมาะสมที่สุดพบได้กับการเชื่อมในชั้นเชื่อมชั้นแรก พฤติกรรมการสึกกร่อนนั้นไม่มีความแตกต่างกันในทุกๆ สภาพ กลไกการเกิดการสึกกร่อนเกิดจากหลุดออกมาเป็นชิ้นๆ และการแตกร้าวของผิวงาน

Chatterjee and Pal [11] ได้ทำการศึกษาพฤติกรรมการสึกกร่อนจากอนุภาคของแข็ง (Solid Particle Erosion: SPE) ของโลหะเชื่อมพอกผิวแข็งที่เชื่อมลงบนผิวเหล็กหล่อสีเทา (ASTM2500) ตามมาตรฐาน ASTM G76 พบว่าอัตราการเกิดการสึกกร่อนมีความแตกต่างตามชนิดของลวดเชื่อมพอกผิว โดยอัตราการสึกกร่อนขึ้นกับสัดส่วนของคาร์บอนในผิวพอกแข็ง ความแข็งไม่ได้เป็นปัจจัยหลักในการเพิ่มอัตราการสึกกร่อนของผิวพอกแข็งแต่ขึ้นกับอัตราการกระจายตัวของเฟสคาร์บอน

Chatterjee and Pal [5] ทำการเชื่อมอาร์กเคลดเชื่อมหุ้มฟลักซ์พอกผิวแข็งเหล็กหล่อสีเทา ASTM เกรด 2500 การทดลองทำการเปลี่ยนแปลงชนิดของลวดเชื่อมรองพื้น 3 ชนิด และใช้ลวดเชื่อมพอกผิวแข็ง 5 ชนิด ผลการทดลองพบว่า การอุ่นงาน จำนวนชั้นของการเชื่อม และอัตราส่วน Cr/C ในลวดเชื่อมพอกผิว ส่งผลต่อความยาวของการแตกร้าวที่พื้นผิวต่อพื้นที่ และความแข็งแรงการเกาะยึดของชั้นรองผิวและผิวชั้นงาน หรือผิวชั้นงานและชั้นพอกผิวแข็ง ความแข็งแรงการเกาะยึดที่มีความแข็งแรงสูงสุด คือ การเชื่อมด้วยคลอดเชื่อมพอกผิวแข็งที่มีนิกเกิลสูงและไม่มีชั้นรองผิว

Jeshvaghani *et al.* [12] ศึกษาอิทธิพลของการเชื่อมอาร์กเคลดเชื่อมหุ้มฟลักซ์โดยใช้ลวดเชื่อมพอกผิวแข็งที่มีส่วนผสมหลัก คือ นิกเกิล เชื่อมบนผิวเหล็กหล่อเนียนยวโดยการทำการทำการเชื่อมแนวเดียว (Single pass) และสองแนว (2 pass) ผลของการจำนวนแนวเชื่อมที่มีผลต่อโครงสร้างจุลภาคความแข็ง และโครงสร้างจุลภาคของผิวพอกแข็งถูกทำการศึกษา ผลการทดลองพบว่าโครงสร้างจุลภาคประกอบไปด้วยอสเทเนติก (Fe,C), เฟสแคมเมր (Fe, Ni) และคาร์บอนส่วนเล็กๆ ( $\text{Cr}_7\text{C}_3$ ) ความแข็งของผิวพอกแข็งมีค่าสูงกว่าเหล็กหล่อเนียนยว โดยค่าความแข็งแนวเดียวและสองแนวมีค่า 500 และ 450HV ตามลำดับ

Malek Ghaini, Ebrahimnia *et al.* [13] ศึกษาการเกิดการแตกร้าว (Crack) ภายใต้ผิวพอกแข็งเหล็กหล่อเนียนยวที่เกิดจากการเชื่อมอาร์กเคลดหุ้มฟลักซ์และใช้ลวดเชื่อมที่มีส่วนผสมหลัก คือ

นิกเกิล รอยเชื่อมที่ได้เมื่อนำไปทำการตรวจสอบโครงสร้างจุลภาคพบว่าความขาวของรอยแทกร้าว สัมพันธ์โดยตรงต่อกำลังของรอยเชื่อมที่เกิดขึ้น หากอัตราการเย็นตัวสูงการทดสอบสามารถ ตรวจสอบพบรอยแทกร้าวเกิดขึ้นได้ที่บริเวณพื้นที่กระบวนการร้อน (Heat affected zone: HAZ) รอย แทกร้าวที่เกิดได้แนวเชื่อมนี้ยากต่อการตรวจสอบและมีรูปร่างแตกต่างจากการแทกร้าวนี้องจากการ เย็นตัว นอกจากนั้นพบว่ากราไฟท์ก้อนกลมในเนื้อเหล็กหล่อเป็นจุดกำเนิดในการแทกร้าว

Selvi, Sankaran et al. [14] ทำการเชือกพอกผิวแข็งด้วยวิธีการเชื่อมอาร์กเคลือบหุ้มฟลักช์บน วงแหวนเหล็กกล้าคาร์บอนตัว A216-WCB ด้วยคลาดเชื่อม E410 E430 และ Modified E340 ที่ผ่านการ อบที่ 200 °C เวลา 2 ชั่วโมง การเชื่อมเป็นการเชื่อมช้าแนว 3 ชั้น และไม่มีการถ่ายแนวเชื่อม ชิ้นงาน เชื่อมที่ได้ถูกนำไปทำการทดสอบการสึกกร่อน ทดสอบความแข็ง และตรวจสอบโครงสร้างจุลภาค พบว่าความแข็งของแนวเชื่อมมีค่าลดลงเมื่อระยะเวลาการตรวจสอบห่างออกจากพอกผิวแข็ง ปริมาณ คาร์บอนในคลาดเชื่อมที่เพิ่มขึ้นทำให้อัตราการสึกกร่อนเพิ่มขึ้น และคลาดเชื่อม Modified E340 ให้การ สึกกร่อนน้อยที่สุด ปริมาณโครเมียมที่เพิ่มขึ้นทำให้มีเดกรนเมียนดาลše อายุเพิ่มขึ้น มีความเป็นเกรน คงลักษณะเพิ่มขึ้น และลดปริมาณและขนาดของเกรนหยาบลง

อรรถกิจ จันทร์ชนะ [34] การศึกษาอิทธิพลตัวแปรเชื่อมอาร์กเคลือบหุ้มฟลักช์ที่มีผลต่อ สมบัติพอกแข็งลูกโรลเลอร์รถเกียร์ฯ และนาดข้าวเหล็กกล้า JIC50C ด้วยคลาดเชื่อม JIS G 4051 S50C และ JIS Z 3212:D5016 การเชื่อมเป็นการเชื่อมช้าแนว 3 ชั้นกระแทกไฟ 65-165 แอมป์ร์แบบสร้างชั้น รองพื้นและไม่สร้างชั้นรองพื้น วิเคราะห์โครงสร้างจุลภาคของโลหะเชื่อมของเหล็กกล้า JIC50C พบว่า ความแข็งของแนวเชื่อมเพิ่มขึ้นตามชั้นพอกผิวที่เพิ่มขึ้นการเชื่อมพอกผิวแข็งแบบมีการสร้างชั้นรอง พื้นส่งผลต่อค่าความแข็งลดลง พื้นที่เฟسمีความแข็งสูงกว่าคือพื้นที่มีส่วนผสมทางเคมีของชาตุ โครเมียมและโมลิบดินัมสูงกว่า

คณิต สิงห์พันธ์ [35] อิทธิพลการเชื่อมพอกผิวแข็งช้าแนวต่อสมบัติของเหล็กกล้าเครื่องมือ งานเย็น JIS-SKD11 การเชื่อมเป็นการเชื่อมช้าแนว 3 ชั้นกระแทกไฟ 80-100 แอมป์ร์แบบสร้างชั้นรอง พื้นและไม่สร้างชั้นรองพื้น โดยใช้อุณหภูมิการอุ่นชิ้นงานก่อนเชื่อมที่ 250 องศาเซลเซียส วิเคราะห์ โครงสร้างจุลภาคของโลหะเชื่อมของเหล็กกล้า พบร่วมกันชั้นเชื่อมพอกผิวแข็งส่งผลต่อความแข็ง และอัตราการสึกกร่อนของโลหะและกระแทกเชื่อมที่แตกต่างกันส่งผลให้โครงสร้างมีรูปร่างที่ต่างกัน โลหะที่ส่งผลต่อค่าความแข็งที่เพิ่มขึ้นและลดอัตราการสึกกร่อนคือซิลิกอน โครเมียม และแมงกานีส

Winarto [36] ผลกระทบของการให้ความร้อนก่อนเชื่อม และ รองพื้น ที่มีผลต่อการ พัฒนา ความต้านทานการสึกกร่อน ของเหล็กมีความแข็งแรงสูงสมตัว โดยใช้คลาดเชื่อม 3 ชั้น โดยมี อุณหภูมิการอุ่นงานและอุณหภูมิระหว่างเที่ยวเชื่อม 100-400 °C ผลการทดลองมีการรายงานว่า

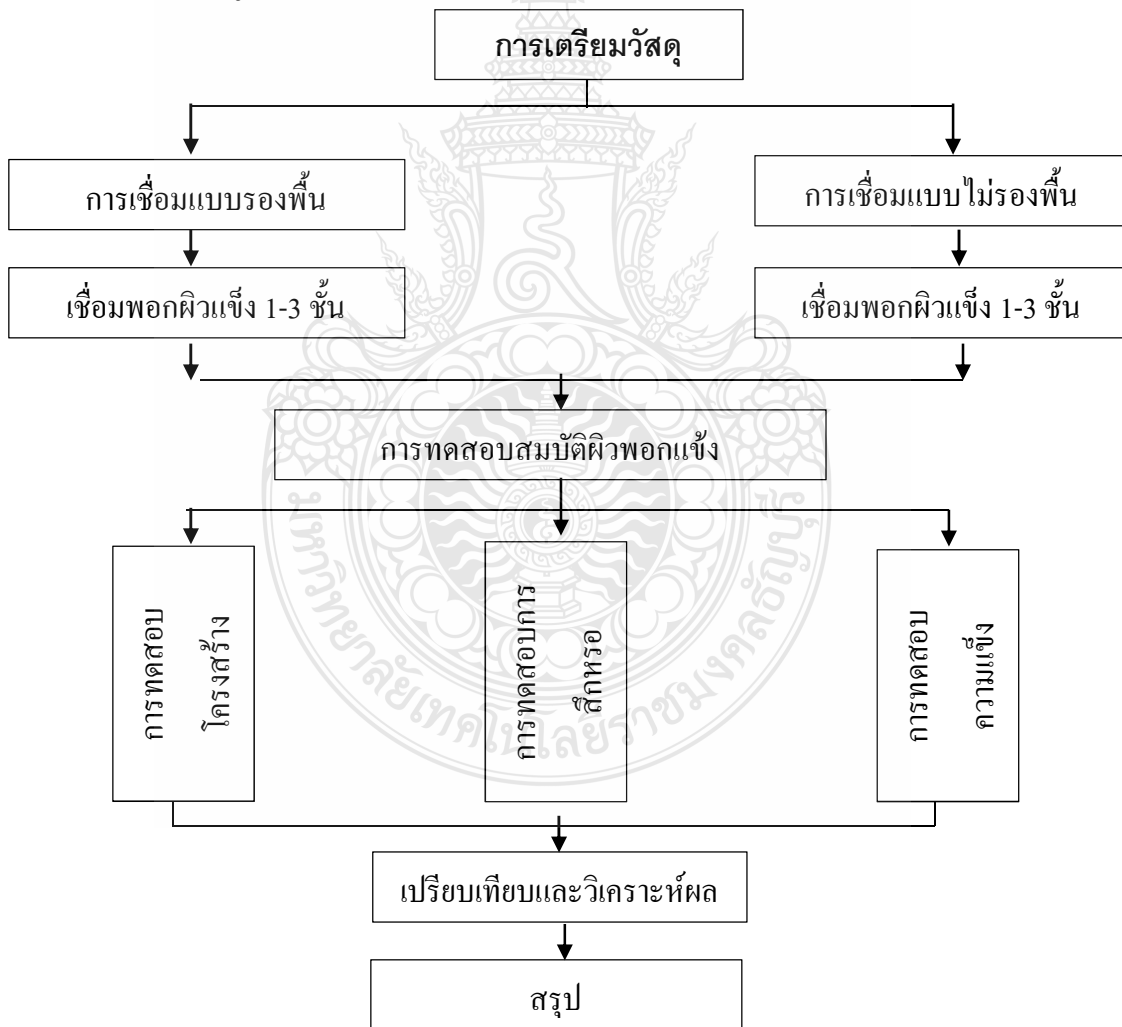
อุณหภูมิการอุ่นงานและอุณหภูมิระห่วงเที่ยวเชื่อมที่อุณหภูมิต่ำ 100°C ชั้นทดสอบแสดงค่าความแข็งที่สูงกว่า และแสดงค่าความเก็บตกค้างที่สูงกว่า และที่ค่าความแข็งแรงกระแทกมีค่าที่ต่ำกว่าค่าอุณหภูมิการอุ่นงานอื่นๆ



## บทที่ 3

### วิธีการดำเนินงานทดลอง

การดำเนินงานการทดลองการศึกษาอิทธิพลอุณหภูมิระหว่างเที่ยวเชื่อมที่มีผลต่อสมบัติโลหะเชื่อมพอกแข็งเหล็กกล้าคาร์บอน JIS-S50C ที่เชื่อมด้วยการเชื่อมอาร์กโอลวหั่นฟลักซ์ โดยมีตัวแปรการเชื่อมประกอบด้วย อุณหภูมิระหว่างเที่ยวเชื่อม กระแสเชื่อม และชั้นพอกผิว 3 ชั้น โดยเชื่อมแบบไม่มีชั้นรองพื้นและเชื่อมแบบมีชั้นรองพื้น จากนั้นทำการทดสอบสมบัติทางกลของรอยเชื่อมด้วยวิธีการทดสอบความต้านทานการสึกกร่อน ความแข็ง ไมโครวิกเกอร์ส์ บริเวณรอยเชื่อมและศึกษาโครงสร้างมหาพรและชุลภาค บริเวณรอยเชื่อม โดยมีขั้นตอนการดำเนินงานการวิจัยครั้งนี้มีขั้นตอนในการดำเนินการดังรูปที่ 3.1



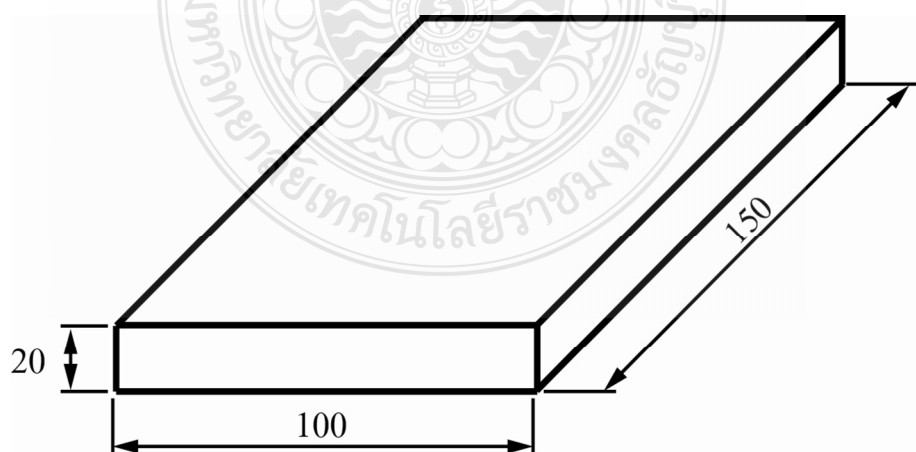
รูปที่ 3.1 แผนการ ไอลขั้นตอนการดำเนินโครงการวิจัย

### 3.1 การเตรียมวัสดุและอุปกรณ์ในงานวิจัย

1) วัสดุที่ในการทดลองคือ เหล็กกล้าคาร์บอนปานกลางตามมาตรฐาน JIS-S50C ที่มีส่วนสมทաงเคมีโดยการตรวจวิเคราะห์ส่วนผสมทางเคมีของโลหะ (Optical Emission Spectrometry: OES) ดังตารางที่ 3.1 แผ่นเหล็กกล้าแผ่นรีดถูกเตรียมด้วยวิธีทางกลให้มีรูปร่างสี่เหลี่ยมผืนผ้าความกว้าง 100 mm ความยาว 150 mm และความหนา 20 mm แสดงดังรูปที่ 3.2 ลวดหุ้มฟลักซ์ที่ใช้เชื่อม คือ ลวดเชื่อมหุ้มฟลักซ์พอกผิวแข็ง MG 710 และลวดเชื่อมรองพื้น L55 มีขนาดเส้นผ่าศูนย์กลาง 3.2 mm ซึ่งมีส่วนสมททางเคมีดังตารางที่ 3.1

ตารางที่ 3.1 ส่วนผสมทางเคมีเหล็กกล้าคาร์บอนและลวดเชื่อม (ร้อยละ โดยน้ำหนัก %)

Type	Standard	Chemical composition (%)			
		C	Si	Mn	Cr
Medium carbon steel	JIS S50C	0.52	0.26	0.78	0.19
Hard facing electrodes	MG 710	4.0	1.2	2	8.5
Buffer electrodes	L55	-	0.62	1.18	0.01



รูปที่ 3.2 ขนาดชิ้นงานทดลอง (หน่วย : mm)

2) เครื่องเชื่อมที่ใช้ในการทดลองนี้ ยี่ห้อ Longwell A 215 IGBT Inverter Welder เป็นเครื่องเชื่อมแบบการอาร์กโอลด์ด้วยมือ (Manual Metal Arc Welding: MMAW) สำหรับการใช้ช่างเชื่อมเท่านั้น โดยมีค่าของกระแสเชื่อม 0-215 A ผู้ปฏิบัติสามารถเลือกระดับไฟฟ้าเชื่อมตามลักษณะงาน ได้ถึง กระแสตรงขั้วลบ (DCEN, DC-) และ กระแสตรงขั้วนอก(DCEP, DC+) หรือ กระแสสลับ(AC) สำหรับระบบความถี่สูงนั้น ช่วยให้การเริ่มต้น ในการอาร์กง่ายขึ้นและสามารถอ่านค่ากระแสเชื่อมเป็นแบบตัวเลข การเชื่อมควบคุมพารามิเตอร์การเชื่อมด้วยคนและการเชื่อมด้วยมือ แสดงดังรูปที่ 3.3



รูปที่ 3.3 เครื่องเชื่อมที่ใช้ในการทดลอง

3) การอบลวดเชื่อมเพื่อกำจัดความชื้นออกจากลวดเชื่อมในงานวิจัยนี้ใช้เป็นแบบระบบอบอบลวดเชื่อมแสดงดังรูปที่ 3.4 ที่สามารถอ่านค่าอุณหภูมิได้จากเกจวัดของอุณหภูมิจาก 0-300 °C ทำการอบลวดเชื่อมที่อุณหภูมิความร้อน 200-300 °C เป็นเวลา 60 นาทีกำจัดความชื้นจากลวดเชื่อม



รูปที่ 3.4 กระบวนการอบลวดเชื่อมที่ใช้ในการทดลอง

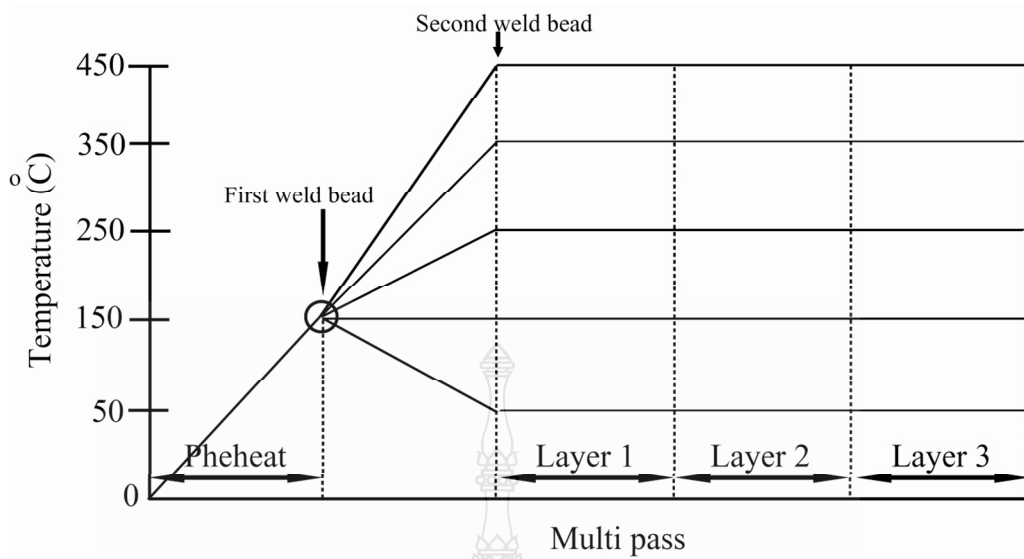
### 3.2 ขั้นตอนการดำเนินการทดลอง

การดำเนินการทดลองการเชื่อมพอกผิวแข็ง สามารถแบ่งตัวแปรการเชื่อมออกเป็น 3 กลุ่ม โดยมีรายละเอียดของตัวแปรดังนี้

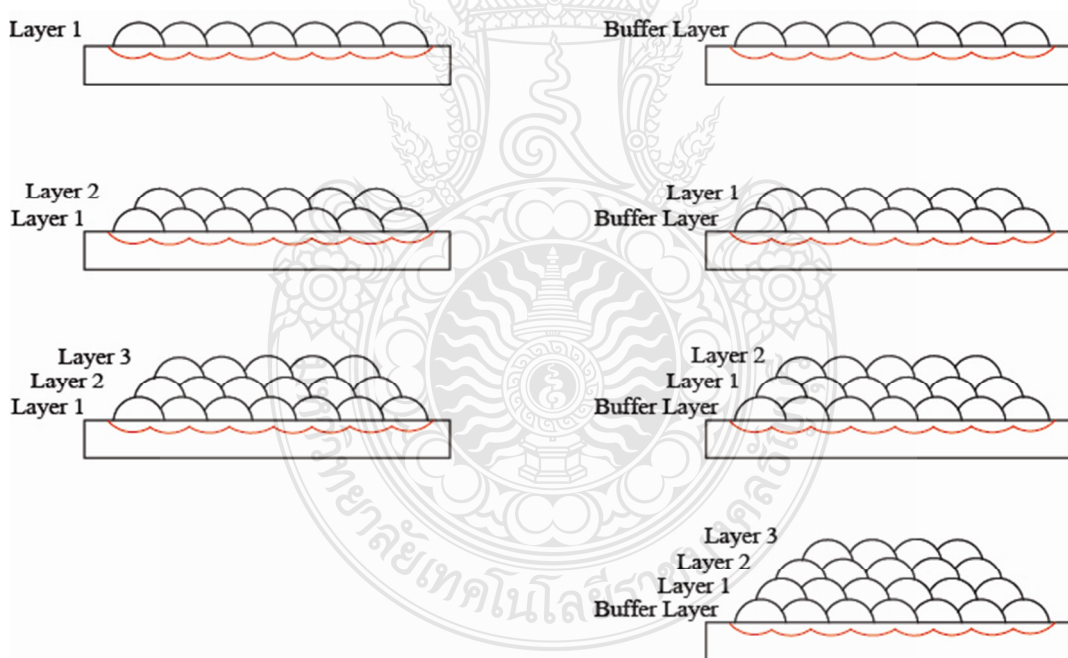
1) อุณหภูมิระหัสทางเที่ยวเชื่อม 5 ระดับ คือ  $50^{\circ}\text{C}$ ,  $150^{\circ}\text{C}$ ,  $250^{\circ}\text{C}$ ,  $350^{\circ}\text{C}$  และ  $450^{\circ}\text{C}$  โดยทำการอุ่นชิ้นงาน (Pheat Temperature) ทดลองเหล็กกล้าคาร์บอนก่อนการเชื่อมแนวที่ 1 ทุกครั้ง ที่ อุณหภูมิการอุ่นชิ้นงานที่  $150^{\circ}\text{C}$  แสดงดังรูปที่ 3.5 ขั้นตอนออกแบบการเชื่อมชิ้นพอกผิวแข็งที่ อุณหภูมิระหัสทางเที่ยวต่างกัน

2) กระแสในการเชื่อม 3 ระดับ คือ  $90\text{ A}$ ,  $100\text{ A}$  และ  $110\text{ A}$

3) เชื่อมชิ้นพอกผิว 3 ชิ้น เชื่อมแบบไม่มีชิ้นรองพื้นและเชื่อมแบบมีชิ้นรองพื้นแสดงดังรูปที่ 3.6 ขั้นตอนการอุ่นแบบชิ้นงานเชื่อม



รูปที่ 3.5 ขั้นตอนการเชื่อมชั้นพอกผิวแข็งที่อุณหภูมิระห่ำเที่ยวต่างกัน

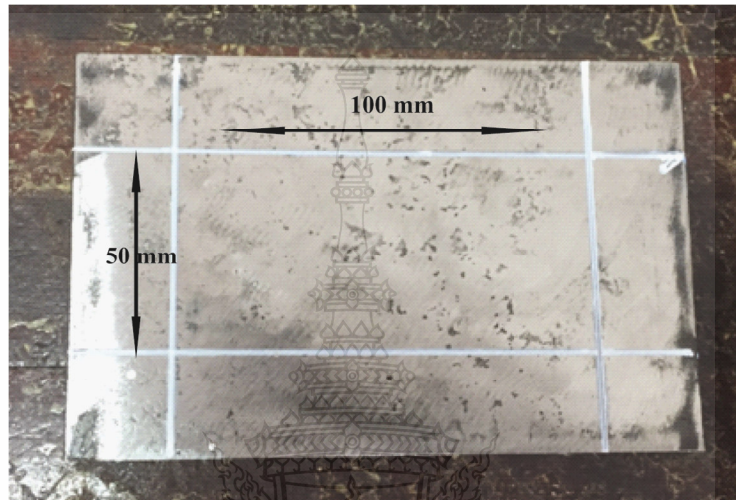


ก) แบบไม่มีชั้นรองพื้น

ข) แบบมีชั้นรองพื้น

รูปที่ 3.6 ขั้นตอนการเชื่อมชั้นพอกผิวแข็ง ก) แบบไม่มีชั้นรองพื้น ข) แบบมีชั้นรองพื้น

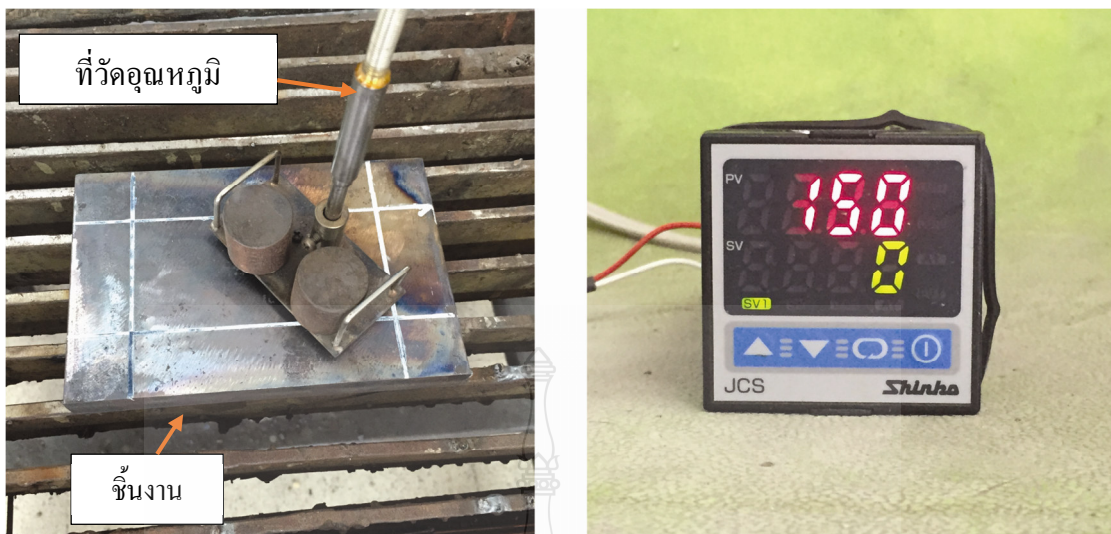
4) การเตรียมชิ้นงานทดลองเหล็กกล้าคาร์บอนปานกลางตามมาตรฐาน JIS-S50C ผิวด้านบนของแผ่นเหล็กถูกทำการเจียร์ในผิวน้ำเพื่อกำจัดผิวดินจากการรีดอ่อนและปรับผิวให้มีความเรียบก่อนทำการเชื่อมและทำการกำหนดขอบเขตของแนวเชื่อมพอกผิวแข็งโดยมีขนาดความกว้าง 50 mm ยาว 100 mm และแสดงดังรูปที่ 3.7



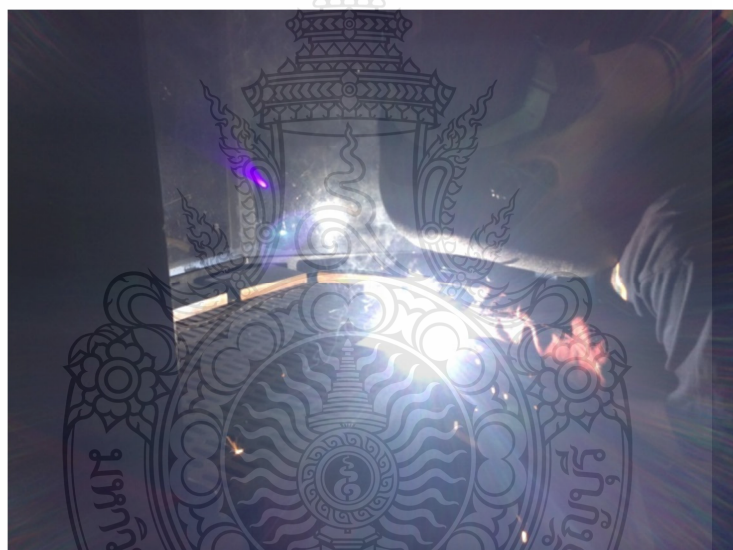
รูปที่ 3.7 การเจียร์ในผิวน้ำเพื่อกำจัดผิวดินจากการรีดอ่อน

### 3.2.1 ขั้นตอนการทดลองเชื่อม

กระบวนการเชื่อมที่ใช้เชื่อม คือ การเชื่อมอาร์กโคลดหุ้มฟลักซ์ (Shielded Metal Arc Welding: SMAW) โดยช่างเชื่อมที่ผ่านการรับรองมาตรฐานจากกรมพัฒนาฝีมือแรงงาน กระทรวงแรงงานทำการเชื่อมในห้องเชื่อมมาตรฐานของบริษัท ภู่สุวรรณ อินเตอร์เทรด จำกัด ก่อนการเชื่อมทุกครั้งทำการอุ่นชิ้นงานเชื่อมให้ได้อุณหภูมิ  $150^{\circ}\text{C}$  ดังรูปที่ 3.8 และแสดงขั้นตอนการวัดอุณหภูมิหลังจากการอุ่นชิ้นงานด้วยเครื่องวัดอุณหภูมิดิจิตอล หลังจากนั้นทำการเชื่อมตามตัวแปรการทดลองที่กำหนดโดยช่างเชื่อมแสดงดังรูปที่ 3.9



รูปที่ 3.8 การวัดอุณหภูมิหลังจากการอุ่นชิ้นงานด้วยเครื่องวัดอุณหภูมิคิจิตอล

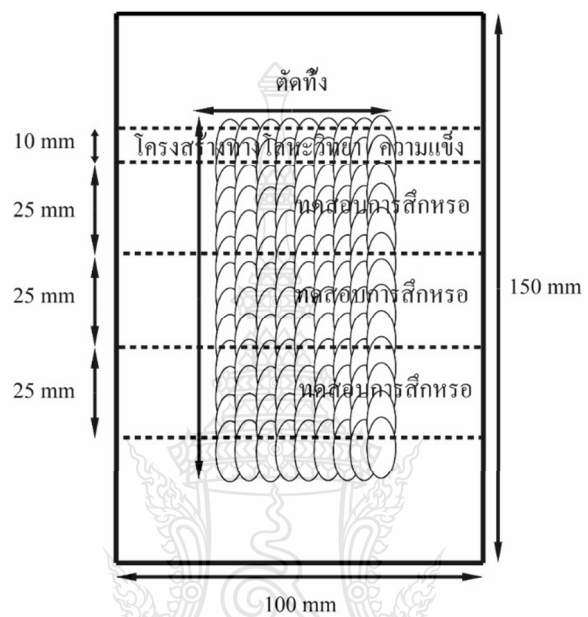


รูปที่ 3.9 รูปขั้นตอนการเชื้อมพอกผิวแข็ง

### 3.2.2 ขั้นตอนการทดสอบรอยเชื้อม

- ชิ้นงานที่ผ่านการเชื้อมพอกผิวแข็งตามตัวแปรที่กำหนดคุณภาพมาตัดเป็นชิ้นงานทดสอบ โดยตัดทึบทางบริเวณจุดเริ่มต้นการเชื้อมและจุดสิ้นสุดของแนวเชื้อมแล้วตัดชิ้นงานทดสอบ โครงสร้างทางโลหะวิทยาและทดสอบความกว้างมีขนาดกว้าง 10 mm 1 ชิ้น และตัดทดสอบการลึกกร่อนโดยมีขนาดความกว้าง 25 mm ทั้งหมด 3 ชิ้น และแสดงตัวอย่างการออกแบบการตัดชิ้นทดสอบดังรูปที่ 3.10 กระบวนการตัดชิ้นงานทดสอบใช้กระบวนการตัดแบบไมโครคัตเตอร์ยีห้อทางการค้า Metcon Meta Cut-M และแสดงดังที่ 3.10 (ก) โดยมีระบบหมุนเวียนน้ำหล่อเย็นเพื่อป้องกันการเกิดความ

ร้อนบริเวณรอยตัด ขั้นตอนการตัดชิ้นงานทดสอบทำการจับยึดชิ้นงานให้แน่นดังรูปที่ 3.11 (ข) จากนั้นทำการกดปุ่มเปิดແສงสว่างหมายเลข 1 แสดงดังรูปที่ 3.11 (ค) และทำการกดปุ่มหมายเลข 2 เปิดปุ่มน้ำหล่อเย็นจากนั้นทำการกดปุ่มสตาร์ทหมายเลข 3 และเมื่อทำการตัดชิ้นงานเสร็จแล้วหรือทำการเปลี่ยนใบตัดใหม่ทำการกดปุ่มหมายเลข 4 เพื่อทำการหยุดเครื่องตัดแสดงดังรูปที่ 3.11 (ค)



รูปที่ 3.10 ขั้นตอนการออกแบบการตัดชิ้นทดสอบ



รูปที่ 3.11 ขั้นตอนการตัดชิ้นงานทดสอบ

2) การเตรียมชิ้นทดสอบสำหรับการตรวจสอบโครงสร้างมหาภาคและโครงสร้างจุลภาคทำได้โดยนำชิ้นงานที่ผ่านการเชื่อมเรียบร้อยมาทำการตัดด้วยเครื่องตัดชิ้นงานทดสอบที่มีระบบหมุนเวียนน้ำหล่อเย็น ชิ้นงานที่ได้ถูกนำมาทำการขัดด้วยกระดาษทราย เบอร์ 240-1200 ตามลำดับ สำหรับวิธีการขัดชิ้นงานด้วยกระดาษทรายของชิ้นงานเชื่อมพอกผิวแข็งของกับทิศทางการหมุนของงานขัดดังรูปที่ 3.12 (ก) ตรวจดูความเรียบด้วยสายตา จากนั้นทำการวางแผนชิ้นงานเชื่อมงานกับทิศทางการหมุนของงานขัดดังรูปที่ 3.12 (ข) และตรวจดูความเรียบผิวด้วยสายตา ทำการขัดสลับไปมาในกระดาษทรายเบอร์เดียวกันจนได้ความเรียบผิวที่ต้องการและทำการเปลี่ยนเบอร์กระดาษทราย และทำการขัดมันด้วยผงเพชรขนาด 1 ไมโครเมตรจนผิwmันวาว ผิวขัดมันถูกทำการกัดกรด (Etching) ผิวหน้าชิ้นงานเชื่อมด้วยสารละลายที่มีส่วนผสมประกอนด้วยกรดไฮดริก 10 มิลลิลิตร และกรดไฮดรคลอริก 30 มิลลิลิตร ใช้เวลาในการกัดกรดประมาณ 60 วินาที ตามมาตรฐาน ASTM E407 จากนั้นตรวจสอบโครงสร้างด้วยกล้องจุลทรรศน์แบบแสง ยี่ห้อ OLYMPUS BX51M บริเวณที่

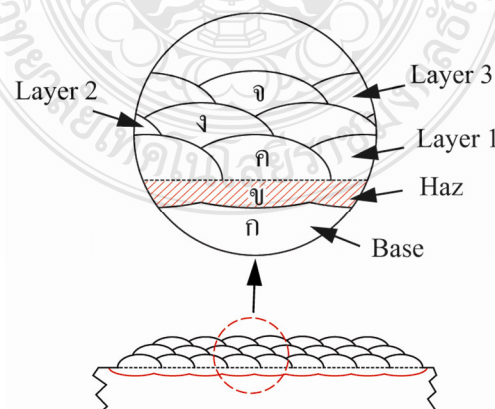
กำหนด คือ บริเวณโลหะฐาน (Base Metal) บริเวณผลกระทบร้อน (Heat-Affect Zone) และบริเวณชั้นแนวเชื่อม (Weld Metal Layer) ชั้นที่ (Layers) 1-3 แสดงดังรูปที่ 3.13

3) การทดสอบความแข็งของผิวแนวเชื่อมพอกผิวแข็งใช้การทดสอบความแข็ง จุลภาคแบบไมโครวิคเกอร์ส์ (Micro Vickers Hardness) ใช้ในการทดสอบความแข็ง โดยวิธีทดสอบ มาตรฐาน ASTM E92-82 [30] โดยทำการทดสอบเป็นส่วนต่างๆ ผ่านผิวชั้นแนวเชื่อมชั้นที่ 1 ถึง ชั้นที่ 3 โดยระยะห่างระหว่างจุดทดสอบ 0.4 mm โดยที่ใช้ในการทดสอบ 200 กรัม และเวลาในการกด แค่ 10 วินาที และคงบริเวณตำแหน่งทดสอบดังรูปที่ 3.14 (ก) และรูปที่ 3.14 (ข) ลักษณะของเครื่องที่ใช้ในการทดสอบความแข็ง

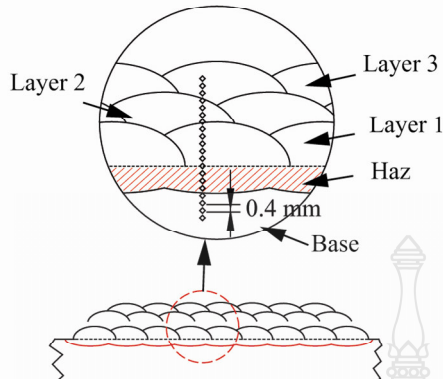


ก) การวางแผนงานข้างกับทิศทางการหมุน  
ข) การวางแผนงานบนกับทิศทางการหมุน

รูปที่ 3.12 ขั้นตอนการขัดด้วยกระดาษทราย



รูปที่ 3.13 ตำแหน่งการตรวจสอบโครงสร้างทางโลหะวิทยา



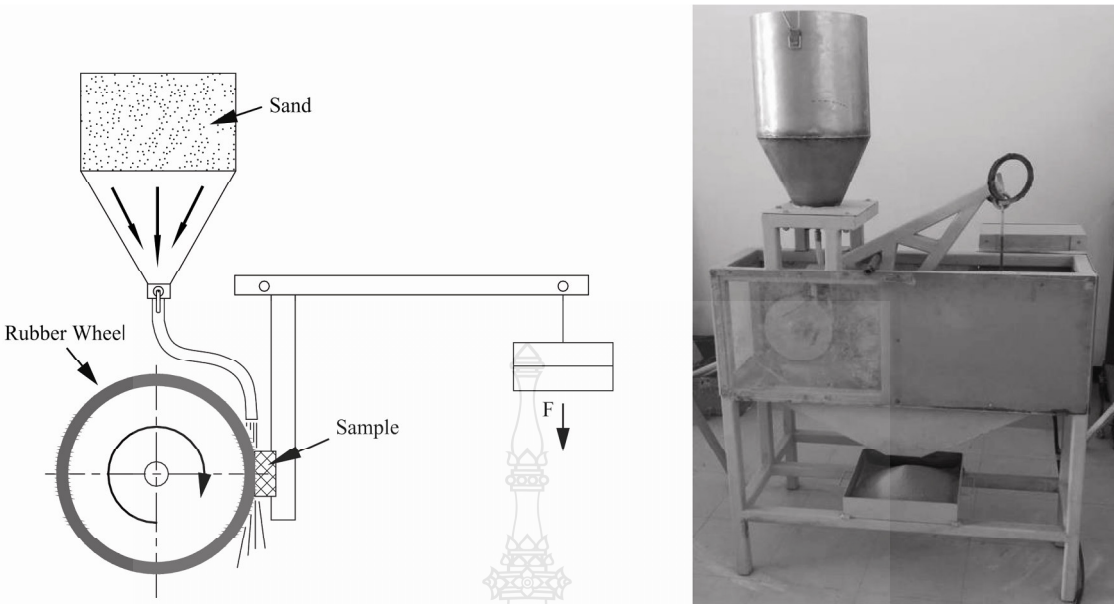
ก) บริเวณต่อเนื่องทดสอบ



ข) เครื่องทดสอบความแข็ง

รูปที่ 3.14 ขั้นตอนการทดสอบความแข็ง

4) การทดสอบอัตราการสึกกร่อนของรอยเชื่อมครั้งนี้เป็นการทดสอบแบบแห้ง (Dry Sand Rubber Wheel :DSRW) ตามมาตรฐานการทดสอบ ASTM G65 และดังรูปที่ 3.15 (ก) ทรายที่ใช้ในการทดสอบเป็นทรายแม่น้ำทำการอบที่อุณหภูมิ  $100^{\circ}\text{C}$  เป็นเวลา 1 ชั่วโมง เพื่อขัดความชื้นภายในทราย จากนั้นปล่อยให้เย็นตัวในอุณหภูมิห้อง แล้วจึงทำการร่อนด้วยตะแกรงขนาด 80 เมช การทดสอบการสึกกร่อนครั้งนี้ใช้อัตราการไหลดของทราย 300-400 กรัมต่อนาที ระยะเวลาทดสอบ 4309 เมตร น้ำหนักที่ใช้กดชิ้นทดสอบ 130 นิวตัน (13 กิโลกรัม) ความเร็วรอบ 200 รอบต่อนาที ลักษณะเครื่องทดสอบการสึกกร่อนแสดงดังรูปที่ 3.15 (ข)



ก) กลไกการทำการทดสอบการสึกกร่อน  
(Dry Sand Rubber Wheel : DSRW)

ข) เครื่องทดสอบการสึกกร่อน  
(Dry Sand Rubber Wheel : DSRW)

**รูปที่ 3.15 การทดสอบการสึกกร่อน (Dry Sand Rubber Wheel : DSRW) ตามมาตรฐานการทดสอบ ASTM G65 [27]**

5) การตรวจสอบสวนผสานทางเคมีและวิเคราะห์ปริมาณชาตุรูปที่ 3.16 ได้แสดงถึงขนาดของชิ้นงานการตรวจสอบส่วนผสานทางเคมีและวิเคราะห์ปริมาณชาตุตรวจสอบโดยจะทำการตรวจสอบตัวแหน่งบริเวณพื้นที่หน้าตัดกึ่งกลางแนวเชือมพอกผิวแข็งพื้นที่ผิวชั้นที่ 3 ตรวจสอบส่วนผสานทางเคมีจะแบ่งได้เป็น 2 แบบคือการวิเคราะห์เชิงคุณภาพ (Qualitative-Analysis) จะทำการตรวจสอบในตำแหน่งพื้นที่กำหนด และการวิเคราะห์เชิงปริมาณ (Quamitative Andys) โดยทำการตรวจสอบในบริเวณพื้นที่เพลที่มีความแตกต่างกันการตรวจสอบสวนผสานทางเคมีในงานวิจัยนี้โดยการใช้กล้องจุลทรรศน์อิเล็กtronแบบส่องกล้อง



รูปที่ 3.16 กล้องจุลทรรศน์อิเล็กตรอนในโครงสร้างแบบส่องการดู

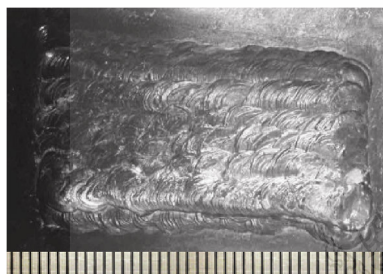


## บทที่ 4

### ผลการทดลองและการอภิปรายผลการวิจัย

อิทธิพลของอุณหภูมิการอุ่นชิ้นงานก่อนการเชื่อม  $50-450^{\circ}\text{C}$  ด้วยการเชื่อมพอกผิวแข็งชิ้นงานเหล็กกล้าคาร์บอน S50C ด้วยการเชื่อมที่มีการสร้างชั้นรองพื้นและไม่มีชั้นรองพื้นก่อนการเชื่อมพอกผิวแข็งจำนวนชั้นพอกผิวแข็ง 1-3 ชั้นและใช้กระแสเชื่อมแรมแพร์เจกผลการทดลองสามารถอธิบายได้ดังนี้

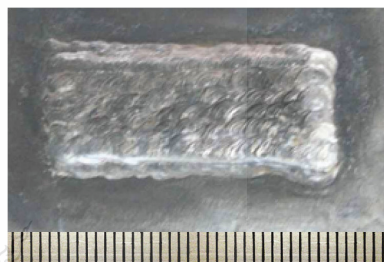
#### 4.1 อิทธิพลของจำนวนชั้นพอกผิวแข็งต่อผิวน้ำหนาแนวนี้เชื่อม



ก) พอกผิวแข็งที่กระแสเชื่อม 100 A  
อุณหภูมิระหว่างเที่ยวเชื่อม  $150^{\circ}\text{C}$



ค) พอกผิวแข็งที่กระแสเชื่อม 100 A  
อุณหภูมิระหว่างเที่ยวเชื่อม  $250^{\circ}\text{C}$



ข) พอกผิวแข็งที่กระแสเชื่อม 100 A  
อุณหภูมิระหว่างเที่ยวเชื่อม  $50^{\circ}\text{C}$



ง) พอกผิวแข็งที่กระแสเชื่อม 100 A  
อุณหภูมิระหว่างเที่ยวเชื่อม  $350^{\circ}\text{C}$



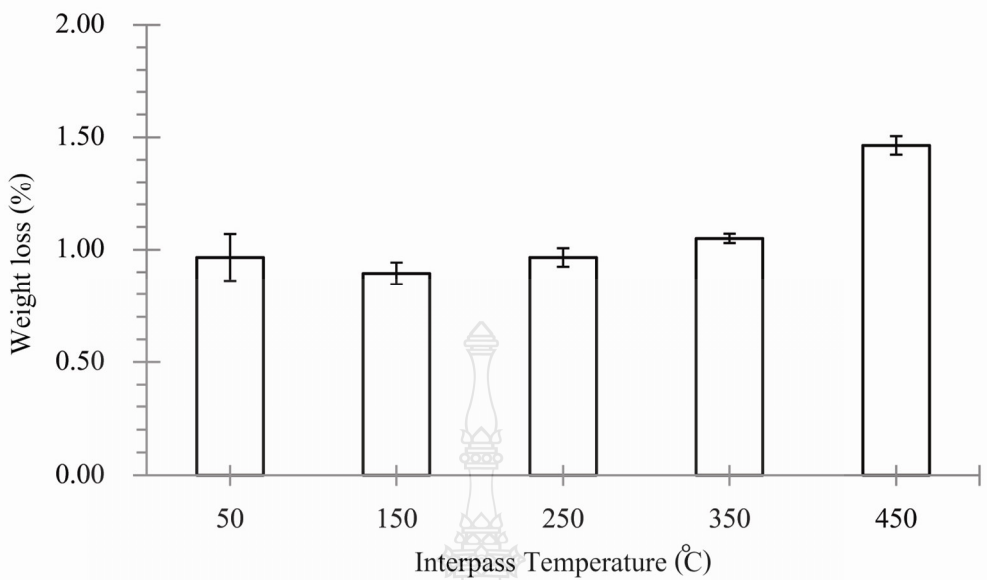
จ) พอกผิวแข็งที่กระแสเชื่อม 100 A  
อุณหภูมิระหว่างเที่ยวเชื่อม  $450^{\circ}\text{C}$

รูปที่ 4.1 แสดงผิวน้ำหนาของชิ้นงานที่เชื่อม

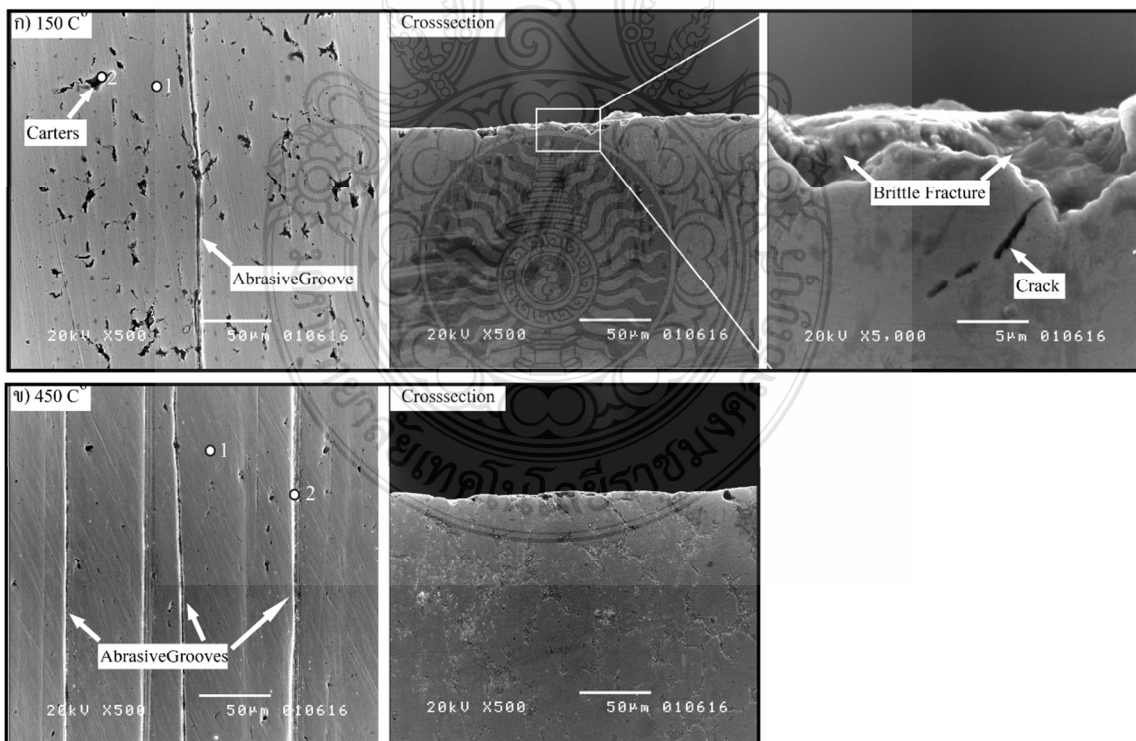
รูปที่ 4.1 แสดงผิวน้ำของชิ้นงานที่เชื่อมด้วยการเชื่อมอาร์กเคลตกระแทกเชื่อม 90 แอมป์ร์ ที่มีการเชื่อมพอกผิวแข็ง 1-3 ชั้นบนชิ้นงานที่ได้มีการเชื่อมชั้นรองพื้นและชิ้นงานที่ไม่มีการเชื่อมรองพื้นผลการตรวจสอบพบว่าผิวน้ำแนวนี้เชื่อมที่มีความสมบูรณ์ไม่เกิดจุดบกพร่อง เช่นรูตามดหรือความไม่สมบูรณ์ใดๆ บนผิวน้ำแนวนี้เชื่อมที่เชื่อมรองพื้นก่อนเชื่อมสามารถตรวจพบ เช่นเดียวกันอย่างไรก็ตามชิ้นงานเชื่อมที่ได้พบว่ามีเม็ดโลหะที่กระเด็นออกจากบ่อหลอมละลายมาเกาะที่พื้นชิ้นงานดังแสดงด้วยวงกลมในรูปที่ 4.1 (ข)

#### 4.2 ผลการทดสอบอัตราการสึกกร่อนกับอุณหภูมิระหว่างเที่ยวเชื่อม

รูปที่ 4.2 แสดงผลการทดสอบอัตราการสึกกร่อนของรอยเชื่อมที่อุณหภูมิการอุ่นชิ้นงานก่อนการเชื่อม 50-450 °C โดยใช้กระแสเชื่อมที่ บันเหล็กกล้า JIS S50C พบว่าการเชื่อมพอกผิวแข็งแบบไม่มีชั้นรองพื้นด้วยอุณหภูมิระหว่างเที่ยวเชื่อมเริ่มต้นที่ 50 °C มีค่าการสึกกร่อนของการสูญเสียน้ำหนักของชิ้นงานทดสอบคิดเป็นเบอร์เซ็นต์ประมาณ 0.96 % และเมื่อทำการทดสอบชิ้นงานที่ทำการเชื่อมด้วยอุณหภูมิระหว่างเที่ยวเชื่อมที่เพิ่มสูงขึ้นคือ 150 °C พบว่ามีแนวโน้มทบท่อการสึกกร่อนสูงที่สุดมีค่าประมาณ 0.89 % โดยแสดงกราฟค่าอัตราการสึกกร่อนมีแนวโน้มลดลง ขณะที่ทำการเพิ่มอุณหภูมิระหว่างเที่ยวเชื่อมเพิ่มสูงขึ้นเป็น 250 350 และ 450 °C พบว่ามีแนวโน้มของทนต่อการสึกกร่อนต่ำตามอุณหภูมิที่เพิ่มสูงขึ้น 0.96, 1.05 และ 1.46 % ตามลำดับ โดยแสดงกราฟผลการทดสอบการสึกกร่อนที่ 250-450°C เพิ่มขึ้นตามอุณหภูมิระหว่างเที่ยวเชื่อม อย่างไรก็ตามชิ้นงานเชื่อมพอกผิวแข็งที่ให้เบอร์เซ็นต์ค่าอัตราการสึกกร่อนต่ำกับอุณหภูมิระหว่างเที่ยวเชื่อมค่า ขณะที่อัตราการสึกกร่อนที่ให้ค่าเบอร์เซ็นต์สูงตามอุณหภูมิระหว่างเที่ยวเชื่อมที่เพิ่มสูงขึ้นอาจเกิดจากการความแตกต่างของโครงสร้างจุลภาค [15]



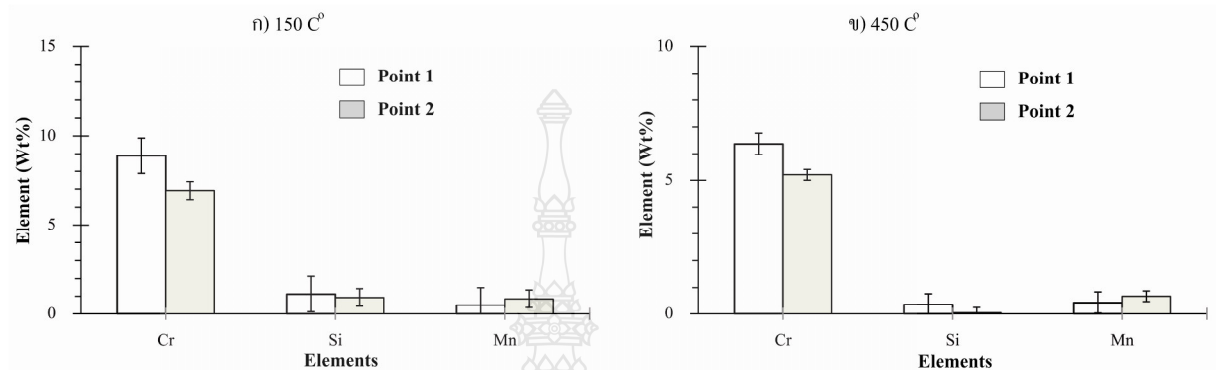
รูปที่ 4.2 ความสัมพันธ์ระหว่างอัตราการสึกกร่อนกับอุณหภูมิระหว่างเที่ยงช่วงการเชื่อมแบบไม่มีชั้นรองฟืน



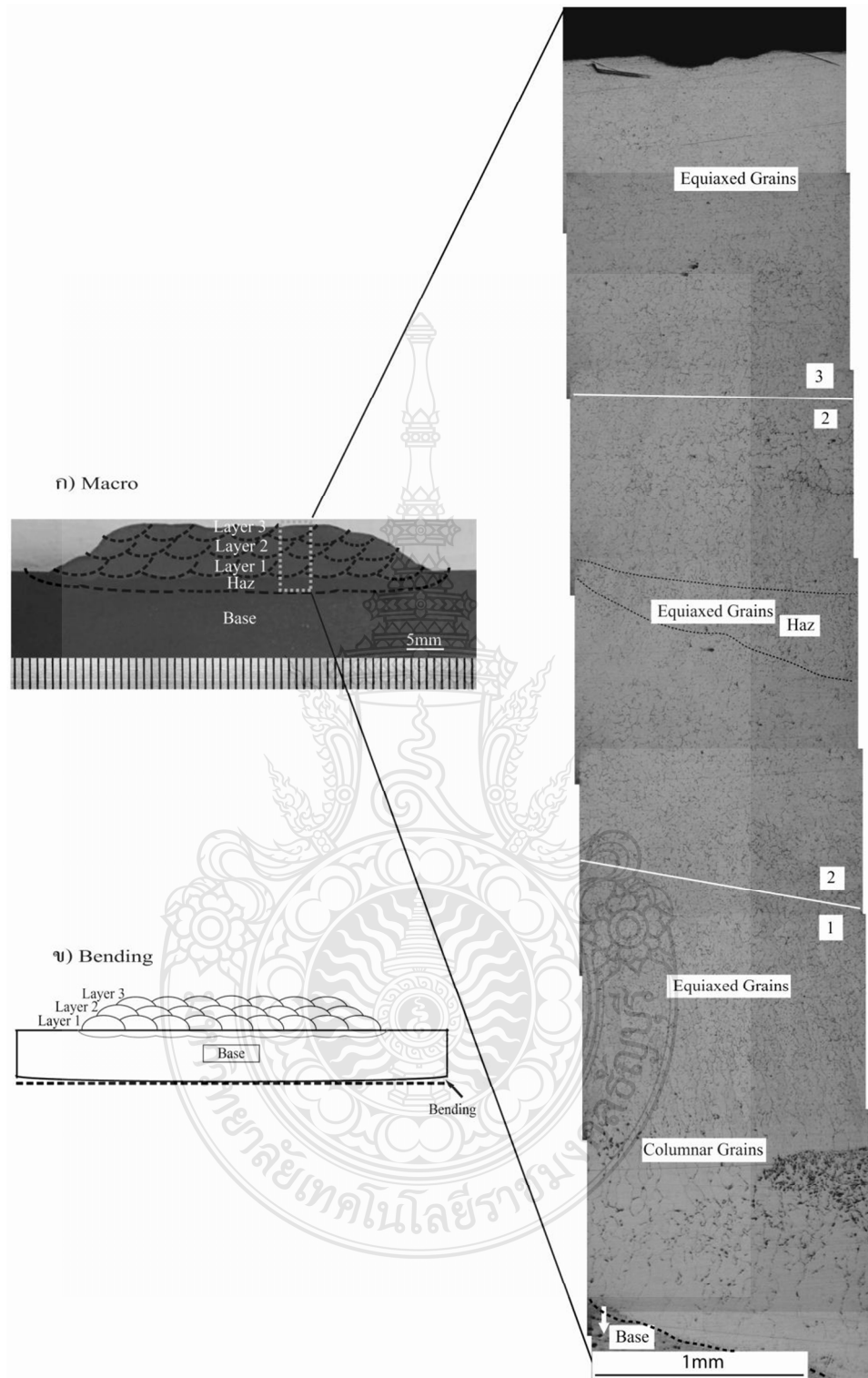
รูปที่ 4.3 ผลการตรวจสอบภาพถ่ายด้วยกล้องจุลทรรศน์อิเล็กตรอนแบบส่องการดู (Scanning Electron Microscope : SEM)

รูปที่ 4.3 แสดงร้อยของการสึกกร่อน (Wear Trace) ด้วยการตรวจสอบด้วยภาพถ่ายกล้องจุลทรรศน์อิเล็กตรอนแบบส่องความทึบกำลังขยาย 500 เท่า ใน การเชื่อมอุณหภูมิระหว่างเที่ยวเชื่อม 50-450 °C กระแสไฟ 100 A พบร่องรอยสึกกร่อนแบบเส้นที่ให้ค่าอัตราการสึกกร่อนต่ำที่สุด คือ อุณหภูมิระหว่างเที่ยวเชื่อม 150 °C แสดงดังรูปที่ 4.3 (ก) ลักษณะของรอยสึกกร่อนมีลักษณะเป็นหลุม (Craters) [16] เล็กใหญ่กระจายไปบนผิวอย่างทั่วไปจากนั้นยังพบลักษณะของการสึกกร่อนเกิดขึ้นเป็นร่อง (Grooves)[16] ตามทิศทางการไหลของทรายแสดงดังลูกศรชี้ในรูปที่ 4.3 (ก) อย่างไรก็ตามการเกิดหลุมเล็กใหญ่บนผิวอย่างสึกกร่อนเกิดจากการเคลื่อนที่ของคาร์ไบด์ [16] และเมื่อทำการตรวจสอบรอยสึกกร่อนบริเวณหน้าตัดขวาง (Cross-section) ของผิวสึกกร่อนดังรูปที่ 4.3 (ก Cross-section) พบร่วมกันลักษณะเป็นหลุมตามขอบผิวสึกกร่อนและเมื่อทำการตรวจสอบด้วยกำลังขยาย 5000 เท่า บริเวณรอยหลุมสึกกร่อนบริเวณเดียวกันสีเหลืองสีขาว พบร่องรอยสึกกร่อน มีลักษณะการพังทลายแบบเปราะ (Brittle Fracture) [17] และเกิดรอยแตก (Crack) [17] แสดงดังลูกศรสีขาวชี้ และเมื่อทำการตรวจสอบชิ้นงานเปรียบเทียบกับชิ้นงานเชื่อมพอกผิวแข็งที่ให้ค่าอัตราการสึกกร่อนสูงที่อุณหภูมิระหว่างเที่ยวเชื่อม 450 °C พบร่องรอยสึกกร่อนมีลักษณะเป็นร่องหลาๆ เส้นตามทิศทางการหมุนของล้อขัดและการไหลของทรายดังรูปที่ 4.3 (ข) ลูกศรชี้ และตรวจสอบบริเวณหน้าตัดขวางของผิวสึกกร่อนพบว่ามีลักษณะของรอยหลุมเล็ก อย่างไรก็ตามได้ทำการตรวจสอบการวิเคราะห์ชาตุเชิงพลังงาน (Energy Dispersive Spectroscopy:EDS) บริเวณรอยหลุมและร่องสึกกร่อนและพื้นที่เรียบบริเวณผิวสึกกร่อน พบว่า ชิ้นงานที่ให้ค่าอัตราการสึกกร่อนต่ำ คือ อุณหภูมิระหว่างเที่ยวเชื่อม 150 °C พบร่องบริเวณพื้นที่ผิวสึกกร่อนแบบเรียบดังตำแหน่งการตรวจสอบ Point 1 รูปที่ 4.3 (ก) มีปริมาณของชาตุโลหะ คือ โครเมียม (Cr) ซิลิกอน (Si) และแมงกานีส (Mn) สูงกว่าบริเวณพื้นที่ผิวสึกกร่อนแบบหลุมแสดงตำแหน่งการตรวจสอบ Point 2 รูปที่ 4.3 (ก) และแสดงผลการวิเคราะห์ชาตุเชิงพลังงานเปรียบเทียบกับชิ้นงานที่มีค่าอัตราการสึกกร่อนสูงบริเวณผิวของการสึกกร่อนพบว่าตำแหน่งการตรวจสอบ Point 1 บริเวณพื้นที่เรียบดังรูปที่ 4. (ข) มีปริมาณของชาตุโครเมียม ซิลิกอนและแมงกานีส สูงกว่าตำแหน่งการตรวจสอบ Point 2 รูปที่ 4.3 (ข) โดยแสดงผลการวิเคราะห์ชาตุเชิงพลังงานดังรูปที่ 4.4 (ข) อย่างไรก็ตามเมื่อเปรียบเทียบส่วนผสมของชาตุ โครเมียม ซิลิกอน และแมงกานีสของชิ้นงานเชื่อมพอกผิวแข็งอุณหภูมิระหว่างเที่ยวเชื่อม 150 °C ที่มีอัตราการสึกกร่อนต่ำ และชิ้นงานเชื่อมพอกผิวแข็งอุณหภูมิระหว่างเที่ยวเชื่อม 450 °C ที่มีอัตราการสึกกร่อนสูง

พบว่าอุณหภูมิระหว่างเที่ยวเชื่อม  $150^{\circ}\text{C}$  มีปริมาณของชาตุโครเมียม ซิลิกอนและแมงกานีสสูงกว่า และส่วนผลต่อการถักกร่อนดี



รูปที่ 4.4 ผลการวิเคราะห์ชาตุเรืองพลังงาน (Energy Dispersive Spectroscopy:EDS)

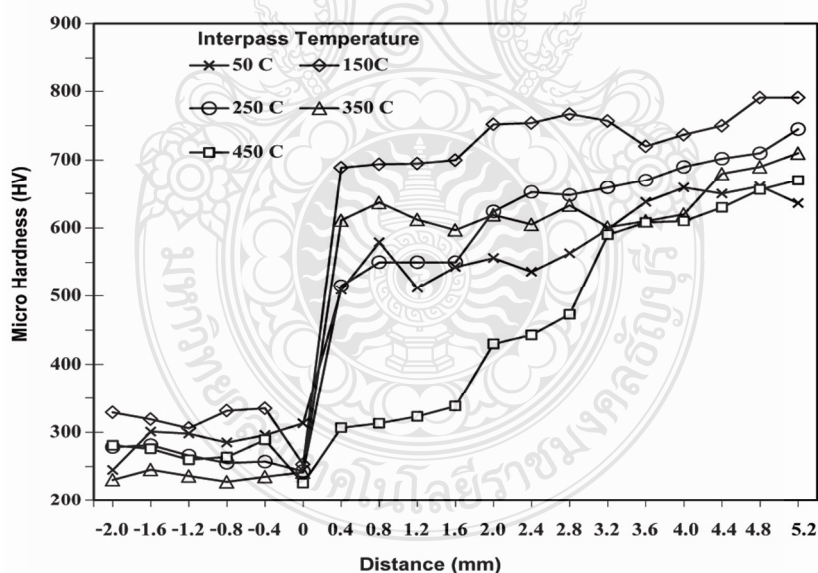


รูปที่ 4.5 การตรวจสอบโครงสร้างของพื้นผิวชิ้นงานที่กระแทกเชื่อม 100 A อุณหภูมิระหว่างเที่ยวเชื่อม 150 °C

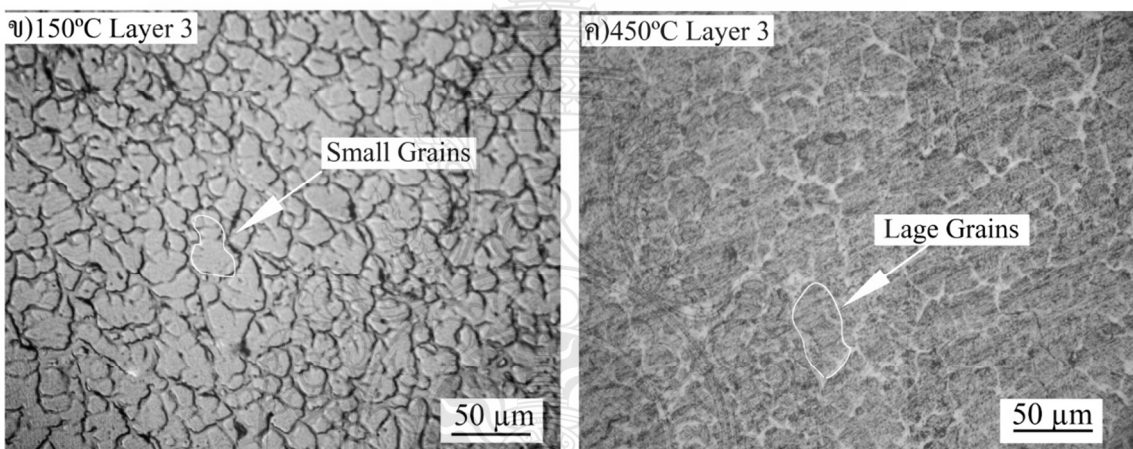
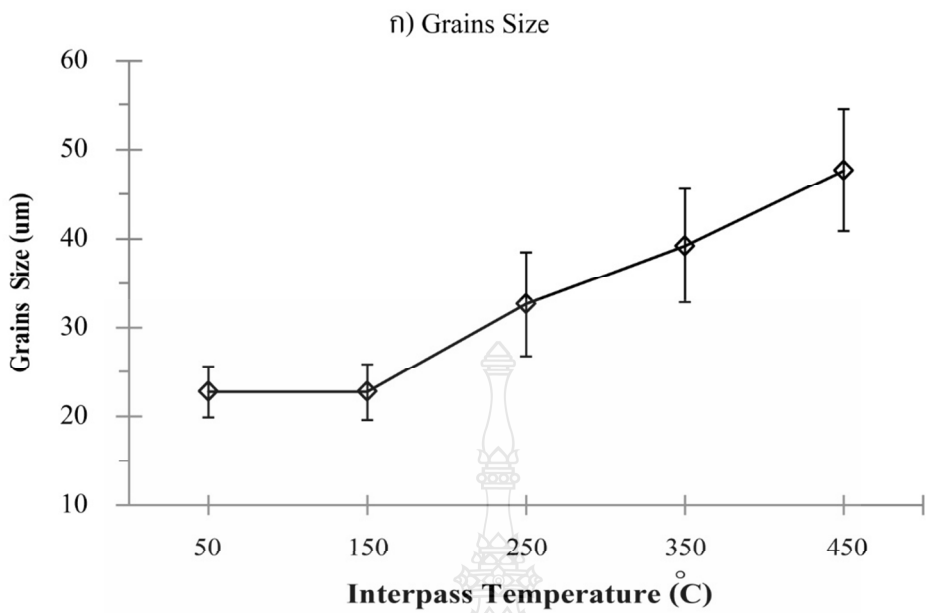
รูปที่ 4.5 (ก) แสดงการตรวจสอบโครงสร้างห้าภาคของแนวเชื่อมพอกผิวแข็งกระแส เชื่อม 100 A กับอุณหภูมิระหว่างเที่ยวเชื่อม 150 °C ที่ผ่านดัดขวางแนวเชื่อมชั้นพอกผิวแข็ง การตรวจสอบพบว่าผิวน้ำรอยเชื่อม (Weld face) แนวเชื่อมมีการเกยทับของแต่ละแนวเชื่อมมีความสม่ำเสมอ และไม่พบจุดบกพร่องชนิดรู (Void) ภายในรอยเชื่อมของชั้นพอกผิวแข็งชั้นที่ 1-3 ที่เกิดจากการหลอมละลายไม่สมบูรณ์ ส่วนแนวเชื่อมพอกผิวแข็งที่อุณหภูมิระหว่างเที่ยวเชื่อม 50 °C และ 250-450 °C ไม่พบจุดบกพร่องเช่นกันแสดงรูปดังในภาคผนวก ก และทำการตรวจสอบด้วยกล้องจุลทรรศน์แบบใช้แสงที่กำลังขยาย 50 เท่า ที่แสดงตำแหน่งบริเวณตรวจสอบด้วยเส้นปะจากด้านบนของชั้นที่ 3 ลงมาผ่านชั้นที่ 2 และชั้นที่ 1 จนถึงบริเวณขอบรอยต่อระหว่างโลหะเชื่อมกับโลหะฐาน พบว่า บริเวณแนวเชื่อมชั้นที่ 3 กับ ชั้นที่ 2 พบร่องบริเวณนี้เกรนมีความกลมสม่ำเสมอ (Equiaxed Grains) และเมื่อสังเกตบริเวณของแนวเชื่อมชั้นที่ 2 ที่บริเวณแนวเชื่อมถูกเชื่อมซ้อนทับแนว (Multipass) จนเกิดบริเวณพื้นที่เล็กๆ เรียกว่าบริเวณกระแทบร้อน (Haz) [16] พบร่องบริเวณนี้มีความละเอียดเพิ่มมากขึ้นแสดงดังรูปที่ 4.8 (ก) ที่กำลังขยาย 50 เท่า โดยขนาดเม็ดเกรนที่มีความละเอียดอาจส่างผลต่อค่าความแข็งที่ทำการทดสอบเพิ่มขึ้นบริเวณกระแทบร้อน (Haz) และเมื่อทำการตรวจสอบมาถึงบริเวณจุดเริ่มต้นรอยต่อระหว่างโลหะเชื่อมกับโลหะฐาน พบร่องบริเวณมีรูปร่างไข่ และเรียวยาว (Columnar Grains) ซึ่งอาจส่างผลต่อค่าความแข็งบริเวณเฟสนี้ต่ำในการเชื่อมพอกผิวแข็งของ Fe-Cr-C [17] ขณะที่ทำการตรวจสอบด้วยสายตาของชิ้นงานเชื่อมพอกผิวแข็งที่อุณหภูมิระหว่างเที่ยวเชื่อม 50-450 °C พบร่องชิ้นงานเชื่อมพอกผิวแข็งที่ผ่านการเชื่อมด้วยอุณหภูมิระหว่างเที่ยวเชื่อม ต่างกัน ชิ้นงานเชื่อมพอกผิวแข็งเกิดการแอลอตัวโลหะอเกิดขึ้นทั้งสองด้านและแสดงรูปจำลองการแอลอตัวโลหะดังรูปที่ 4.5 (ข) และทำการวัดการแอลอตัวโลหะของอุณหภูมิระหว่างเที่ยวเชื่อม 50-450 °C พบร่องมีค่าการแอลอตัวโลหะมีค่าประมาณ 1 องศา ทุกอุณหภูมิระหว่างเที่ยว

รูปที่ 4.6 กราฟแสดงผลการทดสอบความแข็งของอุณหภูมิระหว่างเที่ยวเชื่อม 50-450°C การเชื่อมแบบไม่มีชั้นรองพื้นที่กระแสเชื่อม 100A พบว่า ที่ตำแหน่งการทดสอบ 0 คือบริเวณเส้นรอยต่อระหว่างโลหะเชื่อมกับโลหะฐาน มีค่าความแข็งประมาณ 220 -300 HV และเมื่อทำการทดสอบลงไประบินเข้าใกล้โลหะฐานประมาณ -2 พบร่องค่าความแข็งของทุกสภาวะอุณหภูมิระหว่างเที่ยวเชื่อมมีค่าความแข็งใกล้เคียงกัน และเมื่อทำการทดสอบบริเวณโลหะเชื่อมของชั้นพอกผิวแข็งชั้นที่ 1 ที่บริเวณตำแหน่งตั้งแต่ 0 ถึง 1.6 พบว่าค่าความแข็งมีแนวโน้มเพิ่มสูงขึ้น และเมื่อทำการทดสอบเข้าใกล้ชั้นพอกผิวแข็งชั้นที่ 2 จนถึงชั้นพอกผิวแข็งชั้นที่ 3 ที่บริเวณตำแหน่งก่อทดสอบ 1.6 ถึง 5.2 พบร่องค่าความแข็งของอุณหภูมิระหว่างเที่ยวเชื่อมทุกสภาวะมีค่าความแข็งแนวโน้มเพิ่มสูงขึ้นตามจำนวนชั้นพอกผิวแข็งที่เพิ่มขึ้น โดยชิ้นงานเชื่อมพอกผิวแข็งที่มีค่าความแข็งสูงสุดคืออุณหภูมิ

ระหว่างเที่ยวเชื่อมที่  $150^{\circ}\text{C}$  มีค่าความแข็งของผิวพอกแข็งประมาณ 790 HV การที่มีค่าความแข็งของชั้นเชื่อมพอกผิวแข็งชั้นที่ 1 และชั้นที่ 2 กับชั้นที่ 3 ต่างกันเกิดจากการเปลี่ยนแปลงขนาดรูปร่างของเม็ดกร恩ที่ต่างกันบริเวณชั้นพอกผิวแข็งส่งผลต่อค่าความแข็งต่างกันดังแสดงรูปร่างของเม็ดกร恩ที่ต่างกันดังรูปที่ 4.7 (ก) และความแตกต่างขององค์ประกอบทางเคมีที่เกิดขึ้นจากการเปลี่ยนแปลงของระดับการเจือจาง [18] ในชั้นโลหะเชื่อมพอกผิวแข็งส่งผลต่อกำลังแข็งต่างกัน อย่างไรก็ตามเมื่อทำการเปรียบเทียบค่าความแข็งของผิวพอกแข็งที่อุณหภูมิระหว่างเที่ยวเชื่อมต่างกันพบว่า อุณหภูมิระหว่างเที่ยวเชื่อมส่งผลต่อกำลังแข็งในโลหะเชื่อมพอกผิวแข็งต่ำ อย่างไรก็ตามได้ทำการตรวจสอบวัดขนาดของเม็ดกร恩ของอุณหภูมิระหว่างเที่ยวเชื่อม  $50\text{-}450^{\circ}\text{C}$  แสดงดังรูปที่ 4.8 (ก) แสดงกราฟการเปรียบเทียบการวัดขนาดเม็ดกร恩ของโลหะเชื่อมชั้นที่ 3 ด้วยโปรแกรม Image J พบว่า การเชื่อมที่มีอุณหภูมิระหว่างเที่ยวเชื่อมต่ำ  $50$  และ  $150^{\circ}\text{C}$  พบร่วมขนาดของรูปร่างของเม็ดกร恩 มีขนาดเล็ก (Small Grains) ประมาณ  $22 \mu\text{m}$  กระจายตัวสม่ำเสมอ分布บริเวณโลหะเชื่อมชั้นที่ 3 แสดงตัวอย่างดังรูปที่ 4.8 (ก) ขณะที่การเชื่อมที่ให้อุณหภูมิระหว่างเที่ยวเชื่อมสูงตั้งแต่  $250\text{-}450^{\circ}\text{C}$  การตรวจสอบพบว่าขนาดรูปร่างของเม็ดกร恩มีแนวโน้มขนาดใหญ่ขึ้น วัดขนาดของเม็ดกร恩มีค่าเฉลี่ยประมาณสูงสุดประมาณ  $47 \mu\text{m}$  ที่อุณหภูมิระหว่างเที่ยวเชื่อม  $450^{\circ}\text{C}$  แสดงดังรูปที่ 4.6 (ก) ตามลำดับ



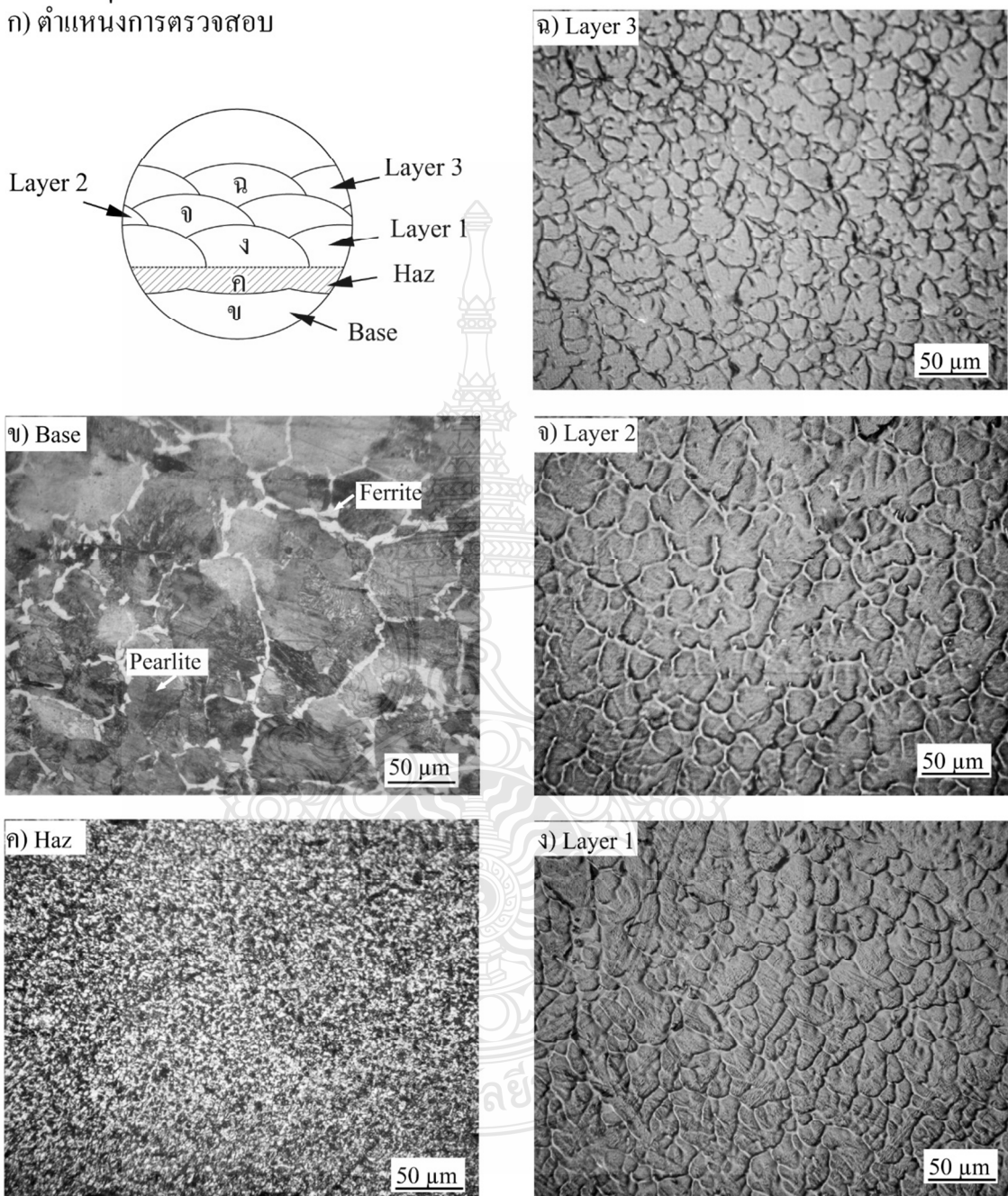
รูปที่ 4.6 ผลการทดสอบความแข็งของอุณหภูมิระหว่างเที่ยวเชื่อม  $50\text{-}450^{\circ}\text{C}$  การเชื่อมแบบไม่มีชั้นรองฟืน



รูปที่ 4.7 การวัดขนาดรูปร่างของเม็ดเกรน (ก) ขนาดเม็ดเกรน (ข) บริเวณโลหะเชื่อมพอกผิวแข็งชั้นที่ 3 อุณหภูมิระหว่างเที่ยงเชื่อม  $150^{\circ}\text{C}$  และ(ค) บริเวณโลหะเชื่อมพอกผิวแข็งชั้นที่ 3 อุณหภูมิระหว่างเที่ยงเชื่อม  $450^{\circ}\text{C}$

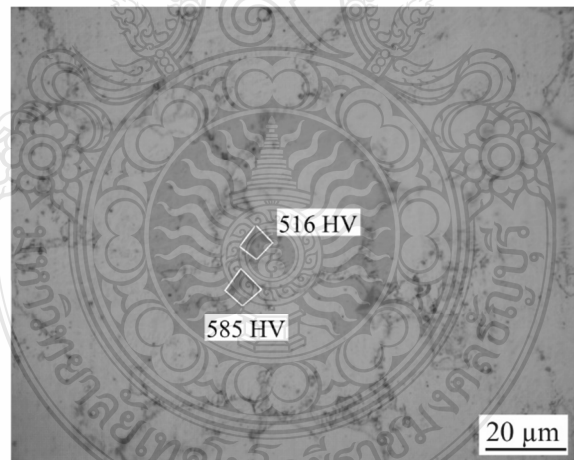
รูปที่ 4.8 (ก) แสดงตำแหน่งการตรวจสอบโครงสร้างจุลภาคของโลหะเชื่อมพอกผิวแข็งที่มีค่าอัตราการสึกกร่อนต่ำ คืออุณหภูมิระหว่างเที่ยงเชื่อม  $150^{\circ}\text{C}$  ที่ใช้กระแสในการเชื่อม  $100\text{ A}$  พบว่าโครงสร้างจุลภาคบริเวณโลหะชั้นงาน เกิดโครงสร้างเฟสเพริลไ蕊ต์และเฟสเฟอร์ไ蕊ต์ [19] ดังกล่าวสรุปที่ 4.8 (ข) และเมื่อตรวจสอบบริเวณพื้นที่กระแทบร้อนของโลหะเชื่อม พูฟเฟสเฟอร์ไ蕊ต์ และเฟสเพริลไ蕊ต์มีขนาดเล็กลงการที่ขนาดของเฟสเล็กลงเกิดความร้อนจากการเชื่อมส่งผลให้ขนาดและรูปร่างของเฟสเฟอร์ไ蕊ต์และบริเวณพื้นที่กระแทบร้อนมีขนาดเล็กลงเฉียบแหลมมาก

หั้งพื้นที่กระทำร้อน [20] ดังรูปที่ 4.8 (ค) บริเวณเนื้อเชื่อม (Weld) ชั้นที่ 1 รูปที่ 4.8 (จ) ตรวจสอบปราภกูໂຄຮ່າງແນບເດັ່ນໄດຣຕໍ່ ບຣິເວນຂອບເກຣນປຣັກູຟີສໂຄຮ່າມເຄົ່າໃນດົມລັກຍະນະຄລ້າຍກິ່ງກ້ານ  
ກ) ຕຳແໜ່ງການຕັບສອບ

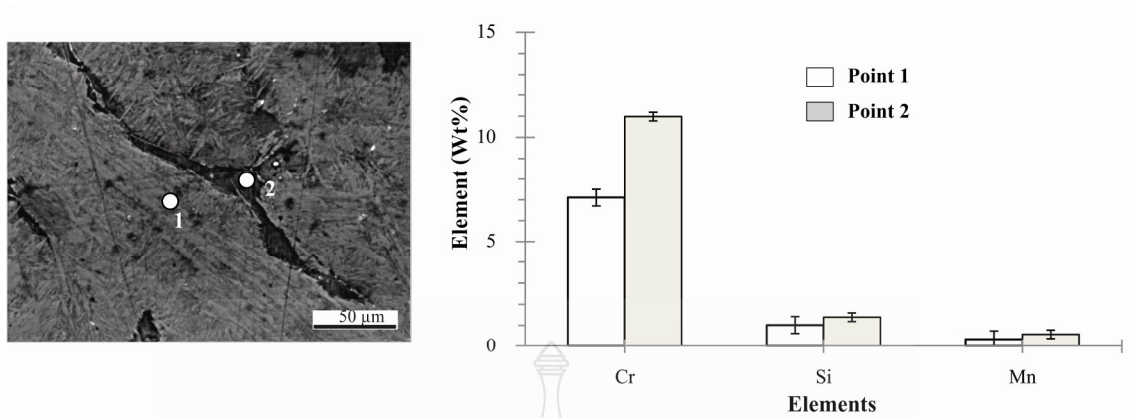


ຮູບທີ 4.8 ການຕັບສອບໂຄຮ່າງຈຸດການພອກຜົວແຂົງ 3 ຂັ້ນ ອຸ່ນຫຼຸມມະຫວາງເຖິງຂາເຊື່ອມ 150 °C ທີ່ໃຊ້  
ກຮະເສີໃນການເຊື່ອມ 100 A

ของด้านไม้ลักษณะการกระจายตัวของเกรนไม่สม่ำเสมอ รูปที่ 4.8 (จ) แสดงโครงสร้างจุลภาคบริเวณเนื้อเชื่อมชั้นที่ 2 ลักษณะเกรนที่ลักษณะเรียบ ปรากฏาเฟล โครเมียมcarbide คั่งกระจายในโครงสร้าง รูปที่ 4.8 (ฉ) แสดงโครงสร้างจุลภาคบริเวณเนื้อเชื่อมชั้นที่ 3 ลักษณะเกรนมีขนาดเล็กกลมบริเวณขอบเกรน ปรากฏาเฟล โครเมียมcarbide คั่งสีขาวมีขนาดที่เล็กและยาวแทรกอยู่ตามขอบเกรน อย่างไรก็ตาม ได้ทำการทดสอบความแข็งบริเวณโครงสร้างจุลภาคบริเวณเนื้อเชื่อมชั้นที่ 3 โดยใช้แรงในการกดทดสอบ 25 gf บริเวณพื้นที่ปรากฏาเฟลสีขาวแทรกตัวตามขอบเกรน พบว่ามีความประมาณ 585 HV ขณะที่ทำการทดสอบบริเวณพื้นที่ที่ไม่มีเฟลสีขาวแทรกตัวตามขอบเกรนพบว่ามีค่าความแข็งประมาณ 516 HV แสดงดังรูปที่ 4.8 อย่างไรก็ตาม เมื่อเปรียบเทียบค่าความแข็งพบว่าพื้นที่ปรากฏาเฟลสีขาวแทรกตัวตามขอบเกรนมีค่าความสูงกว่าบริเวณพื้นที่ที่ไม่มีเฟลสีขาวแทรกตัวตามขอบเกรน และรูปที่ 4.10 แสดงผลการวิเคราะห์ชาตุเชิงพลังงาน โลหะเชื่อมพอกผิวแข็งชั้นที่ 3 อุณหภูมิระหว่างเทียบเชื่อม 150 °C ที่ใช้กระแสในการเชื่อม 100 A ที่บริเวณพื้นที่ที่ไม่มีเฟลสีขาว Point 1 พื้นที่เฟลสีขาวขอบเกรน ตำแหน่งทดสอบ Point 2 แสดงดังรูปที่ 4.9 และผลการวิเคราะห์ชาตุเชิงพลังงาน พบว่าพื้นที่เฟลสีขาวขอบเกรนตำแหน่งทดสอบ Point 2 มีปริมาณชาตุโกรเมียม ซิลิกอน และแมงกานีส สูงกว่าบริเวณพื้นที่ที่ไม่มีเฟลสีขาว Point 1 อย่างไรก็ตาม การเพิ่มขึ้นของชาตุโกรเมียม ส่งต่อค่าความแข็งสูง [19]



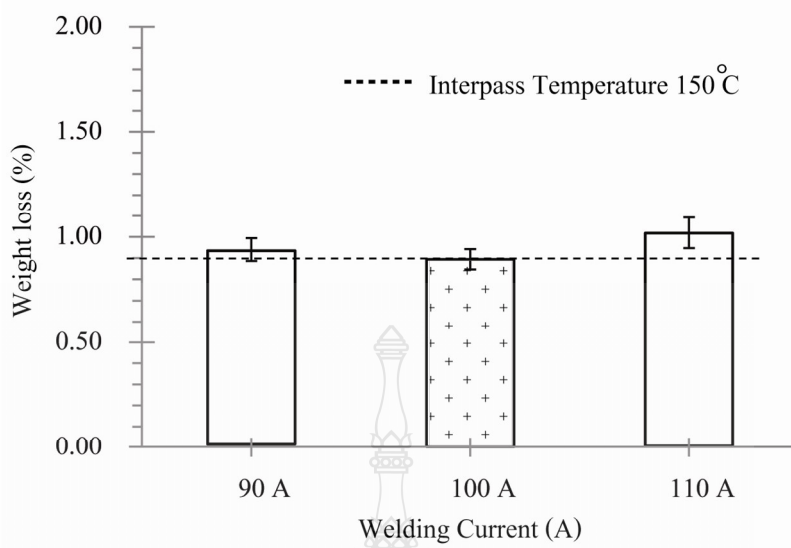
รูปที่ 4.9 รอยกดทดสอบความแข็ง โครงสร้างพอกผิวแข็ง 3 ชั้น อุณหภูมิระหว่างเทียบเชื่อม 150 °C ที่ใช้กระแสในการเชื่อม 100 A



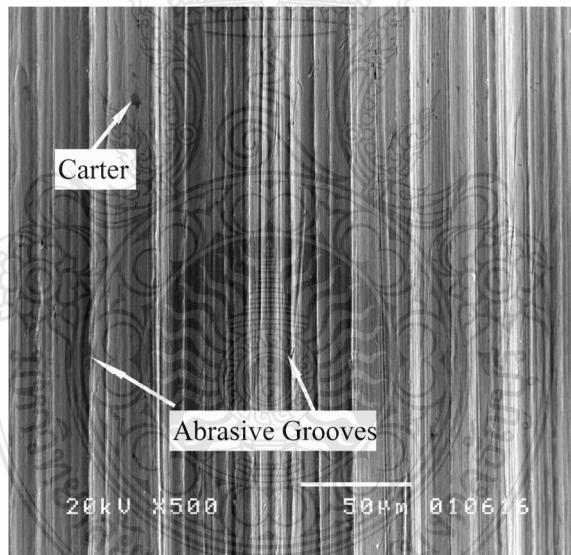
รูปที่ 4.10 ผลการวิเคราะห์ธาตุเชิงพลังงาน โลหะเชื่อมพอกผิวแข็งชั้นที่ 3 อุณหภูมิระหว่างเที่ยวเชื่อม 150 °C ที่ใช้กระแสในการเชื่อม 100 A

### 4.3 เปรียบเทียบการทดสอบอัตราการสึกกร่อนกับกระแสเชื่อม

รูปที่ 4.10 แสดงผลการทดสอบเปรียบเทียบระหว่างอัตราการสึกกร่อนกับกระแสที่ใช้ในการเชื่อม 90 และ 110A โดยนำอุณหภูมิระหว่างเที่ยวเชื่อม 150 °C ที่ผ่านเชื่อมด้วยกระแส 100 A ที่ให้ค่าอัตราการสึกกร่อนต่อชั่วโมงต่ำ และคีที่สุด ผลการทดสอบพบว่า เมื่อทำการทดสอบชิ้นงานเชื่อมพอกผิวแข็งที่กระแสเชื่อมต่ำ คือ กระแสเชื่อม 90 พบว่า อัตราการสึกกร่อนมีค่าแนวโน้มเพิ่มสูงขึ้นกว่าชิ้นงานที่ผ่านเชื่อมด้วยกระแสเชื่อม 100A โดยมีค่าอัตราการสึกกร่อนของชิ้นงานคิดเป็นเปอร์เซ็นต์ประมาณ 0.92 % อย่างไรก็ตามเมื่อทำการทดลองเชื่อมด้วยกระแสที่เพิ่มสูงขึ้นคือ กระแสเชื่อม 110A แล้วทำการทดสอบอัตราการสึกกร่อนพบว่า อัตราการสึกกร่อนมีค่าแนวโน้มสูงกว่าการใช้กระแสเชื่อม 90 และ 100 A โดยมีค่าอัตราการสึกกร่อนของกระแสเชื่อม 110A มีค่าอัตราการสึกกร่อนประมาณ 1.01 % อย่างไรก็ตามการที่กระแสเชื่อมเพิ่มสูงขึ้นมีผลต่ออัตราการสึกกร่อนสูง อาจส่งดอนขนาดและรูปร่างของเม็ดเกรนมีผลต่ออัตราการสึกกร่อนซึ่งคล้ายกับการที่อุณหภูมิระหว่างเที่ยวเชื่อมสูงผลของการสึกกร่อนมีแนวโน้มสูงขึ้นตามอุณหภูมิดังรูปที่ 4.6 (ก) และรูปที่ 4.11 แสดงร้อยละของการสึกกร่อนกระแสเชื่อม 90 A อุณหภูมิระหว่างเที่ยวเชื่อม 150 °C ด้วยการตรวจสอบด้วยภาพถ่ายกล้องจุลทรรศน์อิเล็กตรอนแบบส่องความทึบกำลังขยาย 500 เท่า พบว่าผิวรอยสึกกร่อนเกิดขึ้นเป็นร่องและเส้น ตามทิศทางการไหลของทรารยทดสอบดังลูกศรซึ่ และพบรอยสึกกร่อนมีลักษณะเป็นหลุมมีจำนวนน้อยบนผิวการสึกกร่อน ขณะที่ทำการตรวจสอบจุดบกพร่องในรอยเชื่อมที่ผ่านการตัดขวางแนวเชื่อมพอกผิวแข็งแสดงดังรูป 4.12 (ก) กระแสเชื่อม 90 A (ข) กระแสเชื่อม 110 A การตรวจสอบของแนวเชื่อมมีความสมบูรณ์ไม่พบจุดบกพร่องใดๆ ปรากฏเกิดขึ้นบนผิวแนวเชื่อม

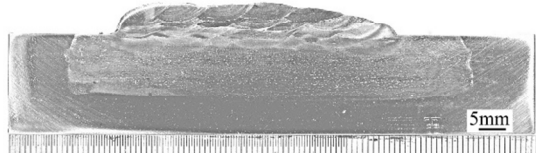


รูปที่ 4.11 ความสัมพันธ์ระหว่างอัตราการสึกกร่อนกับกระแสเชื่อม 90-110A กำหนดอุณหภูมิระหว่างเที่ยวเชื่อม  $150^{\circ}\text{C}$

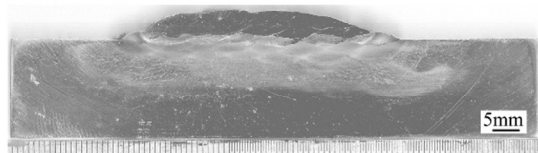


รูปที่ 4.12 ผลการตรวจสอบภาพถ่ายผิวสึกกร่อนกระแสเชื่อม 90 A อุณหภูมิระหว่างเที่ยวเชื่อม  $150^{\circ}\text{C}$  ด้วยกล้องจุลทรรศน์อิเล็กตรอนแบบส่องการดู

ก) กระแทสเชื่อม 90A

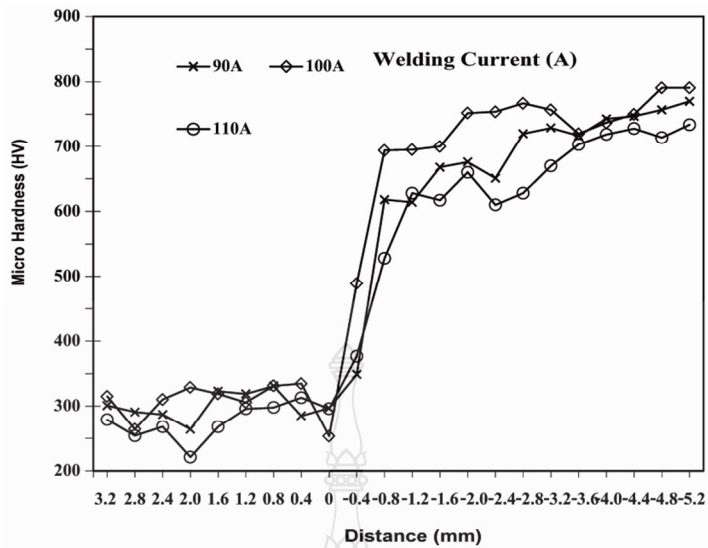


ข) กระแทสเชื่อม 110A



รูปที่ 4.13 โครงสร้างมหาภาคที่อุณหภูมิระหัสห่วงเที่ยวเชื่อม  $150^{\circ}\text{C}$  (ก) กระแทสเชื่อม 90 A (ข) กระแทสเชื่อม 110 A

รูปที่ 4.13 แสดงความสัมพันธ์ระหว่างกระแทสเชื่อม 90-110 A กับค่าความแข็งที่มีอุณหภูมิระหัสห่วงเที่ยวเชื่อม  $150^{\circ}\text{C}$  การเชื่อมแบบไม่มีชั้นรองพื้น พบว่า ที่ตำแหน่งการทดสอบ 0 บริเวณเส้นหล่อจะคล้ายระหว่างโลหะเชื่อมกับโลหะชิ้นงานมีค่าความแข็งประมาณ 250-300 HV ของการเชื่อมด้วยกระแทส 90-110A และเมื่อทำการกดทดสอบจนถึงระเบียบการทดสอบที่ 3.2 ของทั้งสามกระแทส เชื่อมพบว่าค่าความแข็งมีแนวโน้มเพิ่มสูงและลดต่ำลงจนกดทดสอบเข้าใกล้บริเวณโครงสร้างโลหะชิ้นงานและเมื่อทำการกดทดสอบความแข็งที่บริเวณตำแหน่ง 0.4 ถึง 1.6 พบว่าค่าความแข็งมีแนวโน้มเพิ่มสูงเมื่อทำการเชื่อมโลหะพอกผิวแข็งชั้นที่ 1 ของกระแทสเชื่อมทั้งสามกระแทส อย่างไรก็ตามเมื่อทำการกดทดสอบความแข็งเข้าใกล้บริเวณตำแหน่งของชั้นพอกผิวแข็งชั้นที่ 2 และชั้นที่ 3 พบว่าค่าความแข็งมีแนวโน้มเพิ่มสูงขึ้นตามจำนวนชั้นที่เพิ่มขึ้นอย่างไรก็ตามเมื่อทำการเปรียบเทียบความแข็งที่มีผลต่อกระแทสเชื่อมพบว่าการเชื่อมด้วยกระแทสไฟที่สูงส่งผลต่ค่าความแข็งลดต่ำลงค่าความแข็งที่สูงสุดของโลหะเชื่อมพอกผิวแข็งชั้นที่ 3 คือ กระแทสเชื่อม 100 A มีค่าความแข็งของชั้นที่ 3 ประมาณ 790 HV ดังรูปที่ 4.14



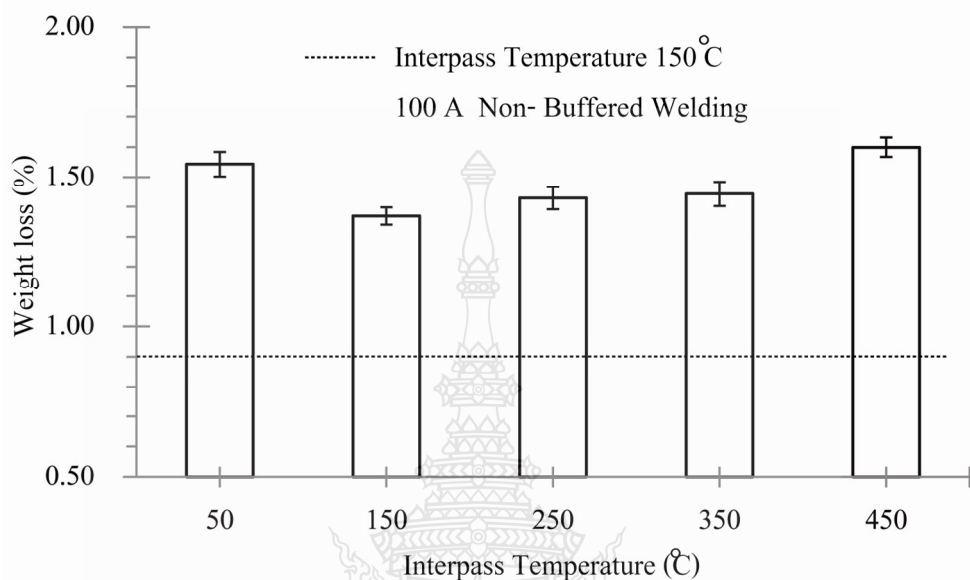
รูปที่ 4.14 ความสัมพันธ์ระหว่างกระแสเชื่อมกับค่าความแข็ง ที่อุณหภูมิระหัสที่เที่ยวเชื่อม 150°C การเชื่อมแบบไม่มีชั้นรองพื้น

สรุปการหาตัวแปรการเชื่อมแบบไม่มีชั้นรองพื้น โดยมีอุณหภูมิระหัสที่เที่ยวเชื่อม 50-450 °C และมีกระแสในการเชื่อม 90-110 A และทำการทดสอบหาค่าอัตราการสึกกร่อนพบว่า ตัวแปรที่ให้ค่าอัตราการสึกกร่อนต่ำคือที่สุด คือ การเชื่อมที่กระแสเชื่อม 100 A อุณหภูมิระหัสที่เที่ยวเชื่อม 150 °C ดังนั้นได้นำตัวแปรที่ดีที่สุด คือ กระแสเชื่อม 100 A มาทำการทดลองเชื่อมพอกผิวแข็งแบบมีชั้นรองพื้นและทำการทดสอบโดยแสดงผลในหัวที่ 4.4 ต่อไป

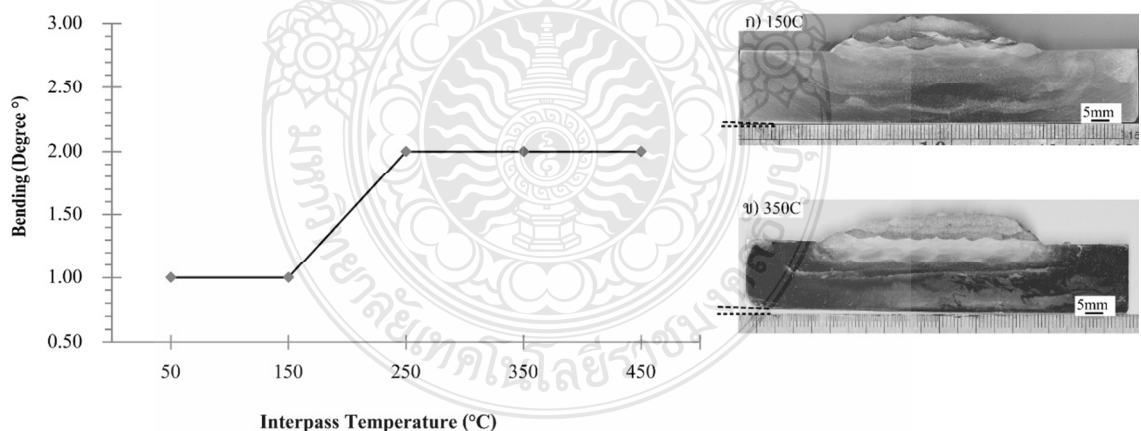
#### 4.4 ผลการทดสอบอัตราการสึกกร่อนของการเชื่อมพอกผิวแข็งแบบมีชั้นรองพื้น

รูปที่ 4.15 แสดงกราฟผลการทดสอบความสัมพันธ์ระหว่างอุณหภูมิระหัสที่ 50-450 °C กับอัตราการสึกกร่อนการเชื่อมแบบมีชั้นรองพื้น ผลการทดสอบพบว่า การเชื่อมแบบมีชั้นรองพื้นที่อุณหภูมิระหัสที่เที่ยวเชื่อม 50 °C มีค่าการสูญเสียอัตราการสึกกร่อนคิดเป็นเปอร์เซ็นต์ประมาณ 1.54 % ของชิ้นทดสอบ และเมื่อทำการทดสอบชิ้นงานที่ผ่านการเชื่อมด้วยอุณหภูมิระหัสที่เที่ยวเชื่อมที่ 150 °C ผลการทดสอบการสูญเสียอัตราการสึกกร่อนของชิ้นงานมีแนวโน้มลดลง และเมื่อทำการทดสอบชิ้นงานที่ผ่านการเชื่อมด้วยอุณหภูมิระหัสที่เที่ยวเชื่อม 250 350 และ 450 °C ผลการทดสอบพบว่า อัตราการสึกกร่อนสูญเสียน้ำหนักของชิ้นงานมีแนวโน้มเพิ่มสูงขึ้น อย่างไรก็ตามเมื่อทำการเปรียบเทียบอัตราการสึกกร่อนการสูญเสียน้ำหนักของชิ้นงานเชื่อมพอกผิวแข็งแบบไม่มีชั้นรองพื้นพบว่า การเชื่อมแบบมีชั้นรองพื้นที่ให้ค่าอัตราการสึกกร่อนต่ำ คือที่สุด คือ อุณหภูมิระหัสที่เที่ยวเชื่อม

150 °C มีค่าเบอร์เซ็นต์อัตราการสึกกร่อนสูงกว่าชิ้นงานเชื่อมพอกผิวแข็งแบบไม่มีชั้นรองพื้นแสดง การเปรียบเทียบดังเด่นปะ ในรูปที่ 4.15



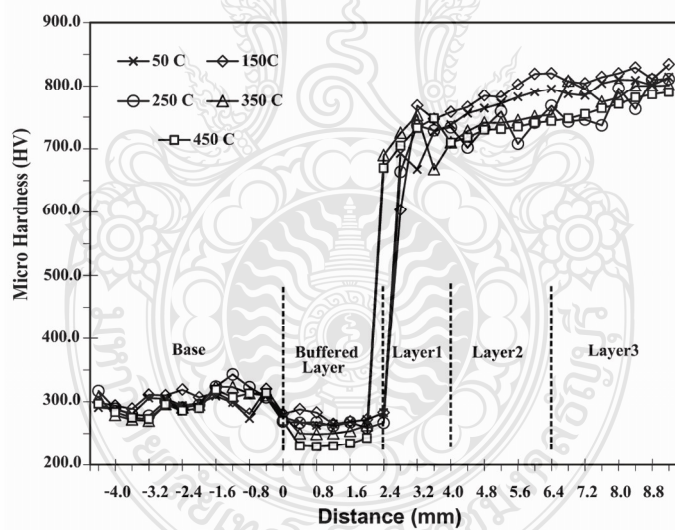
รูปที่ 4.15 ความสัมพันธ์ระหว่างอุณหภูมิระหัวงเที่ยวเชื่อมกับอัตราการสึกกร่อนการเชื่อมแบบมีชั้นรองพื้น



รูปที่ 4.16 ความสัมพันธ์ระหว่างอุณหภูมิระหัวงเที่ยวเชื่อมกับค่าการแอลล์ตัวโค้งงอ (Bending)

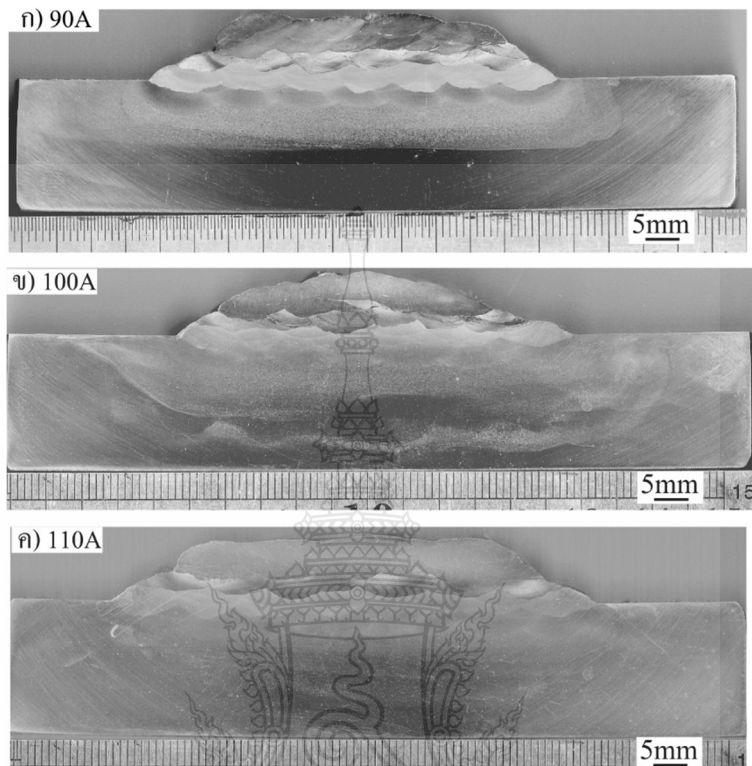
รูปที่ 4.16 แสดงความสัมพันธ์ระหว่างอุณหภูมิระหัวงเที่ยวเชื่อมกับค่าการแอลล์ตัวโค้งงอ พบว่า การเชื่อมพอกผิวแข็งแบบมีชั้นรองพื้นที่อุณหภูมิระหัวงเที่ยวเชื่อม 50-150 °C ที่กระแสเชื่อม 100 A มีค่าการแอลล์ตัวโค้งงอ ประมาณ 1 องศา แสดงดังรูปที่ 4.16 (ก) ที่อุณหภูมิระหัวงเที่ยวเชื่อม

150 °C ขณะที่ทำการเชื่อมด้วยอุณหภูมิระหว่างเที่ยวเชื่อม เพิ่มสูงขึ้นคือ 250-450 °C พบร่วมกับการแอล์ตัวโถงอิเล็กทรอนิกส์เพิ่มสูงขึ้น มีค่าประมาณ 2 องศา และคงดังรูปที่ 4.16 (ข) ที่อุณหภูมิระหว่างเที่ยวเชื่อม 350 °C อย่างไรก็ตามเมื่อเปรียบเทียบกับชิ้นงานเชื่อมพอกผิวแข็งแบบไม่มีชั้นรองพื้นพบว่า ชิ้นงานเชื่อมพอกผิวแข็งแบบมีชั้นรองพื้นมีการแอล์ตัวโถงสูงกว่าเมื่อใช้เชื่อมด้วยอุณหภูมิระหว่างเที่ยวเชื่อมที่เพิ่มสูงขึ้น และเมื่อทำการตรวจสอบโครงสร้างทางภาคของการเชื่อมด้วยอุณหภูมิระหว่างเที่ยวเชื่อม 50-450 °C ไม่พบบุบกพร่องเกิดขึ้นบนรอยเชื่อม และคงตัวอย่างดังรูปที่ 4.16 (ก) และ(ข) รูปที่ 4.17 แสดงค่าความแข็งระหว่างอุณหภูมิระหว่างเที่ยวเชื่อม 50-450°C กับการเชื่อมแบบมีชั้นรองพื้นที่กระแทกเชื่อม 100A พบร่วมที่บริเวณโลหะชิ้นงาน (Base) มีค่าความแข็งประมาณ 250-320 HV และเมื่อทดสอบเข้าใกล้บริเวณชั้นรองพื้น (Buffered Layer) พบร่วมค่าความแข็งลดลงมีค่าความแข็งประมาณ 230-300 HV การที่ค่าความแข็งลดลงบริเวณชั้นรองพื้นอาจเกิดจากส่วนผสมของธาตุใน漉ดเชื่อมมีปริมาณน้อยกว่าโลหะชิ้นงาน อย่างไรก็ตามเมื่อทดสอบเข้าใกล้ชั้นพอกผิวแข็งชั้นที่ 1 พบร่วมค่าความแข็งมีแนวโน้มเพิ่มสูงขึ้น และเมื่อทดสอบจนถึงชั้นที่ 2-3 ค่าความแข็งมีแนวโน้มเพิ่มสูงขึ้นตามจำนวนชั้นพอกผิวแข็ง



รูปที่ 4.17 ความสัมพันธ์ค่าความแข็งระหว่างอุณหภูมิระหว่างเที่ยวเชื่อม 50-450°C กับการเชื่อมแบบมีชั้นรองพื้นกระแทกเชื่อม 100A

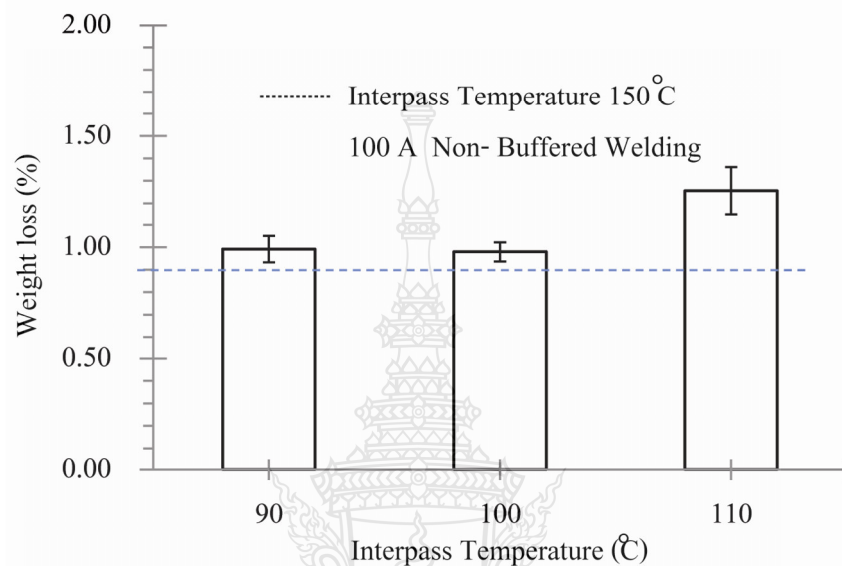
#### 4.5 เปรียบเทียบกระถางเชื่อมต่ออัตราการสึกกร่อนของการเชื่อมพอกผิวแข็งแบบมีชั้นรองพื้น



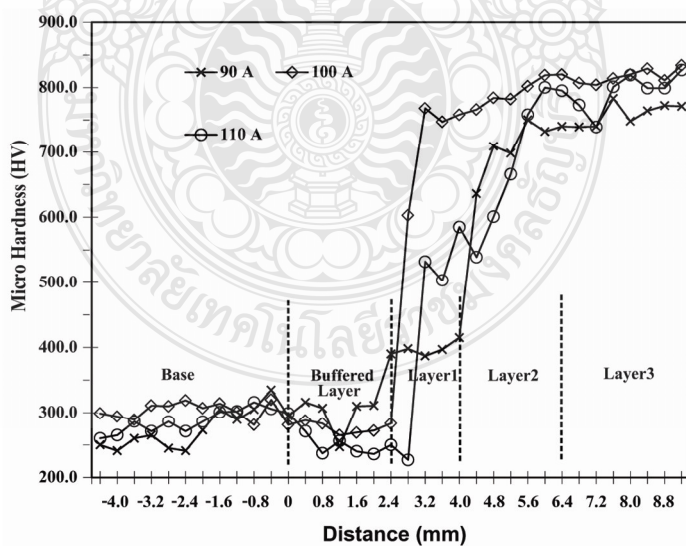
รูปที่ 4.18 โครงสร้างมหาภาคที่อุณหภูมิระหัสห่วงเที่ยวเชื่อม 150 °C (ก) กระถางเชื่อม 90 A (ข) กระถางเชื่อม 100 A และ(ค) กระถางเชื่อม 110 A

รูปที่ 4.18 แสดงการตรวจสอบโครงสร้างมหาภาคที่อุณหภูมิระหัสห่วงเที่ยวเชื่อม 150 °C กระถางเชื่อม 90-110 A ไม่พบจุดบกพร่องเกิดขึ้นบนรอยเชื่อมแนวเชื่อมมีความสมบูรณ์ แสดงด้วยร่องรอยที่ตื้นและเรียบ แต่รูปที่ 4.18 (ก) (ข) และ(ค) และรูปที่ 4.19 แสดงความสัมพันธ์ระหว่างกระถางเชื่อม 90-110A กับอัตราการสึกกร่อนการเชื่อมแบบมีชั้นรองพื้น พนว่าการเชื่อมแบบมีชั้นรองพื้นทั้งสามกระถางมีค่าอัตราการสึกกร่อนสูงกว่าการเชื่อมพอกผิวแข็งแบบไม่มีชั้นรองพื้น อย่างไรก็ตามเมื่อทำการเปรียบเทียบอัตราการสึกกร่อนระหว่างกระถางเชื่อม 90-110 A พนว่า กระถางเชื่อมที่ 90 A ให้ค่าเบอร์เซ็นต์อัตราการสึกกร่อนต่ำ ดีที่สุด โดยมีประมาณ 0.98 % ขณะที่รูป 4.20 แสดงความสัมพันธ์ค่าความแข็งแรงระหว่างกระถางเชื่อม 90-110A กับการเชื่อมแบบมีชั้นรองพื้นที่อุณหภูมิระหัสห่วงเที่ยวเชื่อม 150°C พนว่า ที่บริเวณโลหะชิ้นงานมีค่าความแข็งประมาณ 250-320 HV และเมื่อทดสอบเข้าใกล้บริเวณชั้นรองพื้นพบว่าค่าความมีแนวโน้มลดลงมีค่าความแข็งประมาณ 230-300 HV อย่างไรก็ตาม

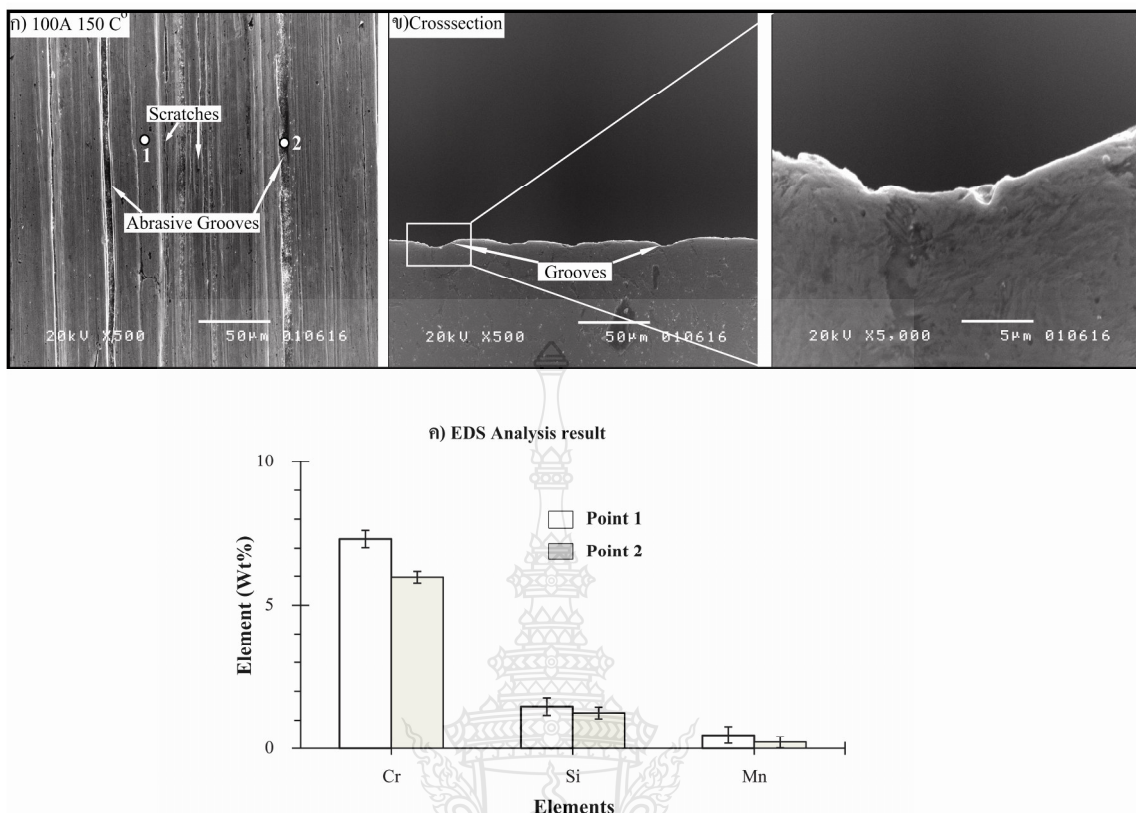
เมื่อทดสอบเข้าใกล้ชั้นพอกผิวแข็งชั้นที่ 1 พบร่วมค่าความแข็งมีแนวโน้มเพิ่มสูงขึ้นทั้ง 3 กระแต เชื่อมและเมื่อทดสอบบนถังชั้นที่ 2-3 ค่าความแข็งมีแนวโน้มเพิ่มสูงขึ้นตามจำนวนชั้นพอกผิวแข็งอย่างไรก็ตามเมื่อสังเกตเปรียบเทียบค่าความแข็งของกระแตเชื่อม 90-110A พบร่วม การเชื่อมที่กระแต 100 A. ให้ค่าความแข็งสูงกว่าการเชื่อมด้วยกระแต 90 และ 110A บริเวณโคลาหะเชื่อมพอกผิวแข็ง



รูปที่ 4.19 ความสัมพันธ์ระหว่างกระแตเชื่อมกับอัตราการสึกกร่อนการเชื่อมแบบมีชั้นรองพื้น



รูปที่ 4.20 ความสัมพันธ์ค่าความแข็งระหว่างกระแตเชื่อม 90-110A กับการเชื่อมแบบมีชั้นรองพื้นที่อุณหภูมิระหว่างเที่ยวเชื่อม 150°C



**รูปที่ 4.21** ผลการตรวจสอบภาพถ่ายผิวสีกกร่อนและผลการวิเคราะห์ชาตุเชิงพลังงาน กระแสเชื่อม 100 A อุณหภูมิระหว่างเที่ยวเชื่อม 150 °C การเชื่อมแบบมีชั้นรองพื้น

รูปที่ 4.21 แสดงผลการตรวจสอบภาพถ่ายผิวสีกกร่อนและผลการวิเคราะห์ชาตุเชิงพลังงาน กระแสเชื่อม 100 A อุณหภูมิระหว่างเที่ยวเชื่อม 150 °C การเชื่อมแบบมีชั้นรองพื้น พบว่า การเชื่อม พอกผิวแข็งแบบมีชั้นรองพื้นผิวสีกกร่อนเป็นร่องลึกกว้างใหญ่ขึ้นกว่าการเชื่อมพอกผิวแข็งแบบไม่มีชั้นรองพื้นดังรูปที่ 4.21 (ก) และเมื่อทำการตรวจสอบรอยสีกกร่อนบริเวณหน้าดัดขวางดังรูปที่ 4.21 (ข) พบว่า เกิดร่องเวลาตามรอยสีกกร่อนและได้ทำการขยายตรวจสอบรอยสีกกร่อนบริเวณร่องลึก บริเวณกรอบสี่เหลี่ยมด้วยกำลังขยาย 5000 เท่า พบว่า ไม่พบการพังทลายแบบเปละเหลือก กับการเชื่อมแบบไม่มีชั้นรองพื้นดังรูปที่ 4.21 อย่างไรก็ตาม ได้ทำการวิเคราะห์ชาตุเชิงพลังงานบริเวณรอยสีกกร่อนตำแหน่งที่ 1 ตำแหน่งที่ 2 ดังรูปที่ 4.21 (ก) พบว่า ที่บริเวณผิวสีกกร่อนที่ไม่ปรากฏร่องตำแหน่งที่ 1 มีปริมาณชาตุโครเมียม ซิลิกอน และแมงกานีส สูงกว่าบริเวณผิวสีกกร่อนที่เกิดร่องตำแหน่งที่ 2

## บทที่ 5

### สรุปผลการวิจัย และข้อเสนอแนะ

การศึกษาอิทธิพลอุณหภูมิระหว่างเที่ยวเชื่อมที่มีผลต่อสมบัติโลหะเชื่อมพอกแข็งเหล็กกล้า คาร์บอน JIS-S50C ที่เชื่อมด้วยการเชื่อมอาร์กโอลห์มฟลักซ์ โดยมีตัวแปรการเชื่อมประกอบด้วย อุณหภูมิระหว่างเที่ยวเชื่อม กระแสเชื่อม และชั้นพอกผิว 3 ชั้น โดยเชื่อมแบบไม่มีชั้นรองพื้นและ เชื่อมแบบมีชั้นรองพื้น จากนั้นทำการทดสอบสมบัติทางกลของรอยเชื่อม ด้วยวิธีการทดสอบความ ต้านทานการสึกกร่อน ความแข็งไน โครวิกเกอร์ส์ บริเวณรอยเชื่อมและศึกษาโครงสร้างมหาศาลและ จุดภาค บริเวณรอยเชื่อม ผลการทดลองโดยมีสรุปดังนี้

#### 5.1 สรุปผลการวิจัย

5.1.1 อุณหภูมิระหว่างเที่ยวเชื่อมที่เพิ่มขึ้นมีผลให้ค่าความแข็งลดลง

5.1.2 อุณหภูมิระหว่างเที่ยวเชื่อมส่งผลทำให้ค่าความแข็งและค่าความต้านทานการสึกหรอ ลดลง

5.1.3 เปรียบเทียบความแข็งของชั้นพอกผิวแข็ง 1-3 ชั้น ที่กระแสเชื่อม 100A อุณหภูมิ ระหว่างเที่ยวเชื่อมที่ให้ค่าความแข็งสูงสุดคืออุณหภูมิระหว่างเที่ยวเชื่อมที่  $150^{\circ}\text{C}$  มีค่าความแข็งของ ผิวพอกแข็งประมาณ 790HV สูงกว่าลูกโลเดอร์จิงที่มีค่าความแข็ง 650HV

5.1.4 อุณหภูมิระหว่างเที่ยวเชื่อม  $150^{\circ}\text{C}$  ปริมาณโครเมียมในเนื้อโลหะมีความสม่ำเสมอ ส่งผลให้ชิ้นงานทดสอบสามารถทนทานการสึกกร่อนได้ดีกว่า

#### 5.2 ข้อเสนอแนะ

การทดลองศึกษาอิทธิพลของจำนวนชั้นการเชื่อมอาร์กโอลห์มฟลักซ์พอกผิวแข็งต่อสมบัติ ของโลหะเชื่อมเหล็กกล้าคาร์บอน JIS-S50C เกิดปัญหาในระหว่างการทดลองจึงต้องมีการปรับปรุง หรือใช้ในการทดลองในคราวต่อไป โดยมีข้อเสนอแนะในการพิจารณาดังนี้

5.2.1 การทดสอบการสึกหรอด้วยเครื่อง Dry Sand-Rubber Wheel : DSRW G65 นั้นผิว ยางที่ใช้เป็นเวลานานอาจมีการชำรุดส่งผลต่อค่าการทดสอบได้

5.2.2 การควบคุมอุณหภูมิในแต่ละชั้นของการเชื่อมทำได้ยากและทำให้ใช้ระยะเวลา ในการเชื่อม

## បរវត្ថុករណៈ

- [1] K. Yang, Q. Yang, and Y. Bao, "Effect of carbonitride precipitates on the solid/liquid erosion behaviour of hardfacing alloy," *Applied Surface Science*, vol. 284, pp. 540-544, 11/1/ 2013.
- [2] I. Hemmati, V. Ocelík, and J. T. M. De Hosson, "Dilution effects in laser cladding of Ni-Cr-B-Si-C hardfacing alloys," *Materials Letters*, vol. 84, pp. 69-72, 10/1/ 2012.
- [3] M. F. Buchely, J. C. Gutierrez, L. M. León, and A. Toro, "The effect of microstructure on abrasive wear of hardfacing alloys," *Wear*, vol. 259, pp. 52-61, 7// 2005.
- [4] V. E. Buchanan, P. H. Shipway, and D. G. McCartney, "Microstructure and abrasive wear behaviour of shielded metal arc welding hardfacings used in the sugarcane industry," *Wear*, vol. 263, pp. 99-110, 9/10/ 2007.
- [5] S. Chatterjee and T. K. Pal, "Weld procedural effect on the performance of iron based hardfacing deposits on cast iron substrate," *Journal of Materials Processing Technology*, vol. 173, pp. 61-69, 3/30/ 2006.
- [6] Kobelco welding. [Online]. Available: <http://www.kobewelding.com.sg>,
- [7] H. W. Lee, "Weld metal hydrogen-assisted cracking in thick steel plate weldments," *Materials Science and Engineering: A*, vol. 445–446, pp. 328-335, 2/15/ 2007.
- [8] J. Onoro, "Weld metal microstructure analysis of 9–12% Cr steels," *International Journal of Pressure Vessels and Piping*, vol. 83, pp. 540-545, 7// 2006.
- [9] K. Yang, S. Yu, Y. Li, and C. Li, "Effect of carbonitride precipitates on the abrasive wear behaviour of hardfacing alloy," *Applied Surface Science*, vol. 254, pp. 5023-5027, 6/15/ 2008.
- [10] C. Zhang, X. Song, P. Lu, and X. Hu, "Effect of microstructure on mechanical properties in weld-repaired high strength low alloy steel," *Materials & Design*, vol. 36, pp. 233-242, 4// 2012.
- [11] S. Chatterjee and T. K. Pal, "Solid particle erosion behaviour of hardfacing deposits on cast iron—Influence of deposit microstructure and erodent particles," *Wear*, vol. 261, pp. 1069-1079, 11/30/ 2006.

## បររាយអ្នករោង (គោ)

- [12] R. Arabi Jeshvaghani, E. Harati, and M. Shamanian, "Effects of surface alloying on microstructure and wear behavior of ductile iron surface-modified with a nickel-based alloy using shielded metal arc welding," *Materials & Design*, vol. 32, pp. 1531-1536, 3// 2011.
- [13] F. Malek Ghaini, M. Ebrahimnia, and S. Gholizade, "Characteristics of cracks in heat affected zone of ductile cast iron in powder welding process," *Engineering Failure Analysis*, vol. 18, pp. 47-51, 1// 2011.
- [14] S. Selvi, S. P. Sankaran, and R. Srivatsavan, "Comparative study of hardfacing of valve seat ring using MMAW process," *Journal of Materials Processing Technology*, vol. 207, pp. 356-362, 10/16/ 2008.
- [15] E. M. El-Banna, "Effect of preheat on welding of ductile cast iron," *Materials Letters*, vol. 41, pp. 20-26, 10// 1999.
- [16] P. K. Ghosh, P. Yongyuth, P. C. Gupta, A. K. Patwardhan, and S. Prakash, "Two Dimensional Spatial Geometric Solution for Estimating the Macroconstituents Affecting the Mechanical Properties of Multipass C-Mn Steel SAW Deposits," *ISIJ International*, vol. 35, pp. 63-70, 1995.
- [17] Y. L. Y. Y.F. Zhoua, Y.W. Jiang, J. Yang, X.J. Renb, Q.X. Yang, "Fe-24 wt.%Cr-4.1 wt.%C hardfacing alloy: Microstructure and carbide refinement mechanisms with ceria additive," *Materials Characterization* vol. 72, pp. 77-86, 2012.
- [18] Winarto and D. Priadi, "Effect of Preheating and Buttering on Cracking Susceptibility and Wear Resistance of Hardfaced HSLA Steel Deposit," *QUARTERLY JOURNAL OF THE JAPAN WELDING SOCIETY*, vol. 31, pp. 202s-205s, 2013.
- [19] S. Apay and B. Gulenc, "Wear properties of AISI 1015 steel coated with Stellite 6 by microlaser welding," *Materials & Design*, vol. 55, pp. 1-8, 2014.
- [20] B. R. Kyle Schafer, "Rajiv PithadiaFaculty. Segregation, Banding, and Inclusions in AISI 1050 Carbon Steel," *Materials Processing and Design :MSE*, pp. 430-440, 2010.

## บรรณานุกรม (ต่อ)

- [21] Chatterjee, S., & Pal, T. K. (2006). Weld procedural effect on the performance of iron based hardfacing deposits on cast iron substrate. Journal of Materials Processing Technology, 173(1), 61-69.
- [22] Japanese Standards Association, JIS Handbook Ferrous Materials&Metallurgy I: JIS G4051 1979. Japan: Japanese Standards Association. pp. 517-523.
- [23] กิตติพงษ์ กิมะพงษ์ ประจักษ์ อ่างบุญตา และบุญส่ง จงกลมี. โครงการสร้างจุลภาคและสมบัติของรอยเชื่อมวัสดุด้วยเทคโนโลยีการเชื่อมแบบใหม่, สำนักงานคณะกรรมการวิจัยแห่งชาติ 2552
- [24] วิทยา ทองขาว , งานเชื่อมไฟฟ้า, vol. 1 .กรุงเทพ:ชีเอ็คยูเคชั่น,2521
- [25] สมบูรณ์ เต็งหงส์เจริญ , គគ.ជំរើន
- [26] กิตติพงษ์ กิมะพงษ์ ประจักษ์ อ่างบุญตา และบุญส่ง จงกลมี. โครงการสร้างจุลภาคและสมบัติของรอยเชื่อมวัสดุด้วยเทคโนโลยีการเชื่อมแบบใหม่, สำนักงานคณะกรรมการวิจัยแห่งชาติ 2552
- [27] ASTM International, G65-94 Standard Test Methods for Measuring Abrasion using the DrySand/Rubber wheel Apparatus 1996
- [28] R. Sekharbabu, H. K. Rafi, and K. P. Rao, "Characterization of D2 tool steel frictionsurfaced
- [29] S. Ritthipakdee, "Abrasive Wear Behavior of Surface Hardfacing on AISI 1020," in National 2. Industrial Engineering Network Conference 2011, Ambassador City Jomtien Hotel, Pattaya Chonburi, Thailand, pp. 2070- 2075
- [30] สรัณยา ลิมนา, ” การศึกษาโครงการสร้างจุลภาคและความแข็งแรงลักษณะของผิวพอกเชื่อมของเหล็กกล้าพสมต่า AISI 340 ด้วยกรรมวิธีการเชื่อมไฟฟ้าด้วยลวดหุ้มฟลักซ์ กรรมวิธีการเชื่อมนิก/แมก และ กรรมวิธีการเชื่อมไส้ฟลักซ์,”ปริญญาวิศวกรรมศาสตร์มหาบัณฑิต,สาขาวิศวกรรมวัสดุ คณะวิศวกรรมศาสตร์,มหาวิทยาลัยสงขลานครินทร์,สงขลา,2553.

## บรรณานุกรม (ต่อ)

- [31] ชูชาติ ดีวงศ์สังก์, การทดสอบงานเชื่อมแบบทำลายสภาพ, 3 ed. สำนักพิมพ์ ส.ส.ท. สมาคมส่งเสริมเทคโนโลยี(ไทย-ญี่ปุ่น) กทม, 2555.
- [32] Focuslab,/Focuslab(online),/2015, Available:www.focuslab.co.th/en/home.php, 10 March 20015
- [33] A. M. Handbook, " Metallography and Microstrctures," in Vol 09 ed, 2004.
- [34] อรรถก الرحمن, ”การศึกษาอิทธิพลตัวแปรเชื่อมอาร์กลวดหุ้มฟลักซ์ที่มีผลต่อสมบัติพิเศษของแม่เหล็กโรลมเลอร์รอนเกี่ยบและนวลด้านข้าวเหล็กคล้าJIC50C,”ปริญญาวิศวกรรมศาสตร์มหาวิทยาลัยเทคโนโลยีราชมงคลธัญบุรี,ปทุมธานี,2557.
- [35] คณิต สิทธิพันธ์, ” กอิทธิพลการเชื่อมพอกผิวแข็งช้าแนวต่อสมบัติของเหล็กกล้าเครื่องมืองานเย็นJIS-SKD11,”ปริญญาวิศวกรรมศาสตร์มหาวิทยาลัยเทคโนโลยีราชมงคลธัญบุรี,ปทุมธานี,2557.



ภาคผนวก ก

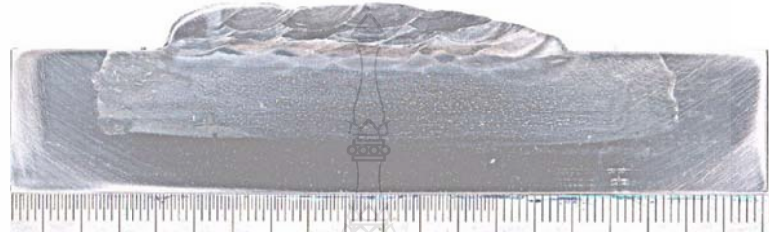
ลักษณะโครงสร้างมหาวิหารและโครงสร้างจุลภาคของแนวเขื่อน



## ก.1 ลักษณะโครงสร้างมหาภาค

รูปที่ ก 1.1 โครงสร้างมหาภาคที่อุณหภูมิระหัสเที่ยวเชื่อม  $250^{\circ}\text{C}$  (ก) กระแสเชื่อม  $90\text{ A}$  (ข) กระแส  
เชื่อม  $100\text{ A}$  และ(ช) กระแสเชื่อม  $110\text{ A}$ แบบรองพื้น

(ก).อุณหภูมิระหัสเที่ยวเชื่อม  $250^{\circ}\text{C}$ กระแสเชื่อม  $100\text{ A}$ แบบรองพื้น



(ข).อุณหภูมิระหัสเที่ยวเชื่อม  $350^{\circ}\text{C}$ กระแสเชื่อม  $100\text{ A}$ แบบรองพื้น

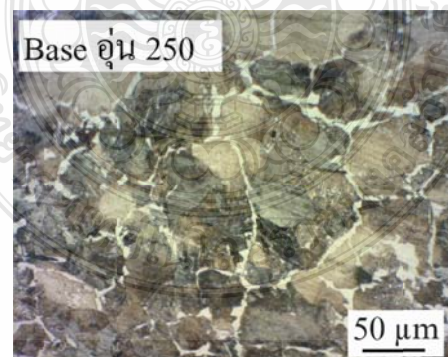
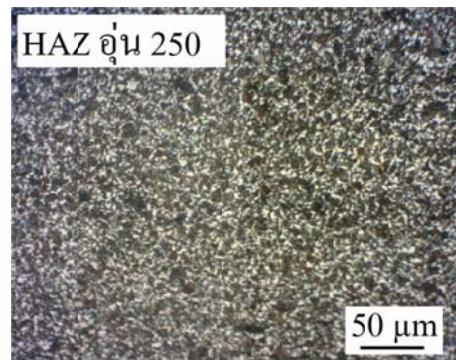
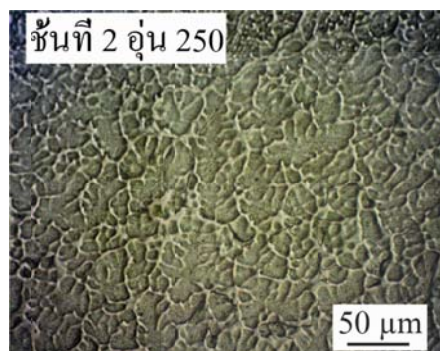


(ช).อุณหภูมิระหัสเที่ยวเชื่อม  $450^{\circ}\text{C}$ กระแสเชื่อม  $100\text{ A}$ แบบรองพื้น



## ก.2 โครงสร้างจุลภาคของแนวเชื่อมพอกผิวแข็ง 1-3ชั้น

รูปที่ ก 2.1 โครงสร้างจุลภาคภาชนะแนวเชื่อมที่อุณหภูมิระหัสห่วงเที่ยวเชื่อม 250 กระແສเชื่อม 100A แบบไม่รองพื้น





# MG 710

Premium quality alloy for air-hardening  
tool steels



## GENERAL CHARACTERISTICS:

Unique alloy formulation makes this electrode outstanding for the repair of "air" hardening steels. Deposits are highly crack resistant, forgeable and temperable. Unlimited passes in all positions.

## APPLICATIONS:

Ideal for repair and build-up of shearing blades, planer plates, anvils, woodworking tools, percussion drills, earth borers, pressure rollers, clamping tools, worm conveyors, mixer arms, rollers, shovel and dredger teeth, crusher jaws and rings. Also for machine parts of steel, cast steel and manganese steel which are subjected to grinding wear combined with strong impact.

## TECHNICAL DATA:

Hardness	As Welded: 55-60 HRC
Polarity	AC or DC (+/-)
Diameter	Amperage
3/32" (2.4mm)	45-90
1/8" (3.2mm)	80-120
5/32" (4.0mm)	110-140

## PROCEDURE:

Clean weld area. In general it is not necessary to preheat, but if the base metal is highly carbonized it should be preheated to approximately 390°F (200°C). Build part to desired shape by using as many passes as necessary. Heat to a bright red; forge and grind to required dimension. Heat-treat and harden as you would for the base metal upon which the weld was applied. Final tolerances may be obtained by grinding.

Also available in MIG and TIG.



เรื่องเต็ม  
full paper

# การประชุมวิชาการระดับชาติ

มหาวิทยาลัยเกษตรศาสตร์ วิทยาเขตกำแพงแสน

The 12<sup>th</sup> National Conference

8 - 9 ธันวาคม 2558

ครั้งที่  
**12**

ตามรอยพระยุคลบาท เกษตรศาสตร์กำแพงแสน

## ผลงานทางวิชาการ 8 สาขา

- ส่องสว่างการเกษตร
- สัตว์และสัตวแพทย์
- วิศวกรรมศาสตร์
- วิทยาศาสตร์ เทคโนโลยีรังนวนักออม และความหลากหลายทางชีวภาพ
- กีฬาและเทคโนโลยีชีวภาพ
- ศึกษาศาสตร์และพัฒนาศาสตร์
- วิทยาศาสตร์สุขภาพและการกินอาหาร
- มนุษยศาสตร์และสังคมศาสตร์



เชิงอิทธิพลของอุณหภูมิระหว่างเทือกเพื่อทนทานเชื่อมพอกเมล็ดลึกด้า JIS-S50C

Influence of Inter-pass Temperature on JIS-S50C Steel Hard-facing Weld Metal

พรเมษ ใจดี<sup>1</sup>, สุวินัย ใจดี<sup>2</sup> และกิตติพงษ์ กิตติพงษ์<sup>3</sup>

Premchai Kaewdee<sup>1</sup>, Suvinai Sodajaroen<sup>2</sup> and Kitipong Kimapong<sup>3</sup>

บทคัดย่อ

เหล็กกล้าคาร์บอนเป็นปานกลางเป็นเหล็กกล้าที่มีความนิ่มในกรณีให้เป็นรักษาในการผลิตเครื่องส่วนต่างๆ ของเครื่องจักรทางการเกษตรเนื่องจากมีค่าคงที่เมื่อเย็น แต่ร้อนไปเกินจะมีค่าคงที่ลดลงได้มาก จึงส่วนใหญ่ก็ต้องทำการเคลือบและพ่นหกชาก หากการเคลือบหกที่ดีพื้นที่มีความถูกต้องและถูกต้อง ขั้นตอนนี้จะทำให้การเชื่อมชิ้นส่วนต่างๆ ให้สามารถนำกลับมาใช้งานได้โดยไม่ต้องซ่อมซ้ำได้ด้วยต้นทุนการซ่อมต่ำลงกว่าเดิม ในการศึกษาเชิงอิทธิพลของอุณหภูมิระหว่างเทือกเพื่อทนทานเชื่อมพอกเมล็ดลึกด้า JIS-S50C ที่เชื่อมพื้นที่การเชื่อมพอกเมล็ดลึกด้าที่ต้องการจะซ่อมในกรณีของอุณหภูมิระหว่างเทือกเพื่อ 150-350°C กระแสไฟฟ้า 100A จำนวนชั้นหกอยู่ที่ 3 ชั้น พบว่าการเพิ่มอุณหภูมิระหว่างเทือกเพื่อ เชื่อมที่เทียบเท่ากับค่าความแข็ง 1006 HV และค่าการเสื่อมหักห้าม 2.02 g คือ อุณหภูมิระหว่างเทือกเพื่อ เชื่อม 150°C

Key word : อุณหภูมิระหว่างเทือกเพื่อ, เชื่อมพอกเมล็ดลึกด้า

Abstract

Medium carbon steel was a base material that often used for producing agricultural machinery parts due to a good mechanical property. However, when the parts were applied, the parts were frequently deteriorated and failed. If some small damage was found, the parts were often welding repaired for a purpose to reuse the parts and affect to decrease the operating cost. Thus, this research aimed to study an influence of interpass temperature on JIS-S50C carbon steel hard-facing weld metal properties. Shielded metal arc welding parameters in this study were an interpass temperature of 150-350°C, a welding current of 100 A, a hard-facing layer of 3 layers. The summarized experimental results showed that increase of pre-heat temperature affected to increase a grain size, decrease the hardness and also increase the wear rate of the hard-facing weld metal. The optimized interpass temperature that produced the weld metal hardness of 1006 HV and minimum wear rate of 2.02 g was the interpass temperature of 150°.

Keywords: Inter-pass, Wear rate, Shielded metal arc welding

E-mail address : p-kaewdee@hotmail.co.th

\* ภาควิชาวิศวกรรมศาสตร์ คณะวิศวกรรมศาสตร์ มหาวิทยาลัยเทคโนโลยีราชมงคลธัญบุรี ปีบัณฑิต 12/110

Department of Industrial Engineering, Faculty of Engineering, Rajamangala University of Technology Thanyaburi, Pathumthani 12110

三

เพลิกกล้าความรับผิดชอบทางการเมืองเพื่อให้เกิดความต้องการในการให้เป็นหัวหน้าคิดในการผลิตเครื่องดื่มน้ำ หรือเจ้าของธุรกิจทางการเกษตร เช่น อุกิจและร้านที่ขายชา กาแฟ เป็นต้น เมื่อจากนี้แล้วน้ำมันพืชทางการเกษตรด้านความต้องการ และความแข็งแกร่งที่เพิ่มขึ้น อย่างไรก็ตามเมื่อเข้าสู่ช่วงฤดูกาลใช้งานและถึงต่อสัปดาห์เรียบร้อยแล้วก็จะต้อง เช่น การผลิตน้ำมันพืชกับภาระทางการเมืองที่ต้องรับผิดชอบต่อประเทศญี่ปุ่นในคราวนี้ ไม่ใช่เจ้าของธุรกิจ นักลงทุนที่ทำให้เกิดการเมืองทางและพัฒนาอย่างที่ตนต้องการ หากการเมืองทางการที่เมืองน้ำมันพืชที่เกิดขึ้นเมื่อความรุนแรงที่เข้าสู่ช่วงต่อมาถูกบาน้ำท่าทางค่อนข้างมากไม่ใช่แค่ที่บ้านแต่ทางการ กษัตริย์การเมืองเช่นเดียวกับวิธีการซึ่งเป็นปกติเช่นเดียวกันใน ในการสร้างศูนย์กลางทางการเมืองที่เกิดจากการพัฒนาทาง สามารถตั้งตัวเป็นศูนย์กลางทางการเมืองที่ได้รับการสนับสนุน สำนักงานนักคณิตศาสตร์ให้ในที่นี้และส่งผลให้เกิดศูนย์การผลิตและศูนย์กลาง ได้ (Yang et al. 2013) การพัฒนาขนาดใหญ่และการ เศรษฐกิจและ ช่วงระยะเวลาที่มีช่วงเวลาเดียวกัน กระเพราเชื่อม ศูนย์น้ำมันพืชที่อยู่เชื่อม หรือ ผู้นำทางการเมือง เช่น ผู้นำคนหนึ่ง เป็นช่วงเวลาที่น้ำมันพืชที่ส่งออกถูกห้ามให้ไปคุณภาพเชื่อมทางการเมืองที่มีความบันทึกต้องการ และปรับปรุงการขยายผลกว้าง หรืออุดหนุนการเมือง ได้ (Panich et al. 2008) ด้วยเหตุนี้ การศึกษาเชิงข้อมูลค้าแม่การ เชื่อมที่ส่งผลต่อศูนย์กลางทางการเมืองเชื่อม จึงมีการศึกษาและพัฒนาเพื่อให้มีความเหมาะสมที่สอดคล้องด้วย

ด้วยความรุ่งเรืองของการศึกษาและกว้างไกลในโครงสร้างอุดมการณ์ในระดับประเทศและนานาชาติ บริษัทฯ ยังคงเดินทางและเป็นแหล่งเรียนรู้ทางวิชาการและวัฒนธรรมที่สำคัญที่สุดแห่งหนึ่ง งานวิจัยที่มีคุณภาพสูงและมีผลลัพธ์ที่น่าประทับใจ ทำให้เราได้รับการยอมรับและยกย่องจากชุมชนวิชาการและผู้เชี่ยวชาญทั่วโลก

รายงานทุกัวกกรรมสิ่งที่ มหาวิทยาลัยมหาสารคาม จังหวัดมหาสารคาม ประจำปี ๑๒

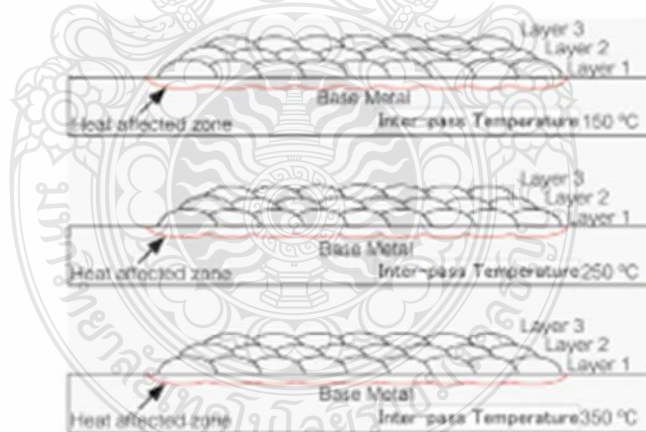
ฉบับทดลองและวิจัยการ

### 2.1 รัฐธรรมนูญไทย

๕ ถูกที่ในการทดสอบคือ เหล็กกล้าคริบบิ้งปานักกลาง JIS-S50C ที่มีลักษณะทางเทคนิค Table 1 ผ่านตัวเล็กกล้าแผ่นกึ่งดูดเหล็กตัววิธีทางกลให้มีรูปร่างสี่เหลี่ยมเพื่อความกว้าง 100 มิลลิเมตร ความยาว 150 มิลลิเมตร และความหนา 20 มิลลิเมตร จัวหัวน้ำประปาผ่านเหล็กกล้าทำการเชื่อมในอุณหภูมิที่ห้องทดลองจากน้ำร้อนและปั๊มน้ำให้มีความดันเรือนท่อนที่ ๖๐ กิโลกรัม กระบวนการการเชื่อมที่ใช้ในการเชื่อม คือ การเชื่อมอาร์กฟลูชัฟท์ฟลักซ์ (Shielded metal arc welding; SMAW) โดยขั้นตอนที่ดำเนินการรับรองมาตรฐานจากกรมวิทยาศาสตร์และงาน công nghiệpและงาน ตรวจสอบฟลูชัฟท์ฟลักซ์เชื่อม คือ ตรวจสอบไฟฟลักซ์ MG 710 (Flux-cored wire arc welding) ซึ่งต้องมีลักษณะทางเทคนิค Table 1 ไม่ต่ำกว่าค่าที่กำหนด 3.2 มิลลิเมตร

Table 1 Chemical Composition of Material and electrodes.

Material	Chemical composition (%)				
	Type	Standard	C	Si	Mn
Medium carbon steel	JIS S50C	0.52	0.26	0.78	0.19
Hard facing electrodes	MG 710	4.0	1.2	2	8.5



**Figure 1** Hardfacing layer was welded.

พัฒนาการเชื่อมประภากลมด้วย การเชื่อมในท่าราบ (Flat Position) ไม่มีการร้อนริบบิ้งเพื่อ ก่อกระแสเชื่อม 100 A ดูเหมือนการอุ่นริบบิ้ง (Pre-heat temperature) ตั้ง 150°C – 350°C ดูเหมือนกับการหัวร่างที่ร้าวเชื่อม ตั้ง 150°C – 350°C การรักษาอุณหภูมิร้อนริบบิ้งที่ร้าวและอุณหภูมิระหว่างที่หัวเชื่อมหัวให้ไม่แตกหักให้ไม่เสียหาย

การทดสอบวิเคราะห์ความคงทนของพื้นผิวทางเดินที่ต้องการให้มีค่าคงทนต่อการใช้งานในอุณหภูมิสูงที่ 12

(Hot plate) และมีการตรวจสอบอุณหภูมิให้คงที่ตามกำหนดด้วยการติดตั้งไฟฟ้าให้เทอร์โมเซ็นเซอร์ติดตั้งบนพื้นผิวที่ต้องการที่อุณหภูมิสูงที่ต้องการซึ่งเป็นพื้นที่ที่ต้องการทดสอบ ต้องติดตั้งในพื้นที่ที่ต้องการที่อุณหภูมิสูงที่ต้องการซึ่งเป็นพื้นที่ที่ต้องการทดสอบ 3 ชั้นทดสอบ แนวตั้ง พอกดิบชั้งที่สองและร่องความกว้าง 50 มิลลิเมตร ความยาว 100 มิลลิเมตร ตามมาตรฐาน JIS Z3114 ระยะห่างระหว่างที่ต้องการทดสอบซึ่งเป็นพื้นที่ 10 มิลลิเมตร หลังจากทำการซึ่งเม็ดกระดาษคราฟฟ์ 3 ชั้นทดสอบแล้วจึงนำเข้าห้องทดลองที่อุณหภูมิต้อง แล้วจึงนำเข้าห้องปฏิบัติการที่อุณหภูมิต้อง ให้ต้องสักลายโดยน้ำยา

## 2.2 ขั้นตอนการทดสอบ

การทดสอบวิเคราะห์ความคงทนของพื้นผิวที่ต้องการทดสอบโดยใช้เครื่องทดสอบแบบแห้ง (Dry Sand Rubber Wheel DSRW) ตามมาตรฐานการทดสอบ ASTM G65 ทรายที่ใช้ในการทดสอบเป็นหินทรายที่อุณหภูมิ 100°C เม็ดหิน 1 ชั้นในสีเทาจะถูกวางลงในกรวย ขนาด 100x100x100 มิลลิเมตรให้ต้องหันไปในอุณหภูมิต้อง และใช้หินทรายที่ต้องการทดสอบที่อุณหภูมิ 50°C การทดสอบการซึ่งเม็ดกระดาษคราฟฟ์ 3 ชั้นทดสอบที่ต้องการที่อุณหภูมิ 300-400 ก้อนต่อหน้าที่ ต้องการทดสอบ 4309 เมลต์ น้ำหนักที่ต้องหันไปในอุณหภูมิ 130 บีกัต์ ความเร็ว 200 รอบต่อนาที ลักษณะ หีบห้ามทดสอบการซึ่งเม็ดกระดาษคราฟฟ์ Figure 2



Figure 2 Dry sand-rubber wheel testing machine.

การทดสอบความคงทนของพื้นผิวที่ต้องการทดสอบโดยใช้เครื่องทดสอบความแข็งอุณหภูมิแบบไม่ใช้รีดเกอร์ (Micro Vickers Hardness) โดยทำการทดสอบเป็นอัลตราซาวน์ดหรือหินทรายที่ต้องหันไปในอุณหภูมิต้อง 3 ชั้นทดสอบที่ต้องหันไปในอุณหภูมิ 1 มิลลิเมตร แรงที่ใช้ในการทดสอบ 100 ก้อน และเวลาในการทดสอบ 10 วินาที และหันไปในอุณหภูมิ 10 มิลลิเมตร และเวลาในการทดสอบ 100 ก้อน และเวลาในการทดสอบ 10 วินาที และหันไปในอุณหภูมิ 30 มิลลิเมตร และเวลาในการทดสอบ 30 วินาที หันไปในอุณหภูมิ 60 วินาที ตาม

การประยุกต์ใช้การทดสอบด้วย แม่เหล็กเพื่อตรวจสอบความถูกต้องของรอยเชื่อม ที่ 12 มาตรฐาน ASTM E407 จากนั้นตรวจสอบโครงสร้างหัวตอกของจุดเชื่อมโดยใช้กล้องจุลทรรศน์แบบแสง รุ่น OLYMPUS BX51M 以便ตรวจสอบคุณภาพ หัวตอก บริเวณโลหะฐาน (Base Metal) บริเวณเขตกระทบความร้อน (Heat-affected zone) และบริเวณชั้นเชื่อม (Weld Metal Layer) ดังที่ 1-3 และที่ Figure 3 (B)

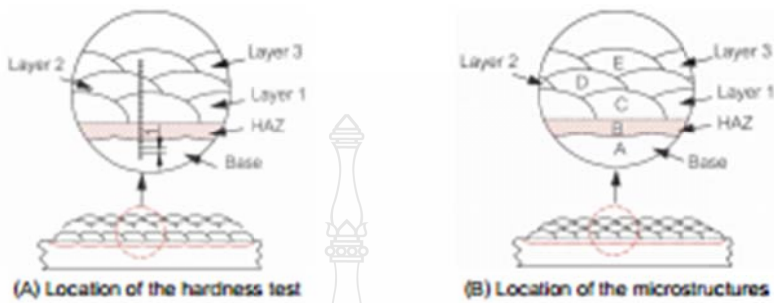


Figure 3 Location test of hardfaced welded.

## ผลการทดสอบและวิเคราะห์ผลการทดสอบ

### 3.1 ผลการตรวจสอบโครงสร้างภาษา

Figure 4 แสดงภาพคัดตั้งจากกับพิเศษของแนวการเชื่อมเพล็กซ์วิว โดยตัวแบ่งการเชื่อมต่อที่ก้านเหล็กให้ไปในตัวร่อง ชุดก้านและบริเวณการเชื่อมต่อที่ต่อตัวกันเป็นร่องหน้าบานเชื่อม (Weld face) มีความสูงประมาณ 10 เซนติเมตร โครงสร้างและภาระความตึงก้านและไขว้ในห้องร่องบานเชื่อมที่ต่อตัวกันเป็นร่องหน้าบานเชื่อม



**Figure 4** Macrostyle of hard-faced wafers

3.2 မြန်မာစာမျက်နှာ

การประชุมวิชาการระดับชาติ มหาวิทยาลัยราชภัฏเชียงใหม่ ในครั้งที่ที่ 12

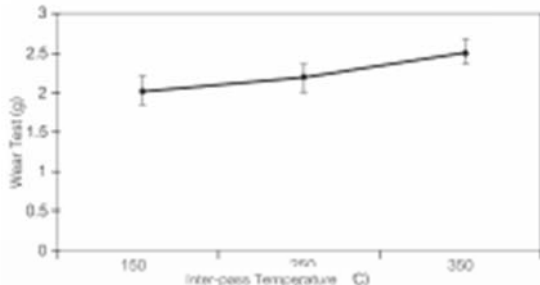
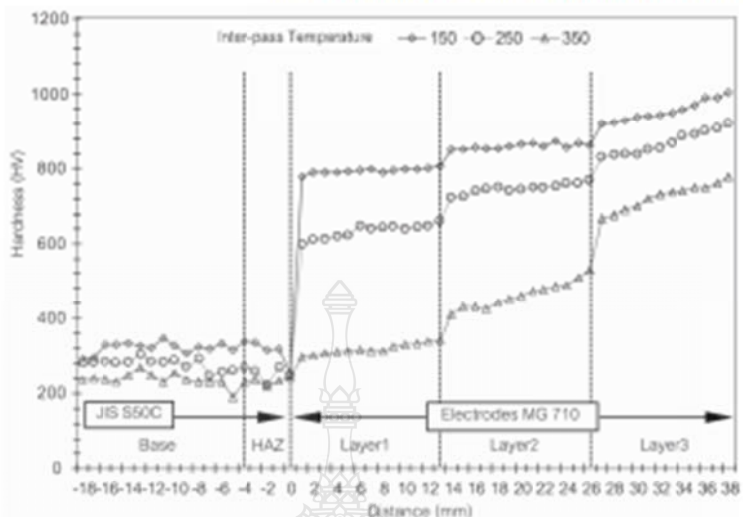


Figure 5 Wear rate of hardfaced Inter-pass temperature 150°C-350°C.

### 3.3 ผลการติดตั้งบล็อกความเร็ว



#### การประชุมวิชาการระดับชาติ มหาวิทยาลัยแม่ฟ้าหลวง ประจำปี ๒๕๖๓ วิชาภาษาไทยและอังกฤษ ครั้งที่ ๑๒

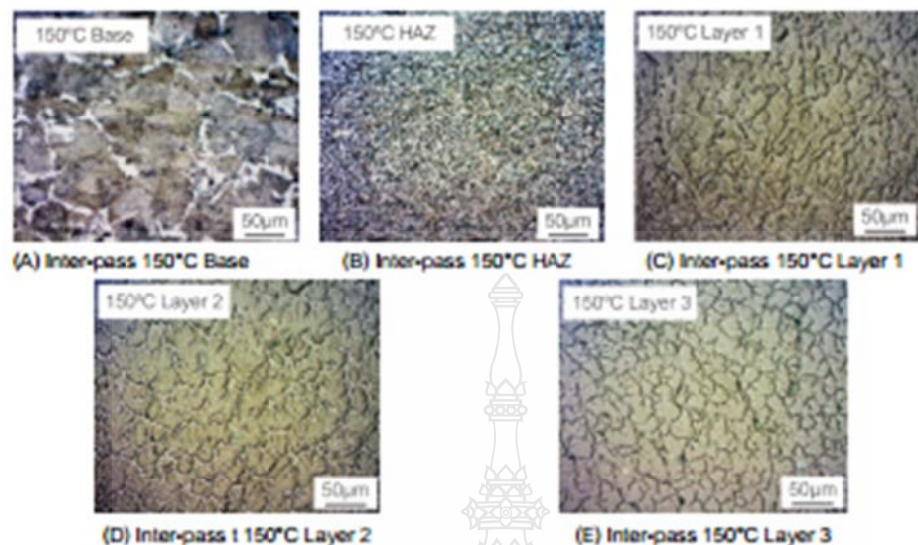


Figure 7 Microstructures 3 hard-faced welded layers with inter-pass temperature 150°C

Figure 8 และการปีกนเป็นตัวตัดตอนให้ส่องไฟวุฒภาพในช่วงที่อยู่ร้อนที่ 3 ดูอยู่มีการหักห้ามเดินเรื่อยๆ ชั้นงาน 150°C - 350°C ซึ่งพบว่าลักษณะของงานไม่แน่นอนและเสื่อมเสียมากขึ้นและแตกหักกัน ชั้นงานที่ทำการอุ่นด้วยอุณหภูมิ 150°C พบลักษณะการชนวนหลักและประกายไฟในเม็ดหินที่บ้ากของชั้นงาน (กรุงเทพฯ ตี, 2555) ก่อจากตัวอย่างเช่นเดียวกับ Figure 8(A) ถือเป็นอุณหภูมิหักห้ามเดินเรื่อยๆ ในพื้นที่การหักห้ามเดินเรื่อยๆ ในชั้นงานที่อยู่ร้อนที่ 3 ที่อยู่ร้อนที่ 350°C ได้ทำการหักห้ามเดินเรื่อยๆ ห้องใบปะกา和平 Image J พบว่าที่อุณหภูมิ 150°C ขนาดของหิน มีค่าเฉลี่ยประมาณ  $22.7 \mu\text{m}$  Figure 9 และเม็ดหินไม่เดินเรื่อยๆ เมื่ออุณหภูมิการอุณหภูมิเดินเรื่อยๆ ซึ่งมีค่าเฉลี่ยประมาณ  $33.58 \mu\text{m}$  และ  $51.66 \mu\text{m}$  ตามลำดับ Figure 9 ความกว้างบริเวณแนวเดินเรื่อยๆ ที่ได้ผ่านการเผาตัวไว้ (Gharibshahian, 2011)



Figure 8 Microstructures hard-faced welded layer 3 with Pre-heat temperature 150°C + 350°C

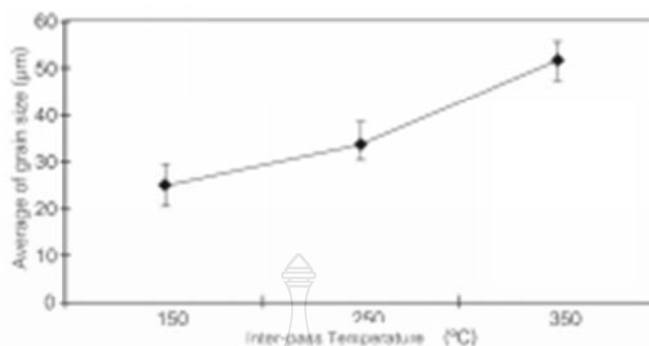


Figure 9 Average grain size of inter-pass temperature of welded layer 3

ชุดปมลักษณะของ

งานวิจัยนี้ท่องานศึกษาเชิงทดลองการให้ความรู้ด้านมนุษย์เรื่องเพื่อความเห็นอกคิดเห็นในชั้นห้องเรียน  
ตระกูลน้ำ ณ SSOC การเพิ่มภาระของให้แก่ผู้เรียนไปตามการสอนให้ดีที่สุด

1. การให้ความร้อนจนกว่าเชื้อมีเม็ดหิมะที่ถูกทำลายเรียบร้อยแล้ว ดูจากอุณหภูมิระหว่างที่เท่านั้นเชื่อมเริ่มงานที่  $150^{\circ}\text{C}$  ให้ก้าวตามเดิมอยู่ต่อไป และเมื่อเท่านั้นอุณหภูมิระหว่างที่เท่านั้นเชื่อมจะกลับให้ก้าวตามเดิมและคงไว้
  2. จักงานเข้มเลือกเชื้อมที่ดีที่สุดที่สุดเพื่อก้าวแม่นยำที่สุดที่สุด เชื่อม ก้าวตามเดิมอยู่ต่อไป เชื่อม ก็ต้องใช้เวลาเชื่อมที่สุดที่สุด ขั้นที่ 3 และใบศูนย์และคงก้าวแม่นยำที่สุด
  3. เมื่อที่มีความแม่นยำของเชื่อมที่ได้รับจากกระบวนการเด็กและมีการกระจาดตัวอย่างดี เชื่อมกันแน่นอน

กิจกรรมประการ

งานวิจัยนี้ขอขอบคุณ วิทยาลัยเทคโนโลยีสารสนเทศ และมหาวิทยาลัยเทคโนโลยีราชมงคลรัตนโกสินทร์ ที่ได้ให้การสนับสนุนในเรื่องของห้องปฏิบัติการและช่างเทคนิคในการดำเนินการทดลอง

190

- ฤทธิ์/กตี, ส. (2554). ทฤตกรรมการลึกซึ้งของผิวเรียบเมっきด้วยฟลักซ์กัมเบลก์ AISI 1020 Abrasive Wear Behavior of Surface Hardfacing on AISI 1020. การประชุมวิชาการชั้นงานวิศวกรรมอุตสาหกรรม ประจำปี 2554 : 2070-2075

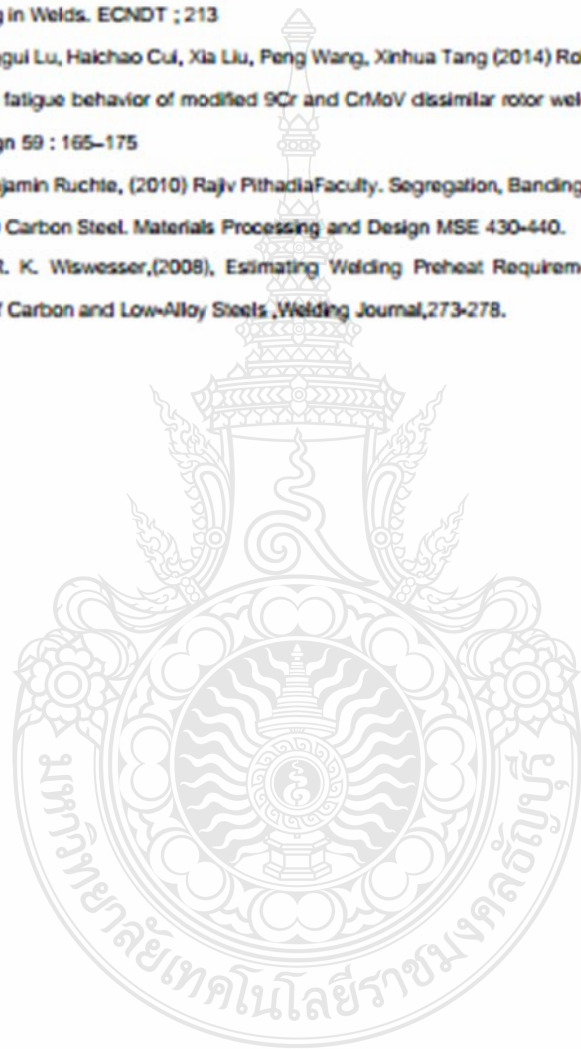
ธุรังคนา ต. ไชย นิษายะวนะใจพี. (2555) การเมล็ดสีดินหวานและข้อเสนอแนะสำหรับการเพิ่มประสิทธิภาพของอุตสาหกรรมปูเปรี้ยว วิทยานิพนธ์ปริญญาตรี มหาวิทยาลัยราชภัฏเชียงใหม่

วิจารณ์ ภูมิเดชกุล, อุมาเรือง พงษ์ไกรกาญจน์ และวนานากรณ์ ไกรกาญจน์ (2548). การศึกษาและวิเคราะห์ใบอนุญาตประกอบธุรกิจในประเทศไทย บริษัทใหญ่ที่ 1 บริษัทใหญ่ที่เกิดใหม่.

Buchely, M.F., Gutierrez, J.C., Leon, L.M., Toro, A. (2008 ). The Effect of Microstructure on Abrasive Wear of Hardfacing Alloy. *Wear* 259 : 52-61.

စာတမ်းပါတီအကြောင်းပါတီ များအကြောင်းပါတီ အနေဖြင့် လုပ် ၁၂

- Buchanan, V. E., P. H. Shipway, et al (2007). Microstructure and abrasive wear behavior of shielded metal arc welding hardfacings used in the sugarcane industry. Wear 263(1–6): 99–110.
- Chatterjee, S. and T. K. Pal (2006). Weld procedural effect on the performance of iron based hardfacing deposits on cast iron substrate. Journal of Materials Processing Technology 173(1): 61–69.
- Milos JOVANOVIC, Gabriel RIHAR.(2006) Analysis of Ultrasonic Indications in Lack of Fusion Occurring in Welds. ECNDT ; 213
- Qingjun Wu, Fenggui Lu, Haichao Cui, Xia Liu, Peng Wang, Xinhua Tang (2014) Role of butter layer in low-cycle fatigue behavior of modified 9Cr and CrMoV dissimilar rotor welded joint Materials and Design 59 : 165–175
- Kyle Schafer, Benjamin Ruchle, (2010) Rajiv PithadiaFaculty. Segregation, Banding, and Inclusions in AISI 1050 Carbon Steel. Materials Processing and Design MSE 430-440.
- R. W. Hinton , R. K. Wiswesser,(2008), Estimating Welding Preheat Requirements for Unknown Grades of Carbon and Low-Alloy Steels ,Welding Journal,273-278.



## ประวัติผู้เขียน

ชื่อ-สกุล

. พรหมา โชค แก้วสี

วัน เดือน ปีเกิด

21 มกราคม 2524

ที่อยู่

49/1 หมู่ 6 ตำบลบางหลวง อำเภอเมืองปทุมธานี  
จังหวัดปทุมธานี 1200

การศึกษา

ปริญญาตรี คณะวิศวกรรมศาสตร์ สาขาวิศวกรรมอุตสาหการ  
มหาวิทยาลัยปทุมธานี

ประสบการณ์การทำงาน

วิศวกรทดสอบ บริษัท เอ เอ อีเลคทริไอล ตั้งแต่ พ.ศ.2559  
ถึงปัจจุบัน

เบอร์โทรศัพท์

0914359133

อีเมล์

p-kaewsee@hotmail.co.th

